

Apéndice D

Ensayo de transmisibilidad experimental

Estructura circular

Figura 1

Aceleración de entrada vs salida a 10Hz

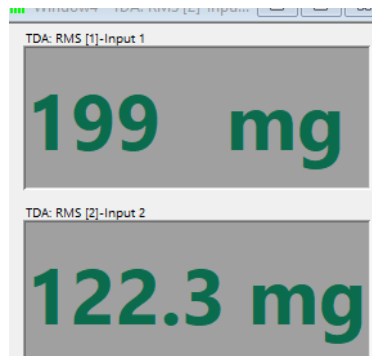


Figura 2

Análisis armónico a 10Hz

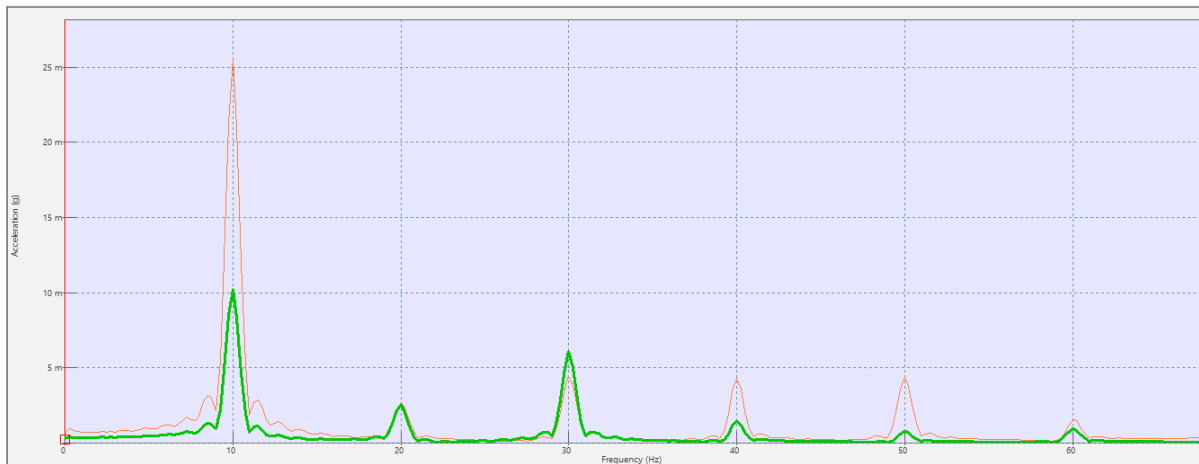


Figura 3

Coherencia del ensayo de transmisibilidad a 10Hz

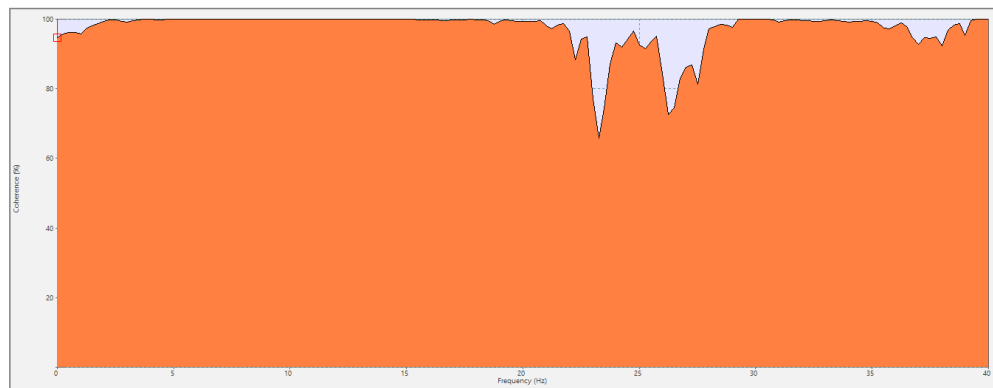


Figura 4

Aceleración de entrada vs salida a 12Hz

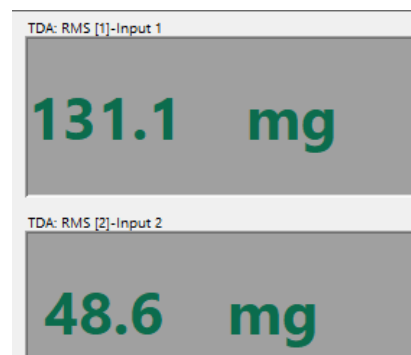


Figura 5

Análisis armónico a 12Hz

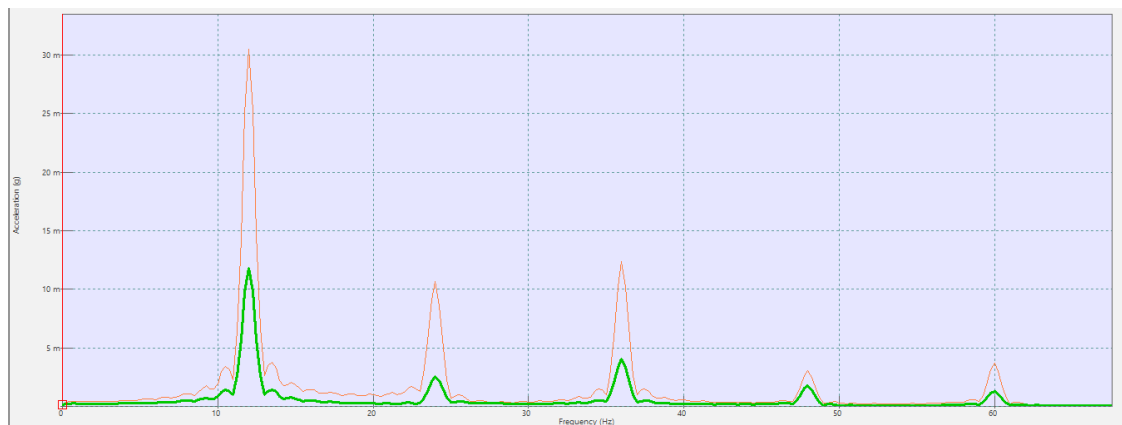


Figura 6

Coherencia del ensayo de transmisibilidad a 12Hz

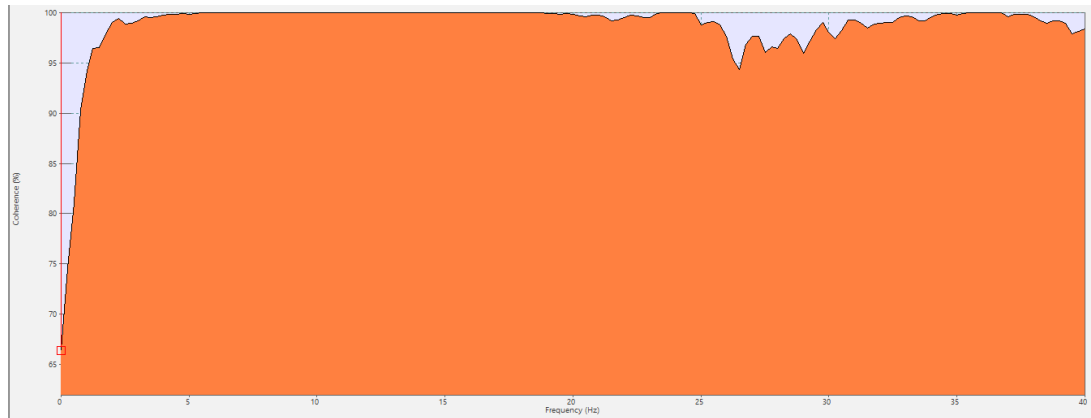


Figura 7

Aceleración de entrada vs salida a 14Hz

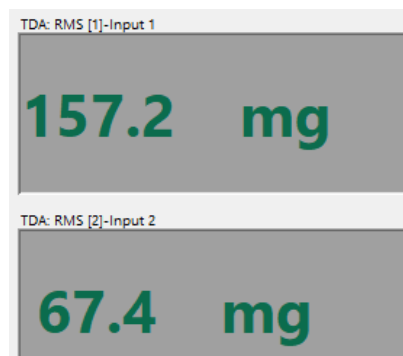


Figura 8

Análisis armónico a 14Hz

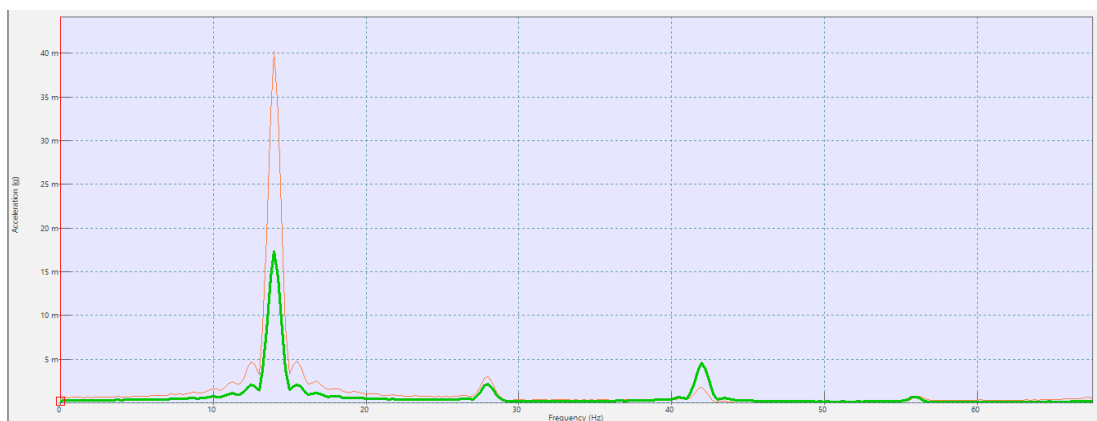


Figura 9

Coherencia del ensayo de transmisibilidad a 14Hz

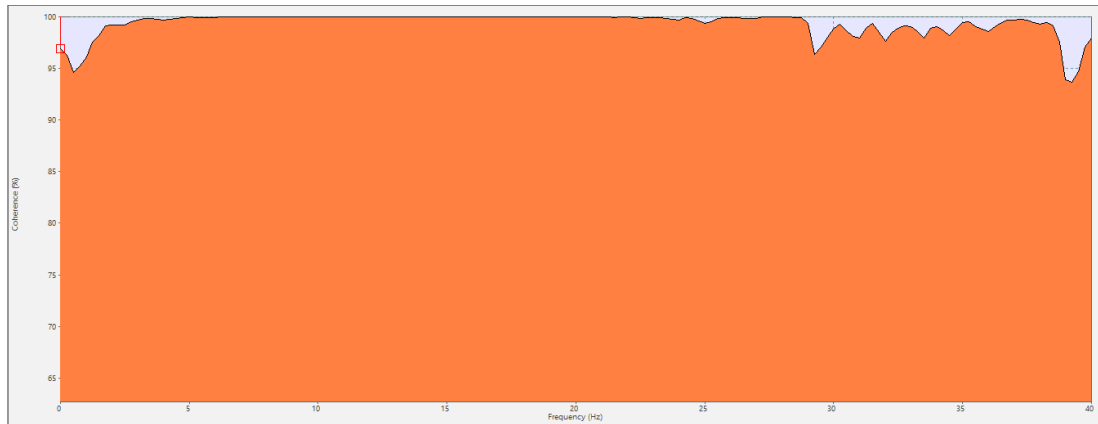


Figura 10

Aceleración de entrada vs salida a 16Hz

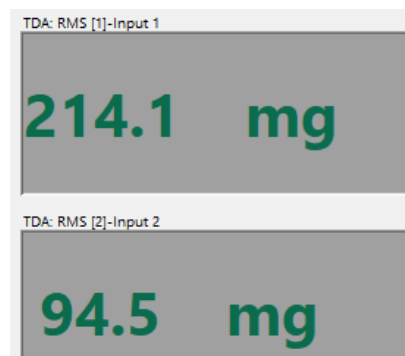


Figura 11

Análisis armónico a 16Hz

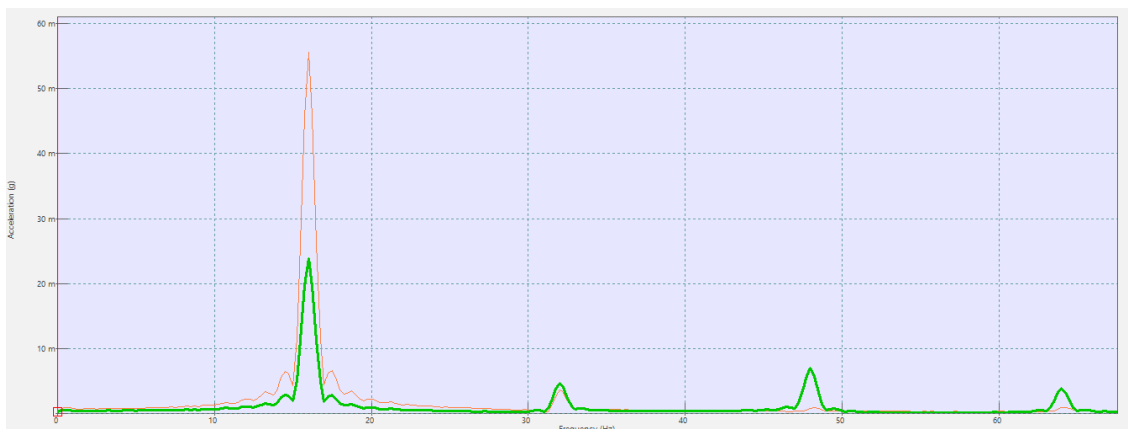


Figura 12

Coherencia del ensayo de transmisibilidad a 16Hz

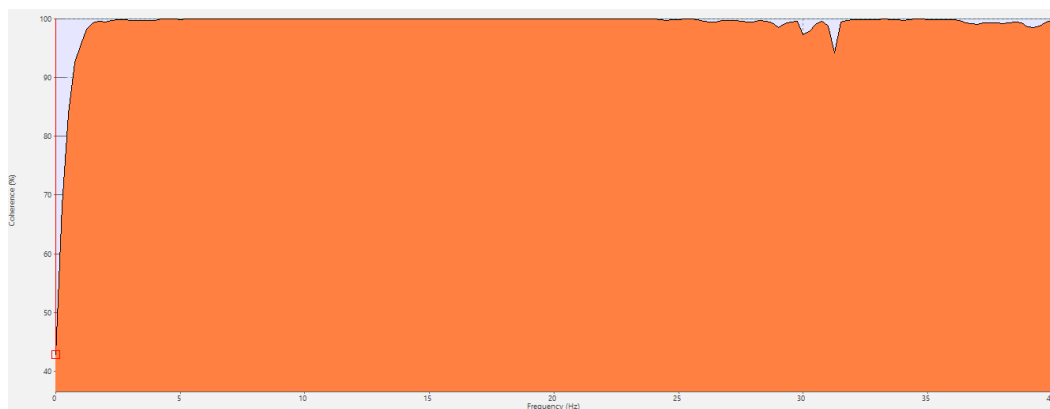


Figura 13

Aceleración de entrada vs salida a 18Hz

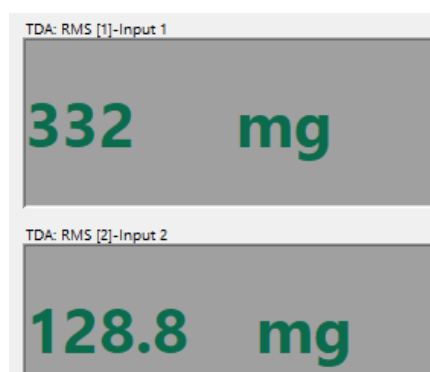


Figura 14

Análisis armónico a 18Hz

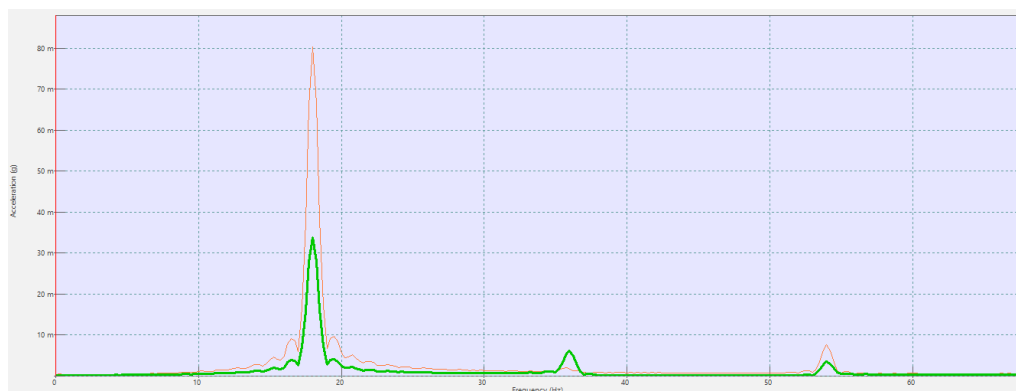


Figura 15

Coherencia del ensayo de transmisibilidad a 18Hz

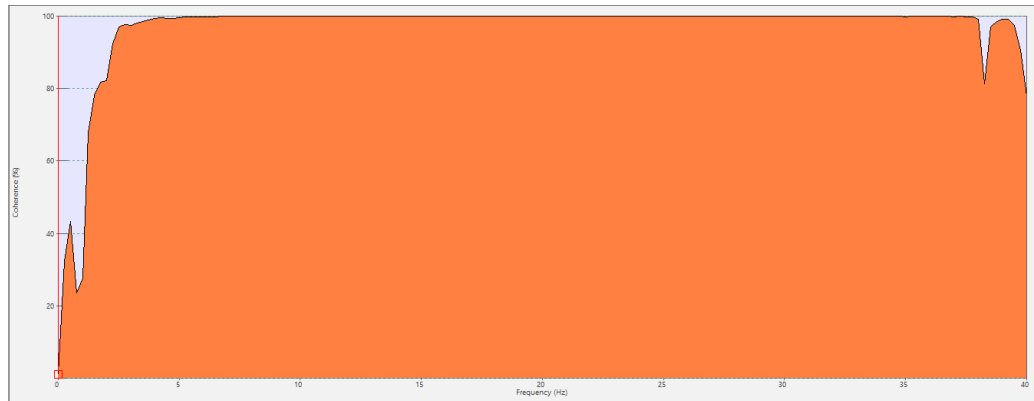


Figura 16

Aceleración de entrada vs salida a 20Hz

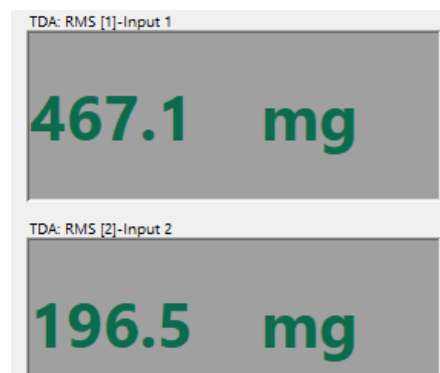


Figura 17

Análisis armónico a 20Hz

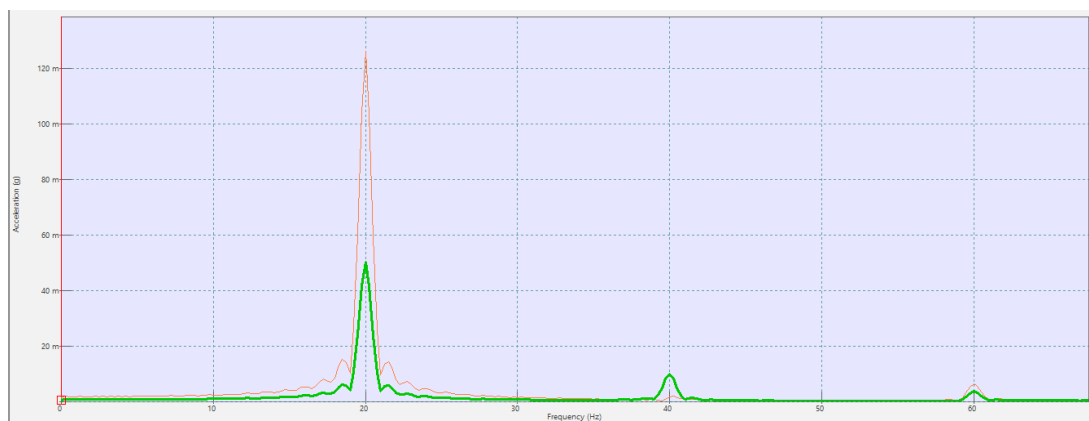


Figura 18

Coherencia del ensayo de transmisibilidad a 20Hz

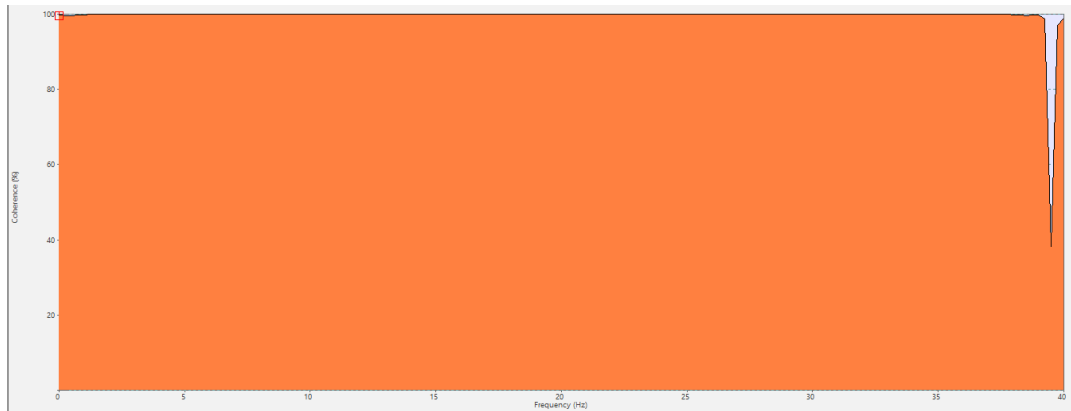


Figura 19

Aceleración de entrada vs salida a 22Hz

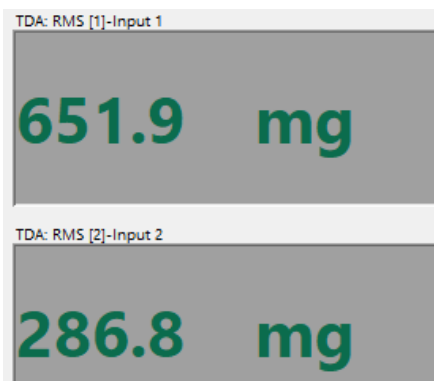


Figura 20

Análisis armónico a 22Hz

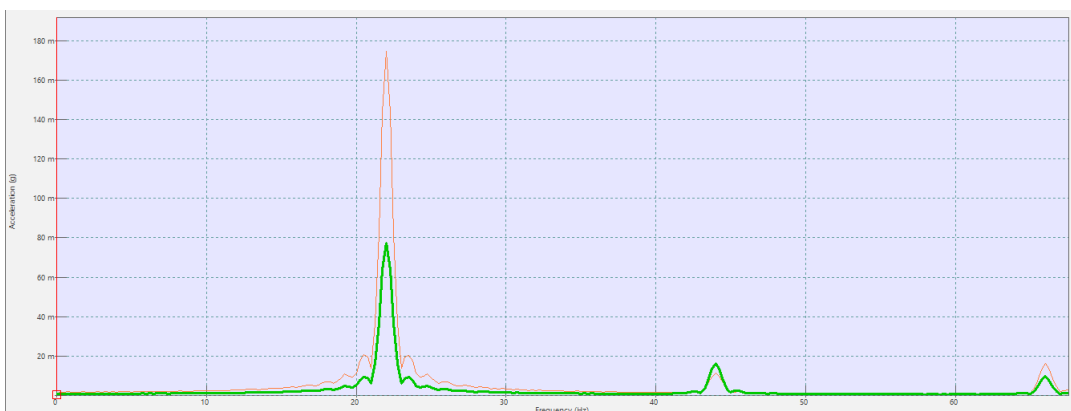


Figura 21

Coherencia del ensayo de transmisibilidad a 22Hz

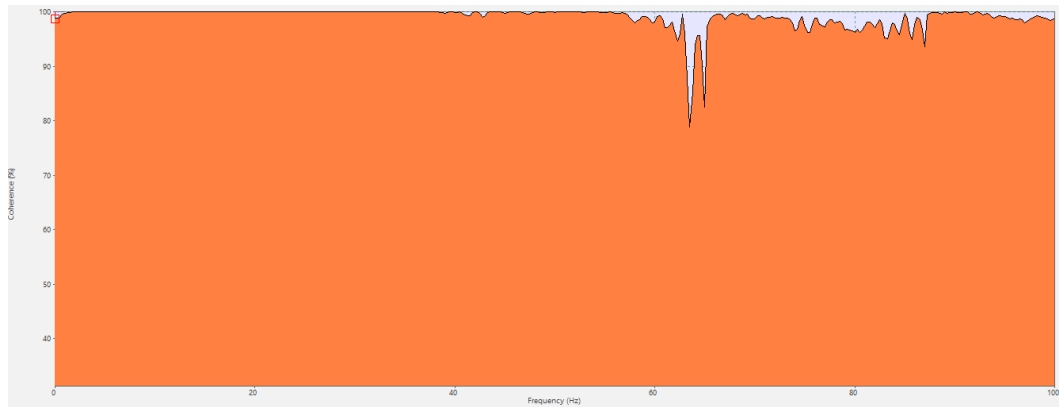


Figura 22

Aceleración de entrada vs salida a 24Hz

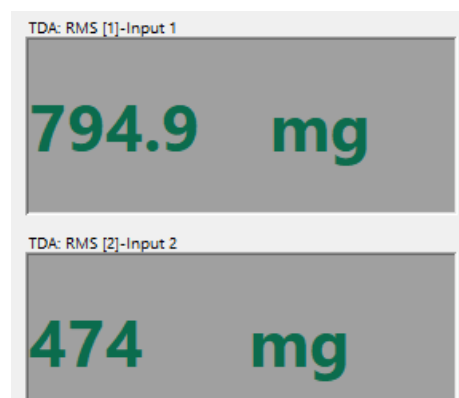


Figura 23

Análisis armónico a 24Hz

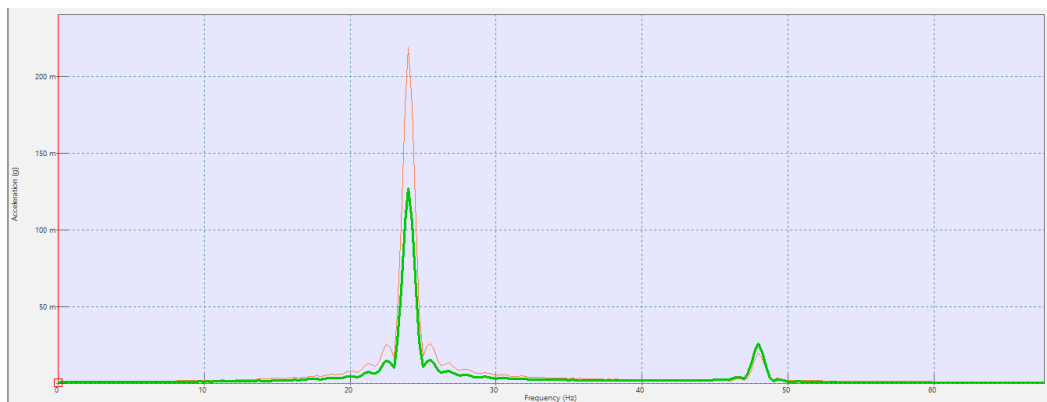


Figura 24

Coherencia del ensayo de transmisibilidad a 24Hz

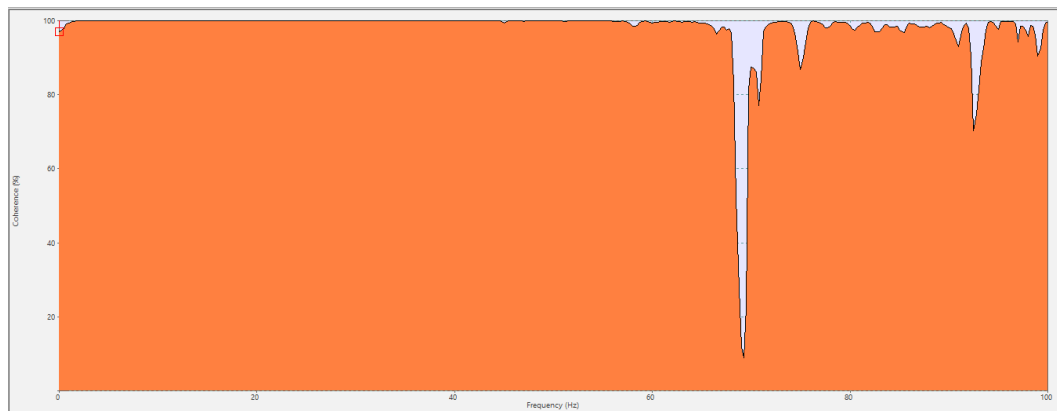


Figura 25

Aceleración de entrada vs salida a 25Hz

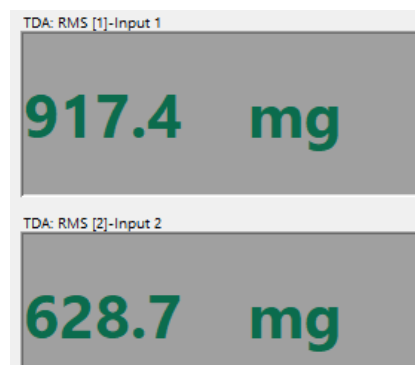


Figura 26

Análisis armónico a 25Hz

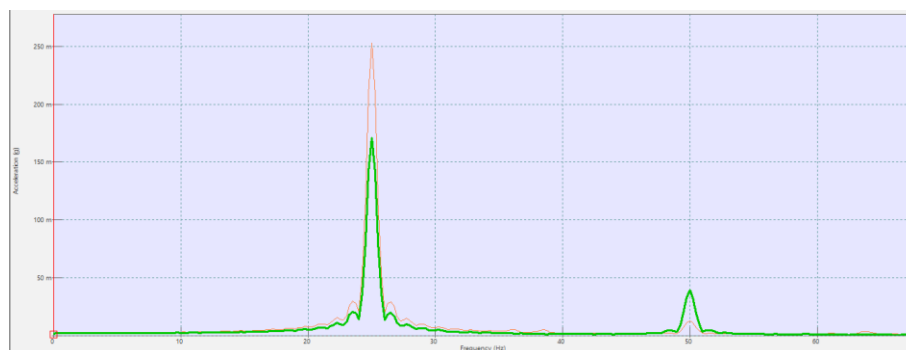


Figura 27

Coherencia del ensayo de transmisibilidad a 25Hz

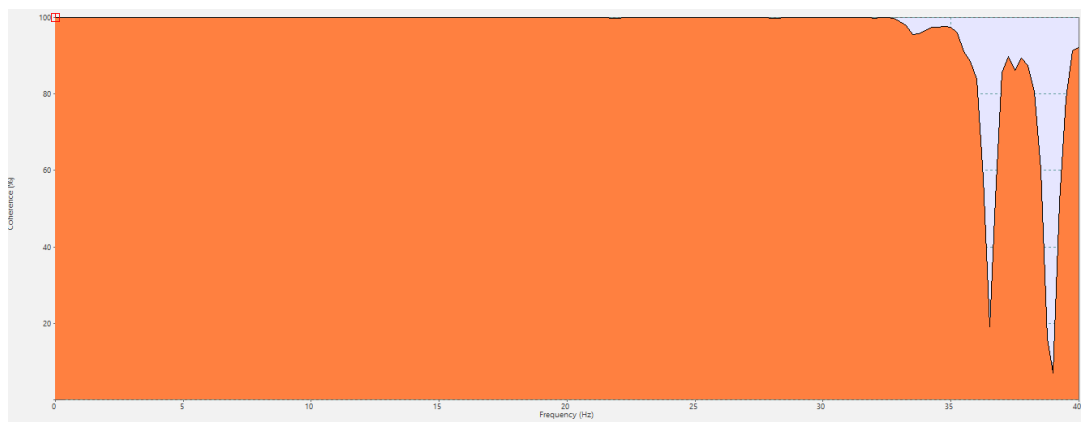


Figura 28

Aceleración de entrada vs salida a 26Hz

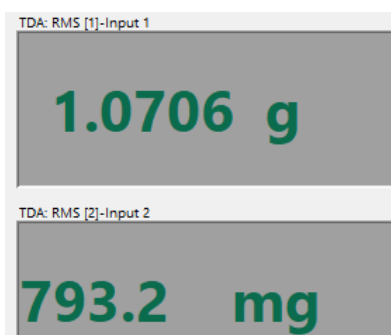


Figura 29

Análisis armónico a 26Hz

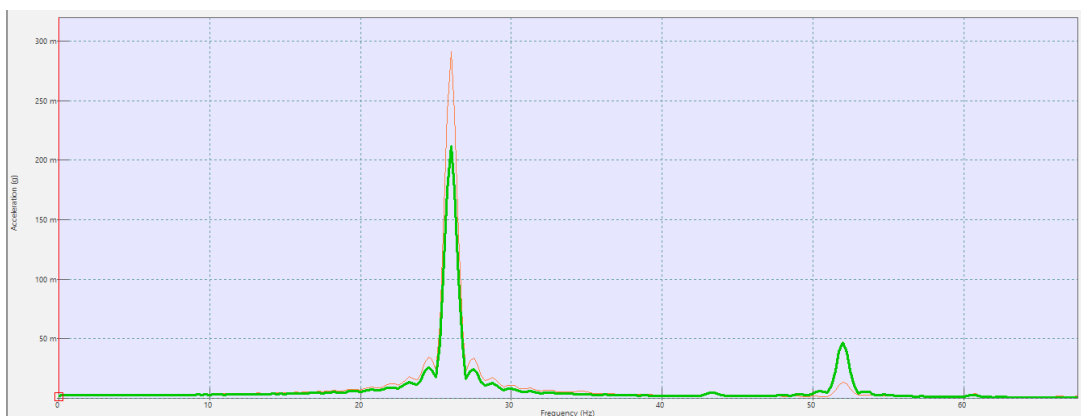


Figura 30

Coherencia del ensayo de transmisibilidad a 26Hz

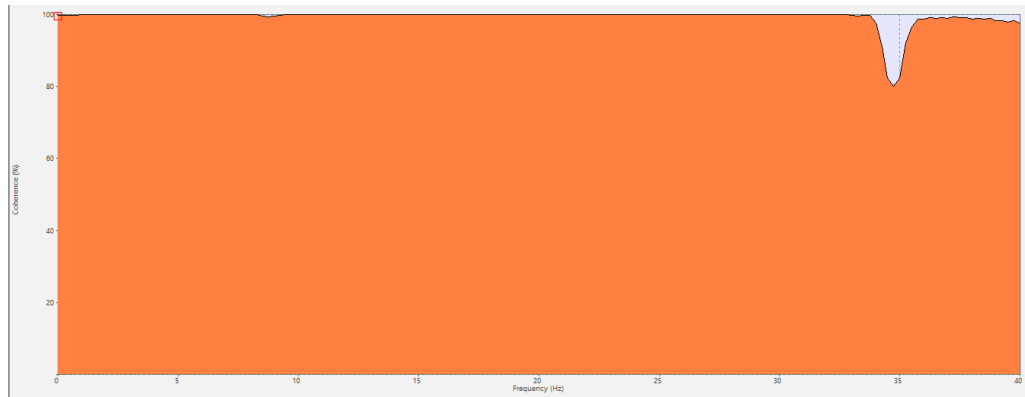


Figura 31

Aceleración de entrada vs salida a 27Hz

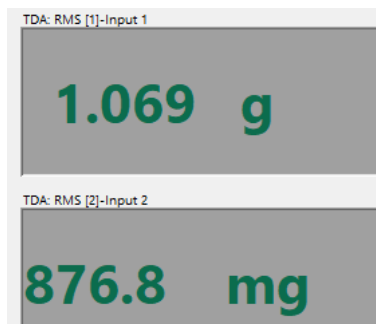


Figura 32

Análisis armónico a 27Hz

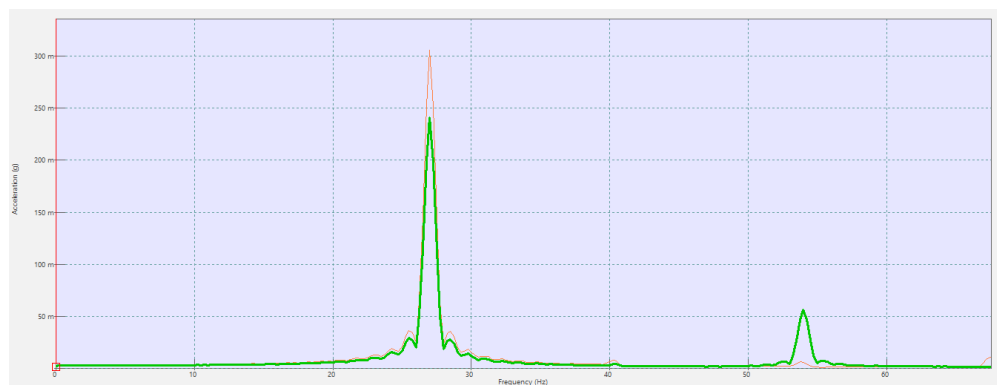


Figura 33

Coherencia del ensayo de transmisibilidad a 27Hz

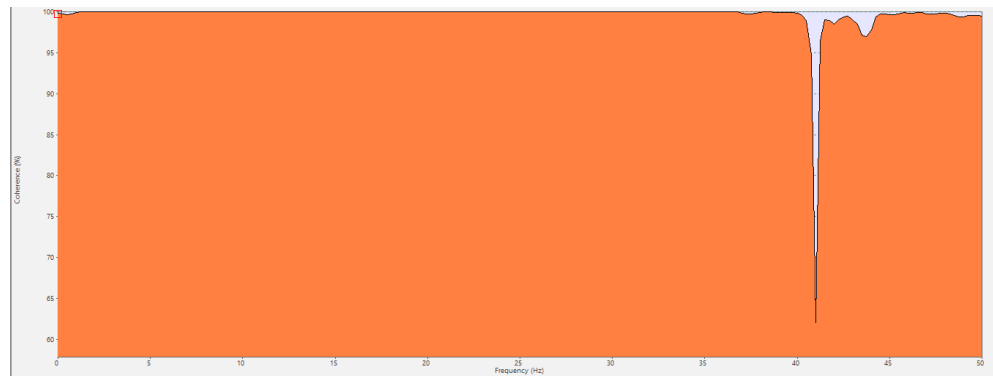


Figura 34

Aceleración de entrada vs salida a 28Hz

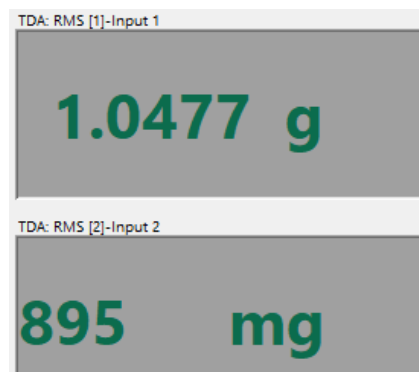


Figura 35

Análisis armónico a 28Hz

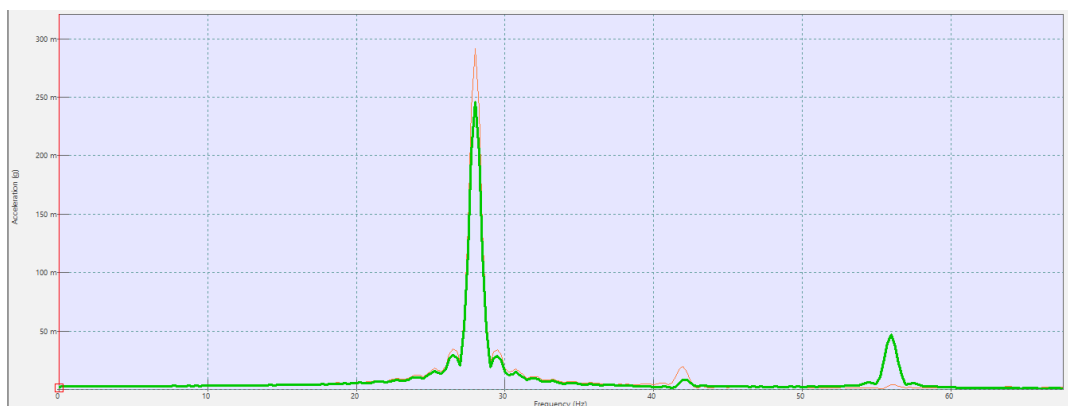


Figura 36

Coherencia del ensayo de transmisibilidad a 28Hz

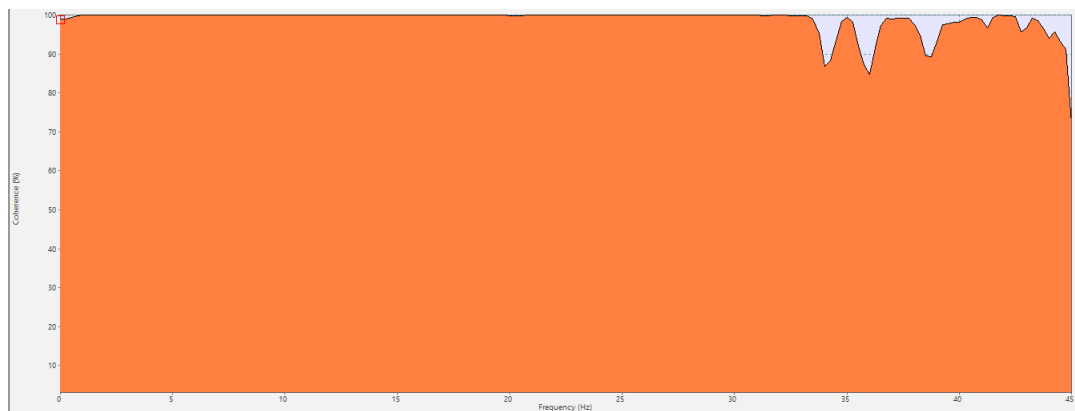


Figura 37

Aceleración de entrada vs salida a 29Hz

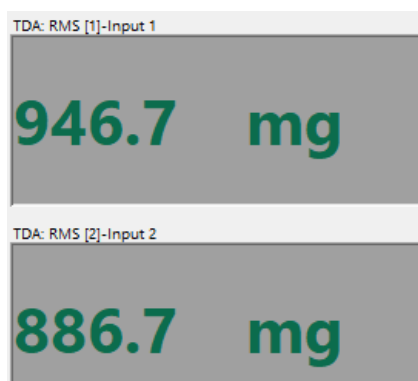


Figura 38

Análisis armónico a 29Hz

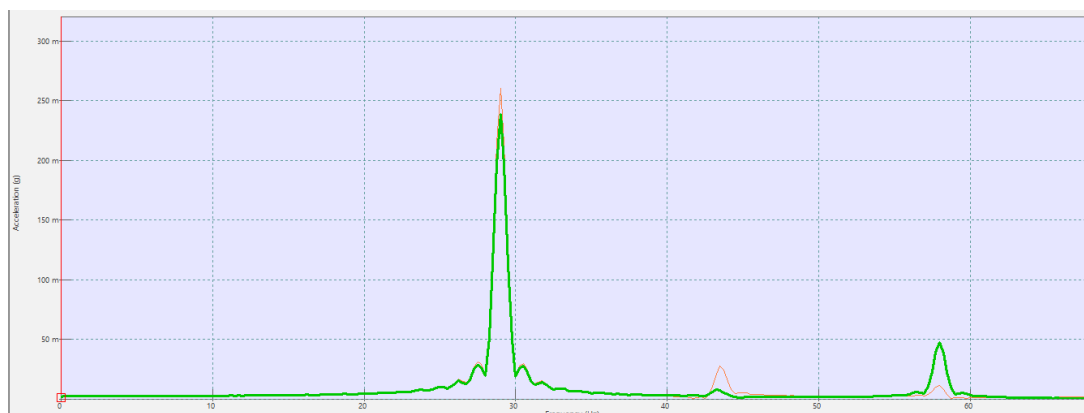


Figura 39

Coherencia del ensayo de transmisibilidad a 29Hz

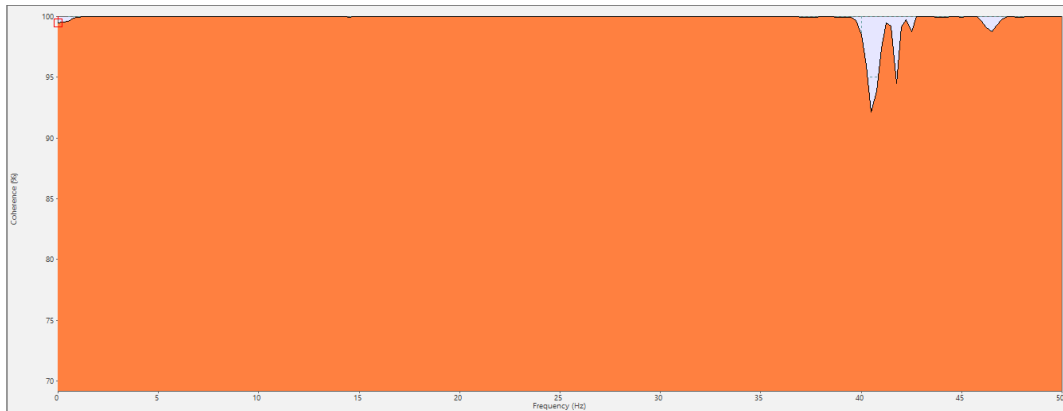


Figura 40

Aceleración de entrada vs salida a 30Hz

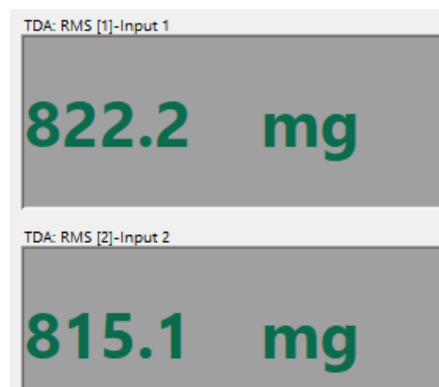


Figura 41

Análisis armónico a 30Hz

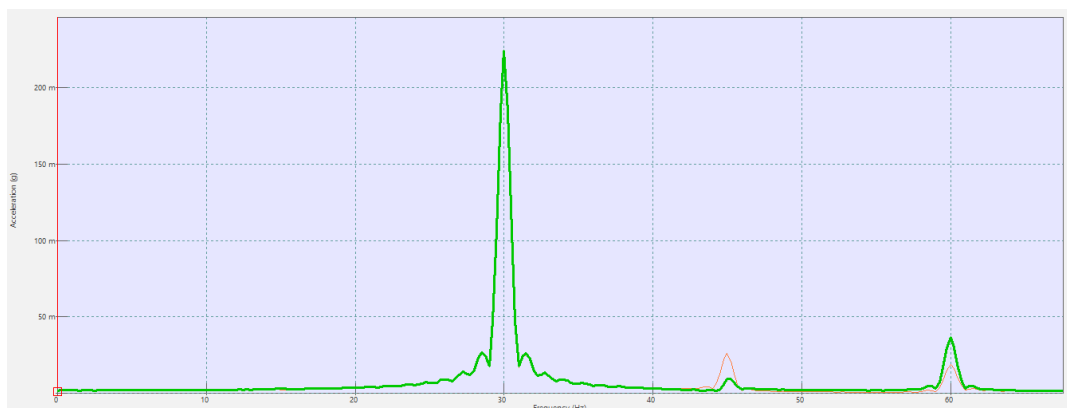


Figura 42

Coherencia del ensayo de transmisibilidad a 30Hz

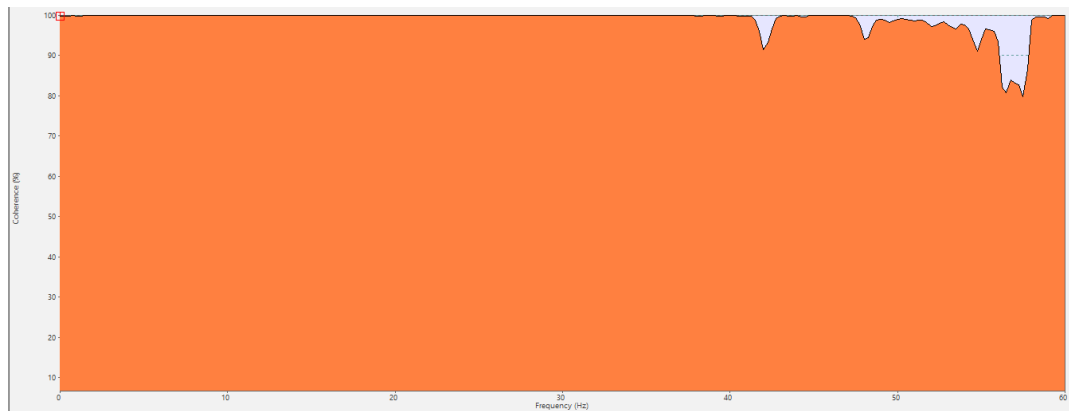


Figura 43

Aceleración de entrada vs salida a 31Hz

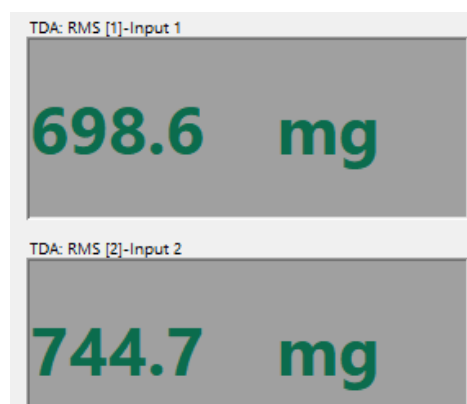


Figura 44

Análisis armónico a 31Hz

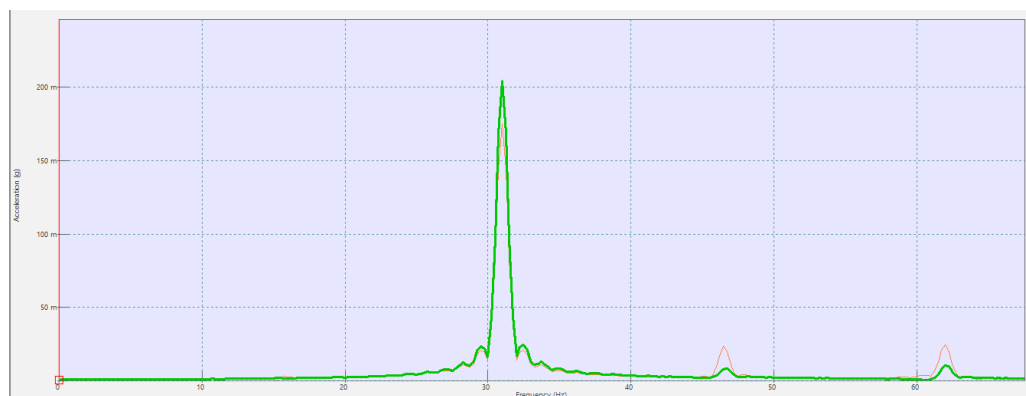


Figura 45

Coherencia del ensayo de transmisibilidad a 31Hz

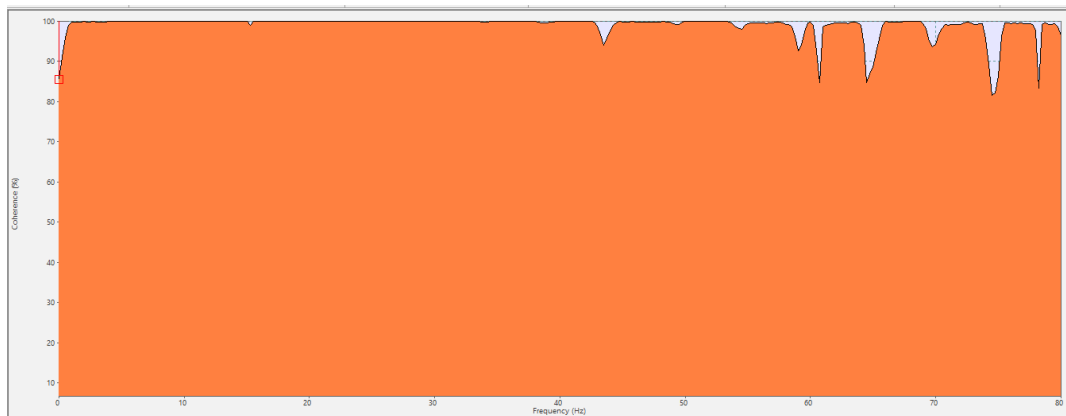


Figura 46

Aceleración de entrada vs salida a 32Hz

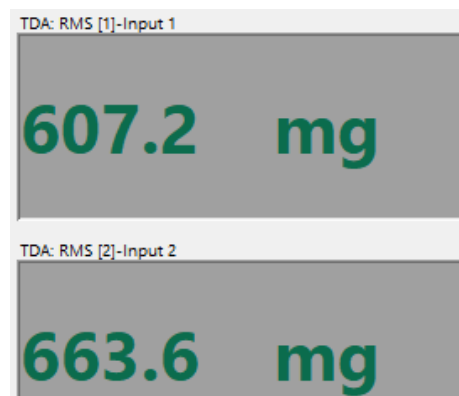


Figura 47

Análisis armónico a 32Hz

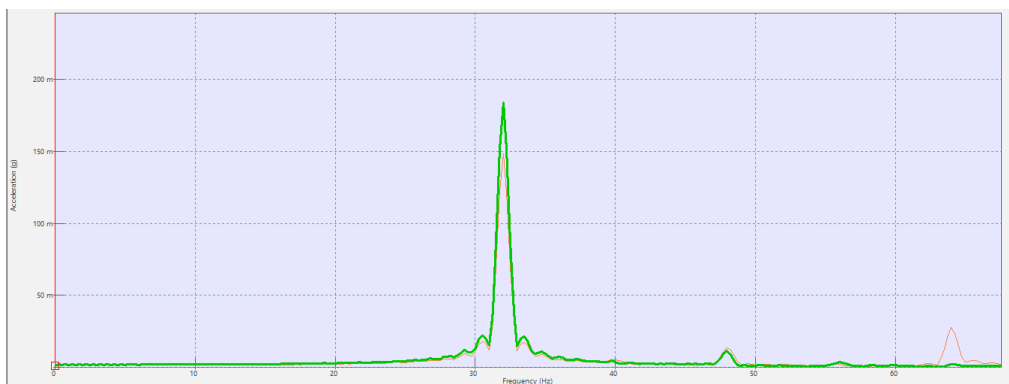


Figura 48

Coherencia del ensayo de transmisibilidad a 32Hz

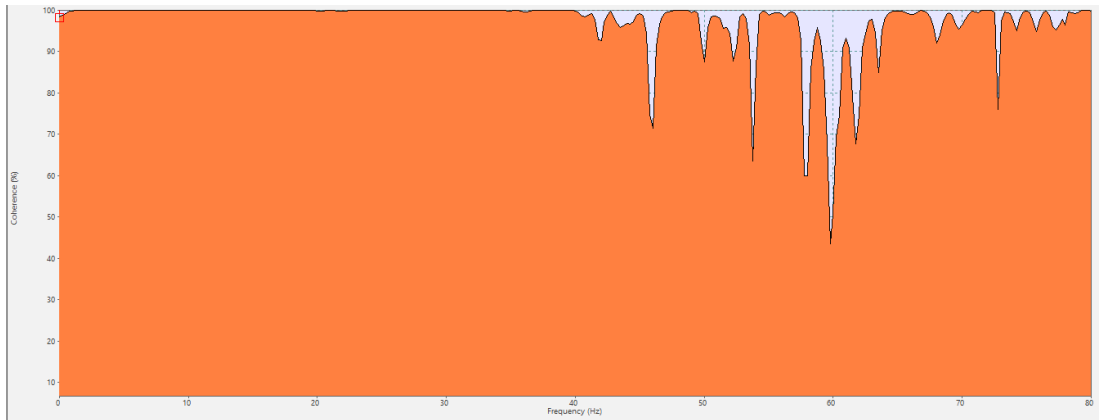


Figura 49

Aceleración de entrada vs salida a 33Hz

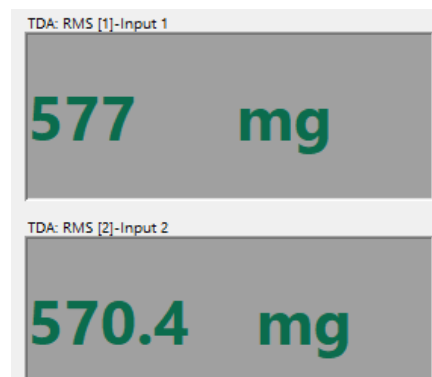


Figura 50

Análisis armónico a 33Hz

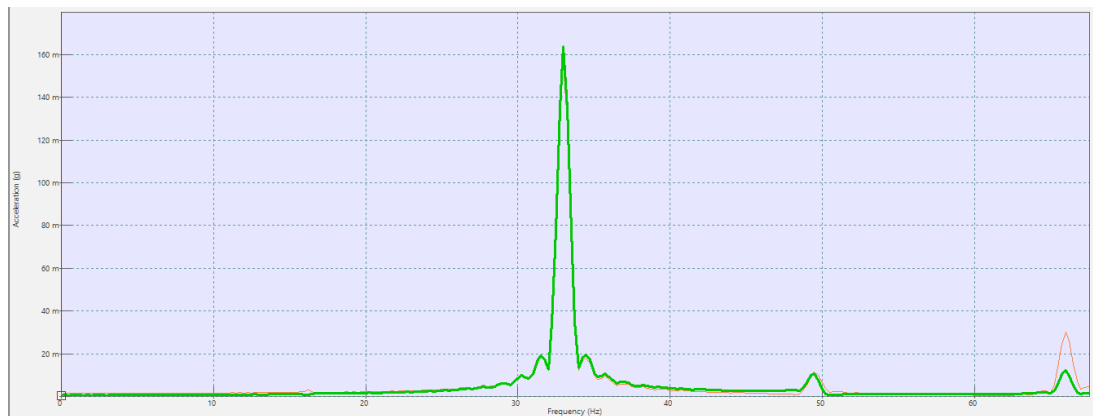


Figura 51

Coherencia del ensayo de transmisibilidad a 33Hz

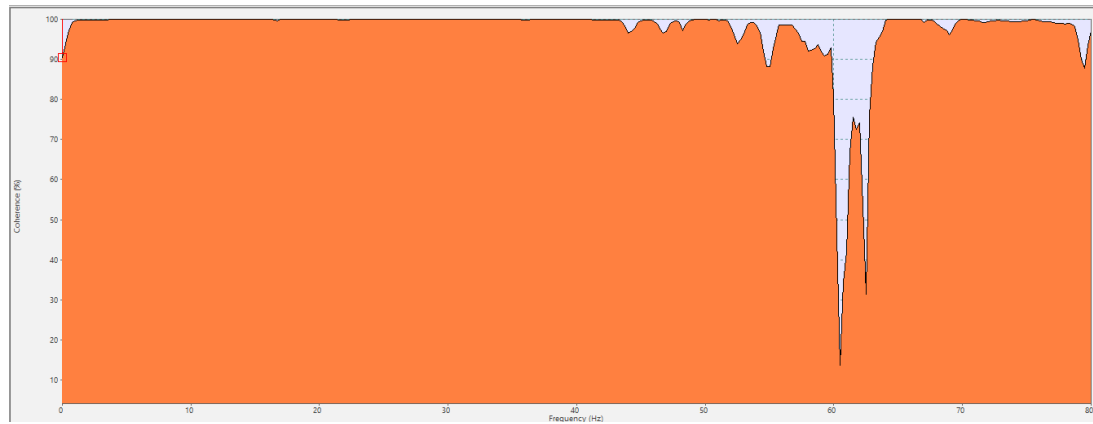


Figura 52

Aceleración de entrada vs salida a 34Hz

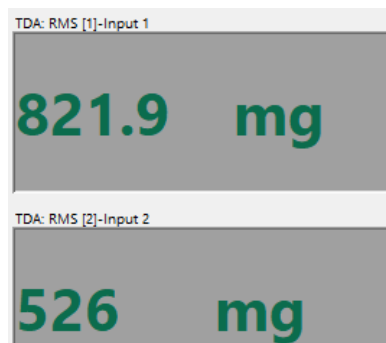


Figura 53

Análisis armónico a 34Hz

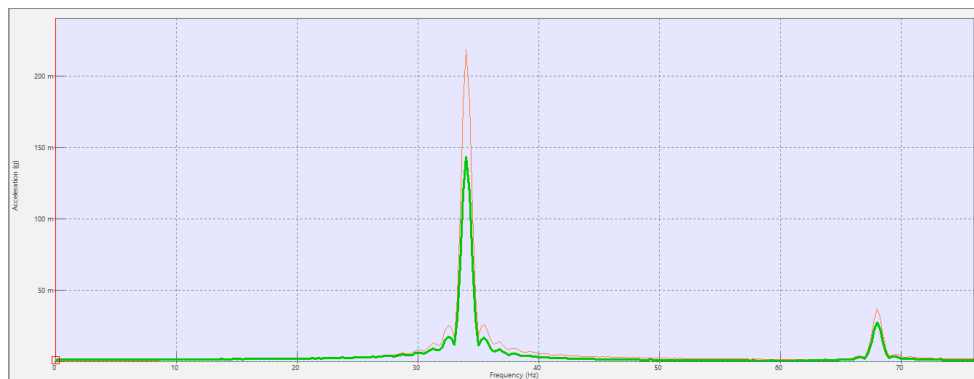


Figura 54

Coherencia del ensayo de transmisibilidad a 34Hz

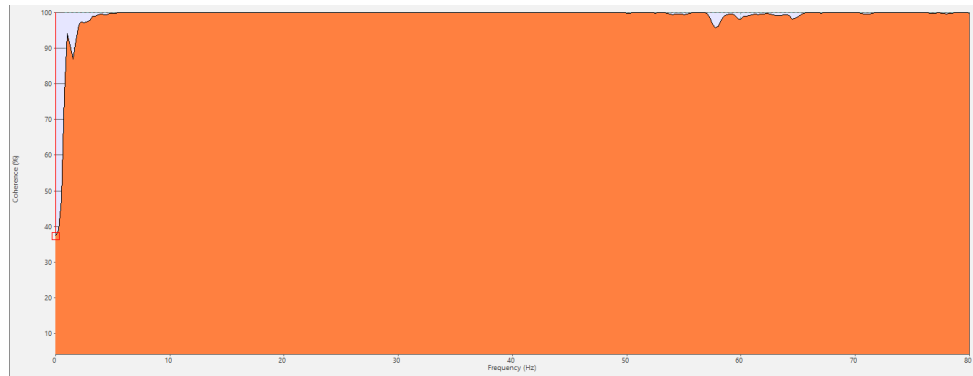


Figura 55

Aceleración de entrada vs salida a 35Hz

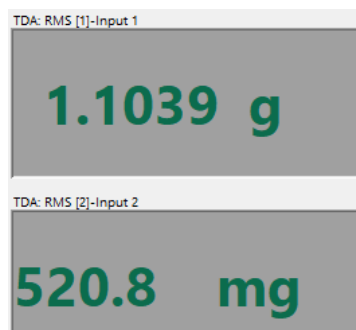


Figura 56

Análisis armónico a 35Hz

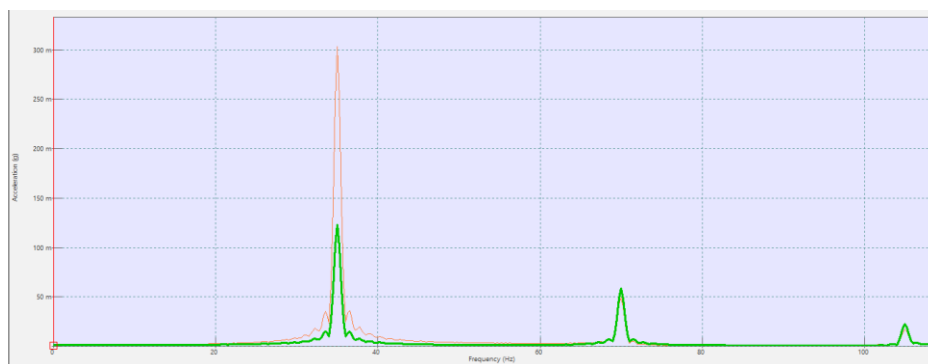


Figura 57

Coherencia del ensayo de transmisibilidad a 35Hz

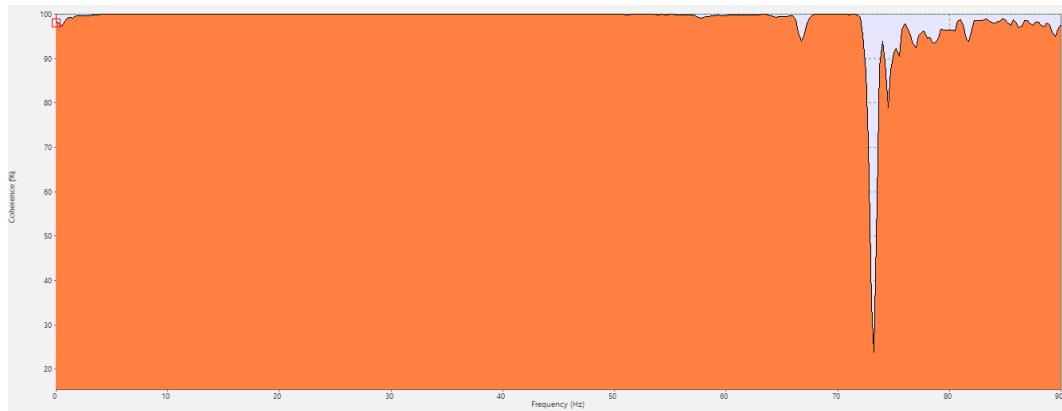


Figura 58

Aceleración de entrada vs salida a 36Hz

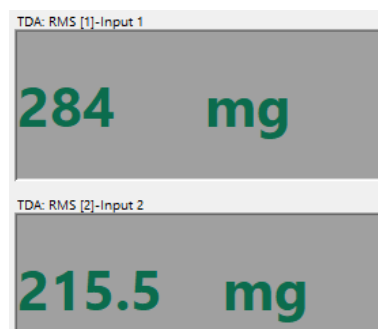


Figura 59

Análisis armónico a 36Hz

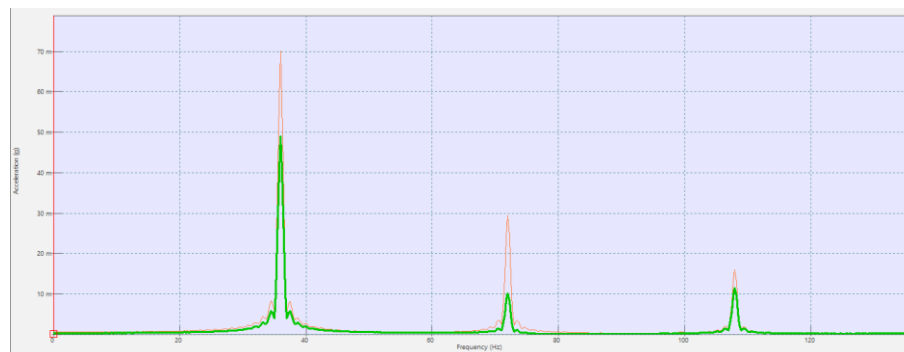


Figura 60

Coherencia del ensayo de transmisibilidad a 36Hz

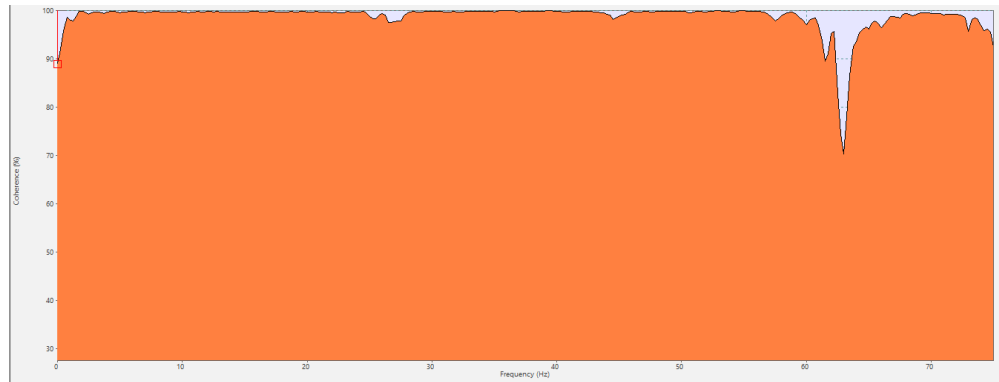


Figura 61

Aceleración de entrada vs salida a 38Hz

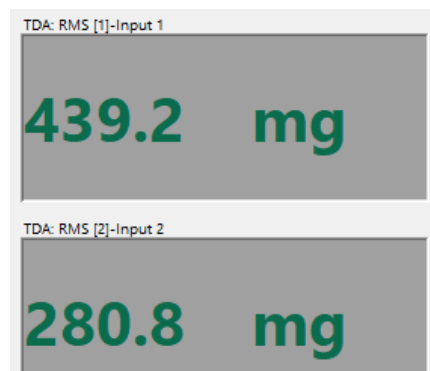


Figura 62

Análisis armónico a 38Hz

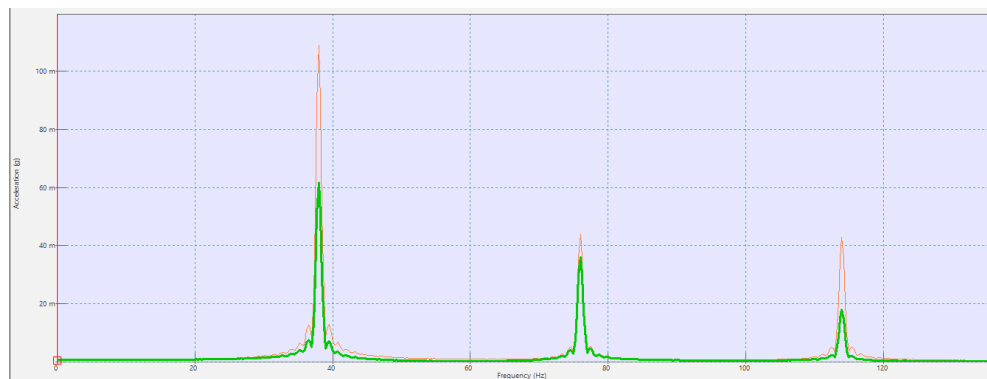


Figura 63

Coherencia del ensayo de transmisibilidad a 38Hz

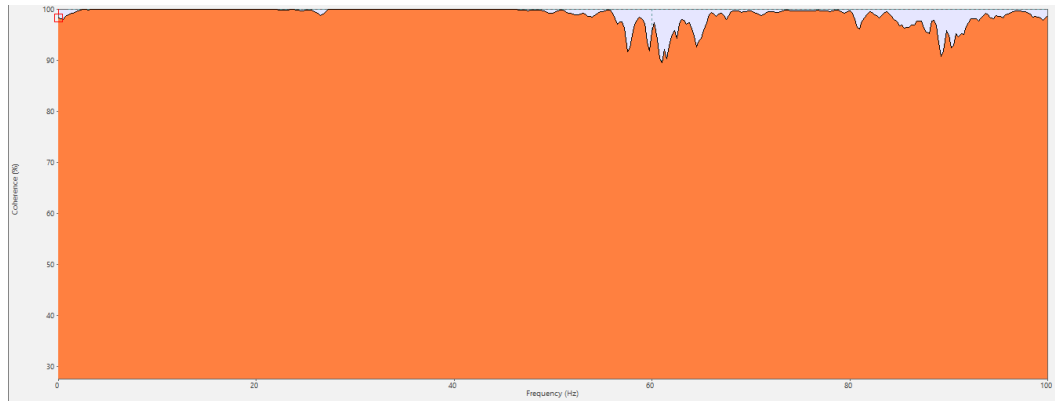


Figura 64

Aceleración de entrada vs salida a 40Hz

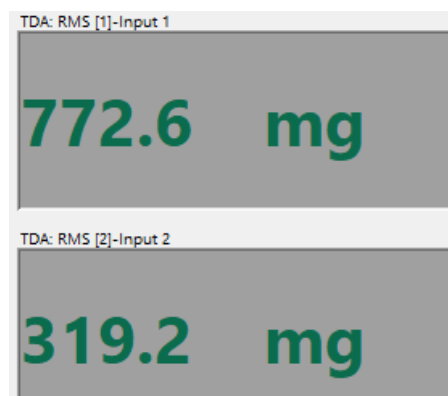


Figura 65

Análisis armónico a 40Hz

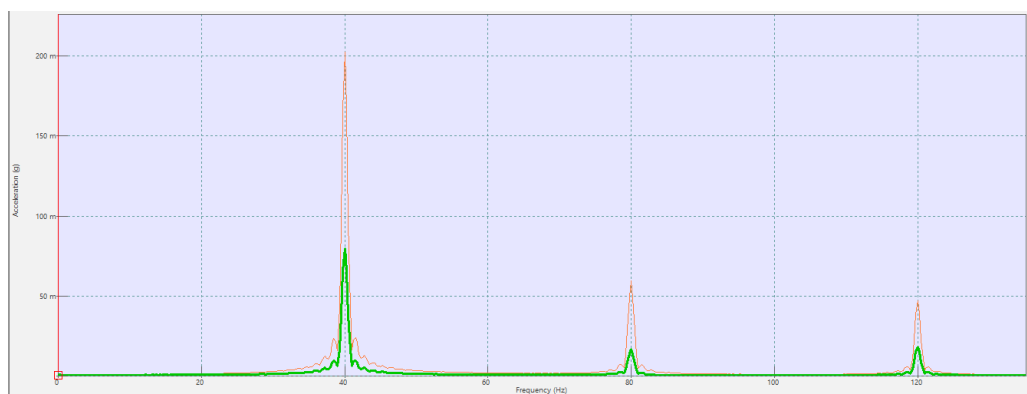
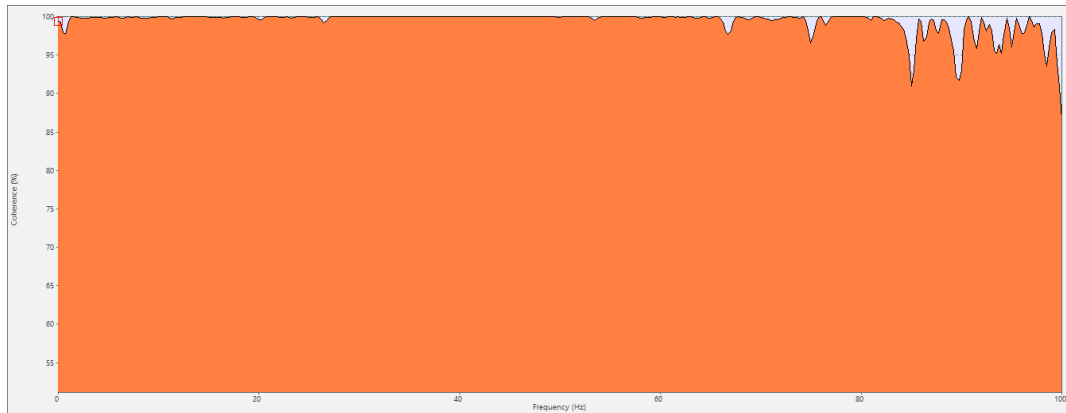


Figura 66

Coherencia del ensayo de transmisibilidad a 40Hz



Estructura octagonal

Figura 67

Aceleración de entrada vs salida a 10Hz

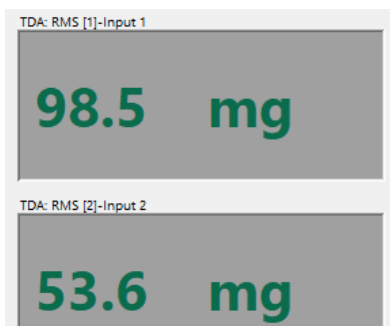


Figura 68

Análisis armónico a 10Hz

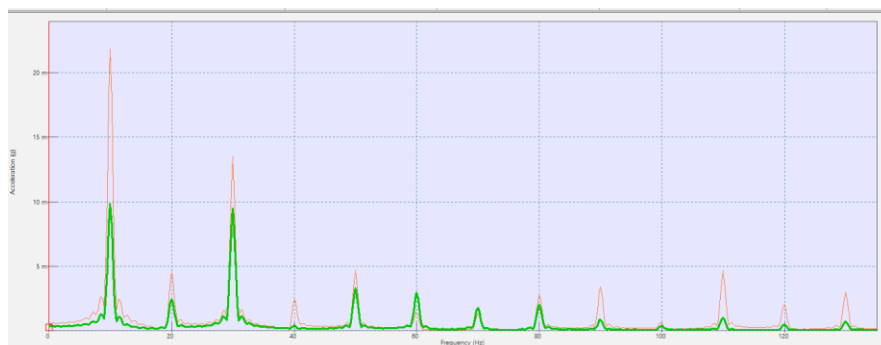


Figura 69

Coherencia del ensayo de transmisibilidad a 10Hz

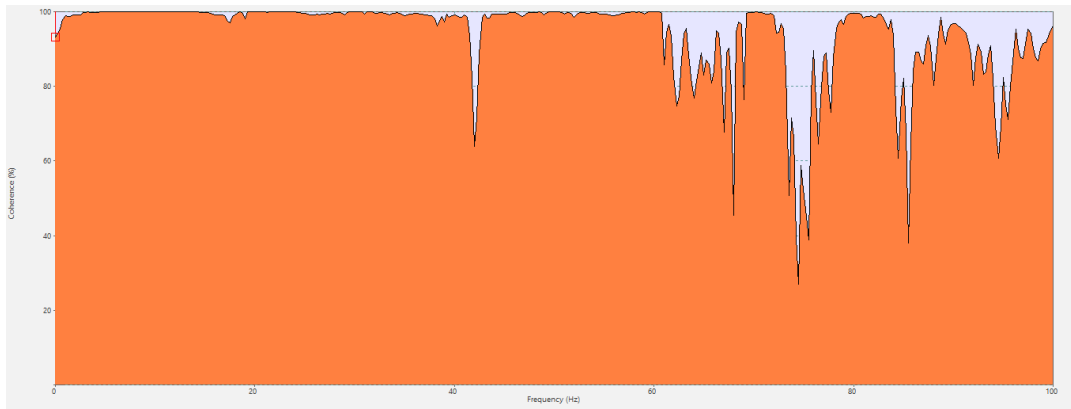


Figura 70

Aceleración de entrada vs salida a 12Hz

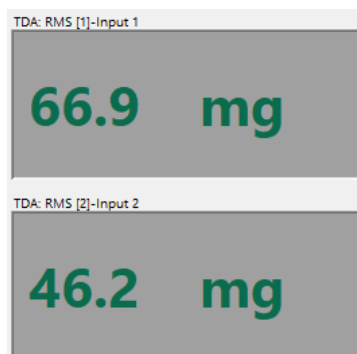


Figura 71

Análisis armónico a 12Hz

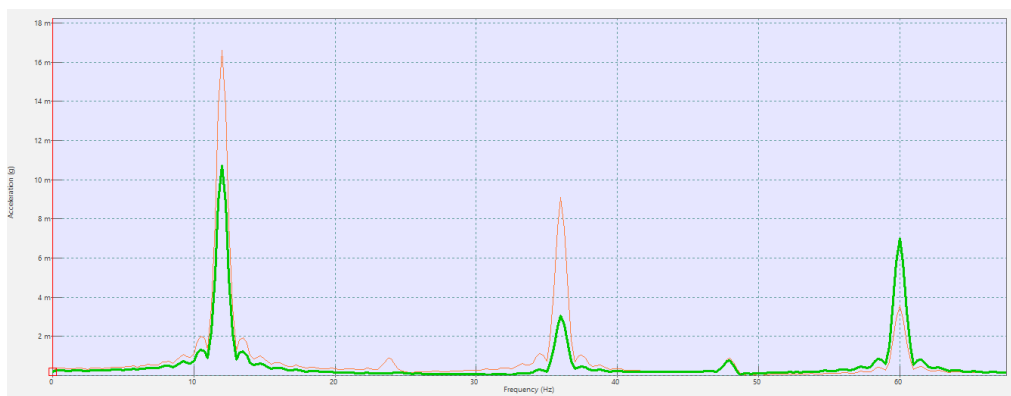


Figura 72

Coherencia del ensayo de transmisibilidad a 12Hz

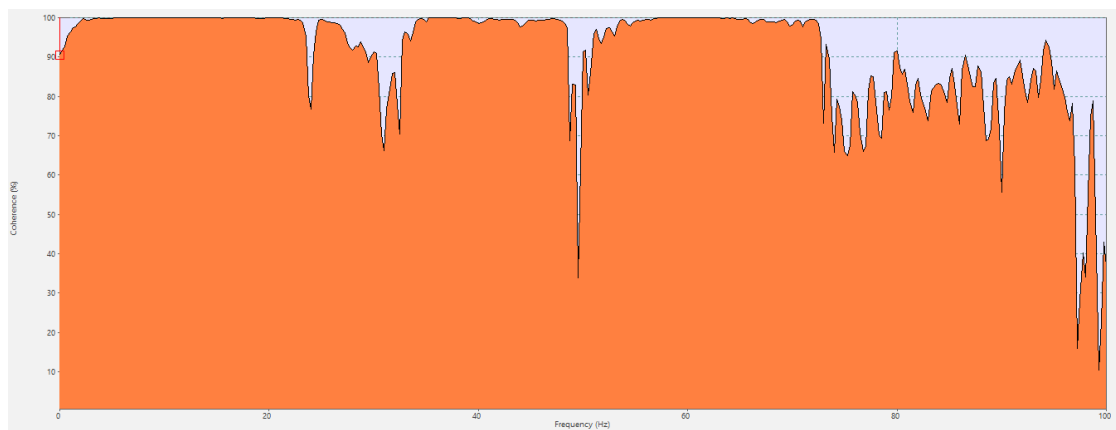


Figura 73

Aceleración de entrada vs salida a 14Hz

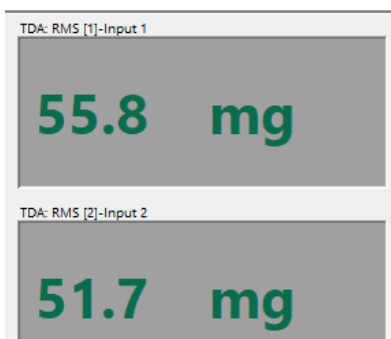


Figura 74

Análisis armónico a 14Hz

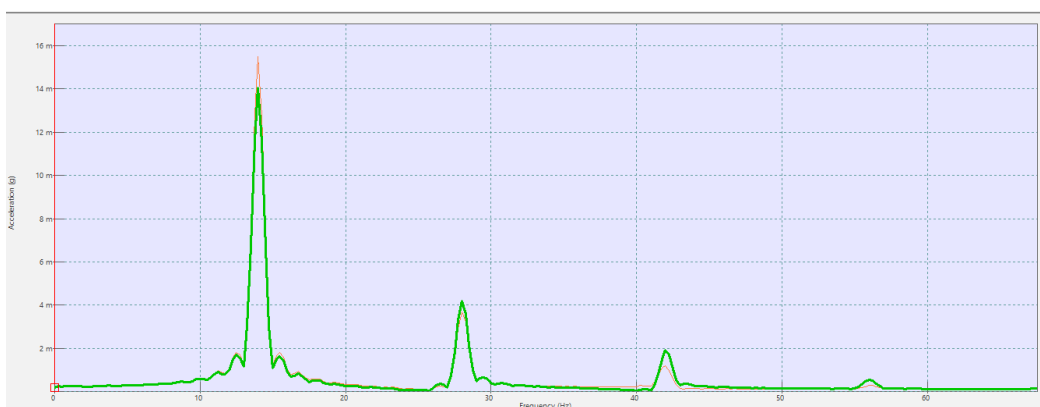


Figura 75

Coherencia del ensayo de transmisibilidad a 14Hz

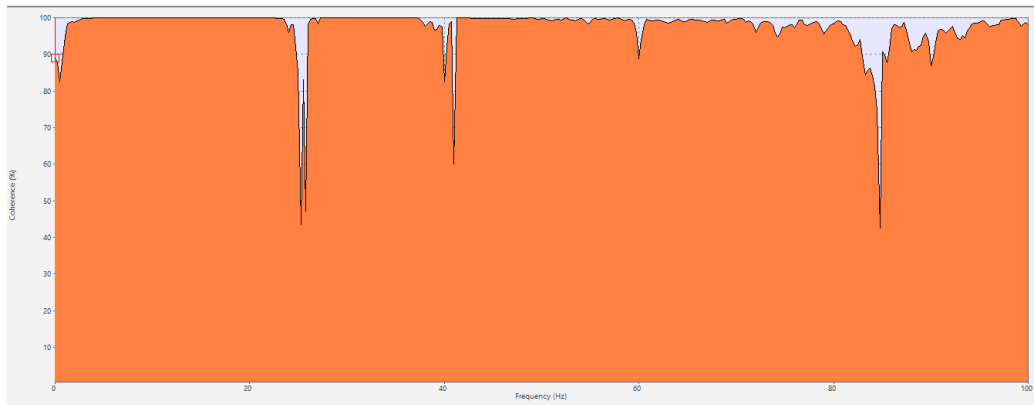


Figura 76

Aceleración de entrada vs salida a 16Hz

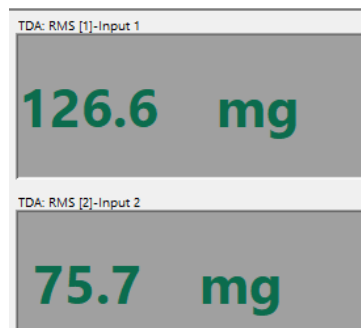


Figura 77

Análisis armónico a 16Hz

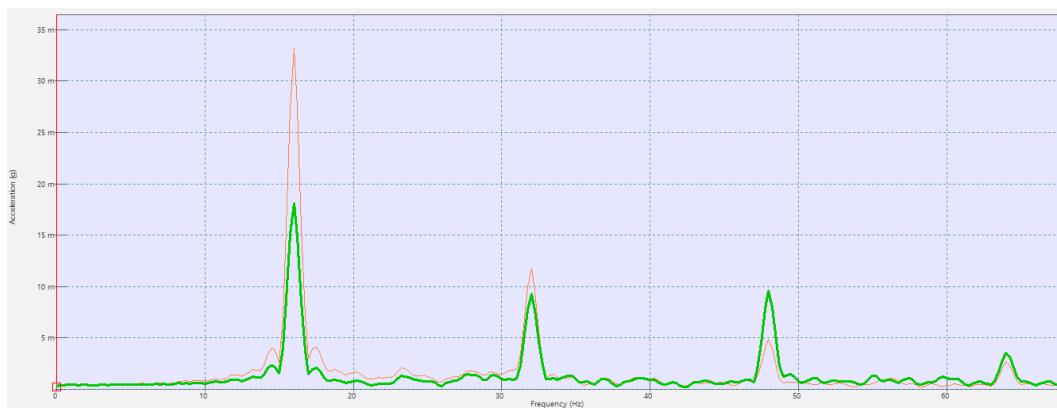


Figura 78

Coherencia del ensayo de transmisibilidad a 16Hz

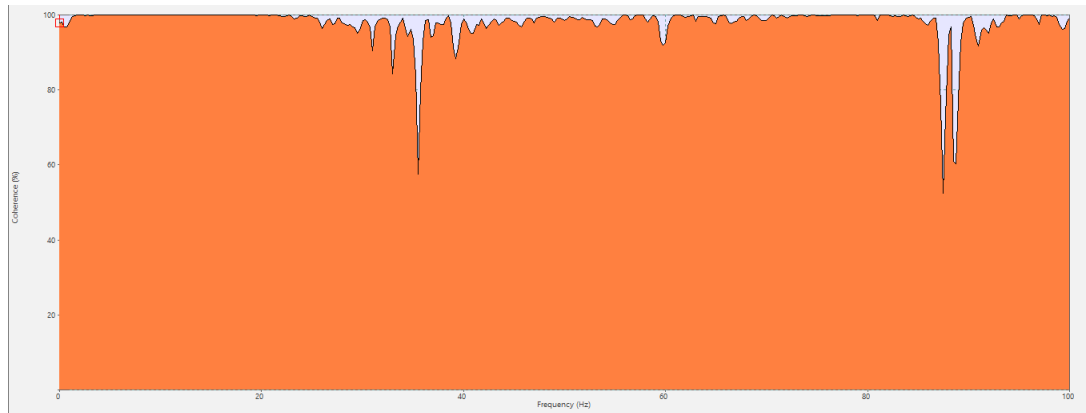


Figura 79

Aceleración de entrada vs salida a 18Hz

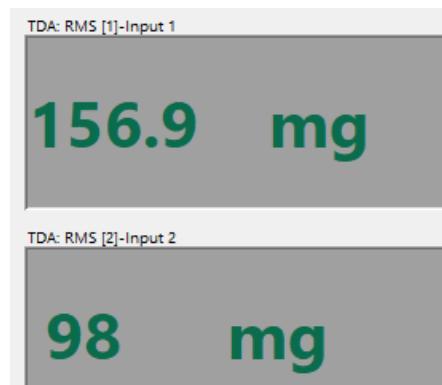


Figura 80

Análisis armónico a 18Hz

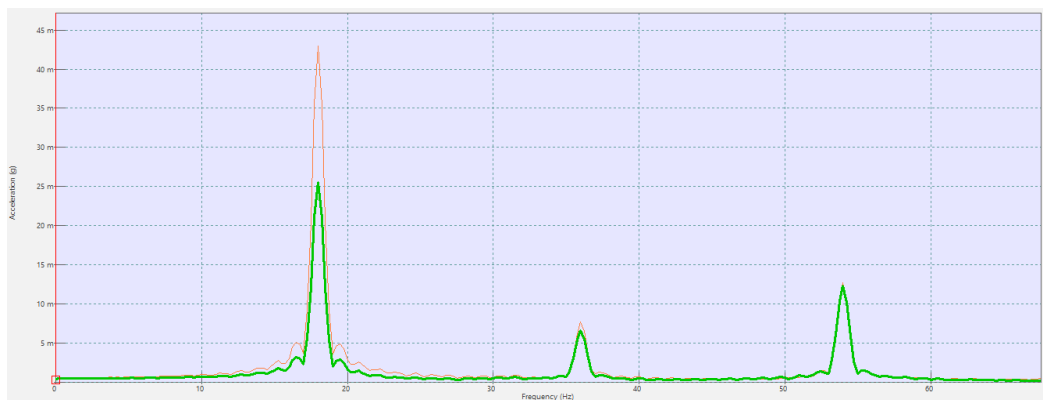


Figura 81

Coherencia del ensayo de transmisibilidad a 18Hz

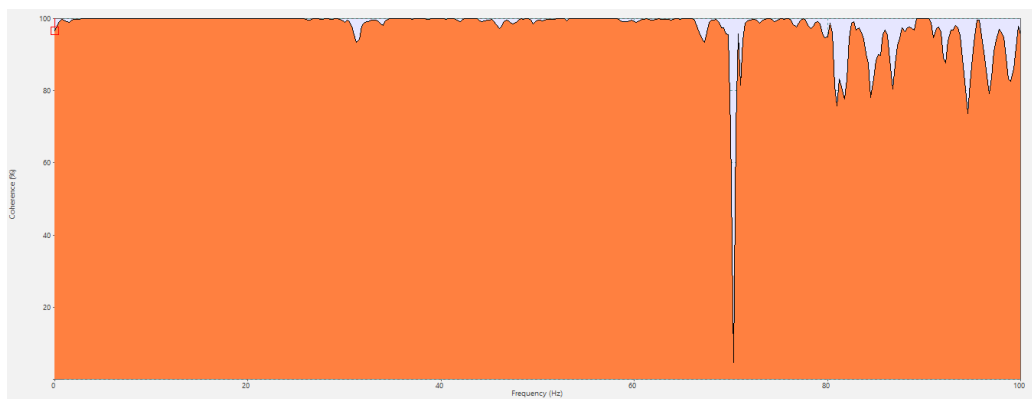


Figura 82

Aceleración de entrada vs salida a 20Hz

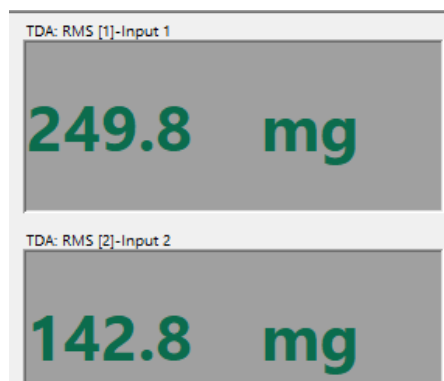


Figura 83

Análisis armónico a 20Hz

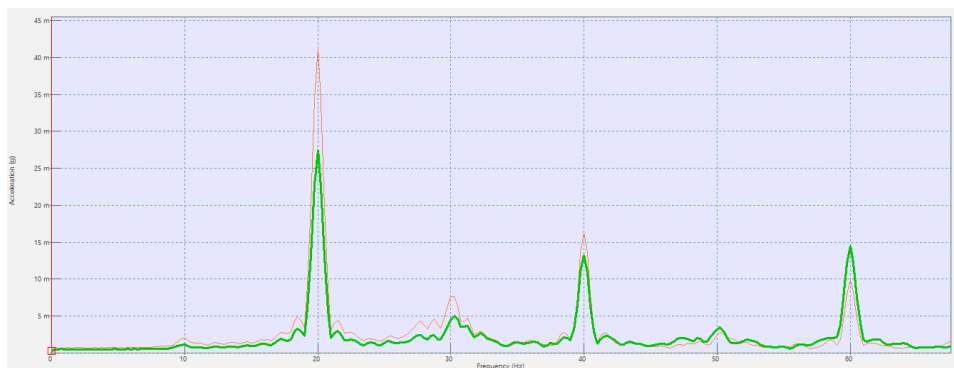


Figura 84

Coherencia del ensayo de transmisibilidad a 20Hz

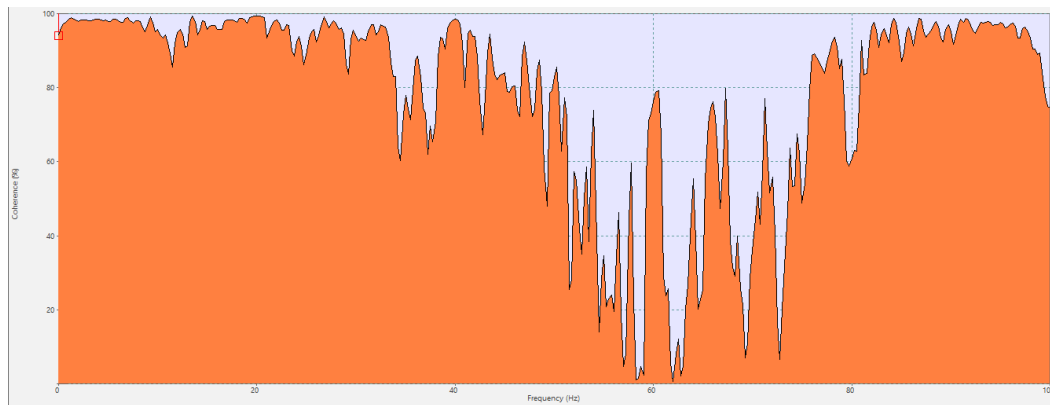


Figura 85

Aceleración de entrada vs salida a 22Hz

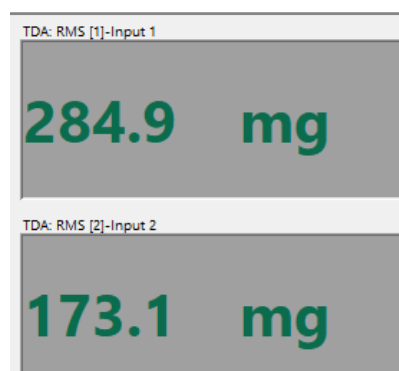


Figura 86

Análisis armónico a 22Hz

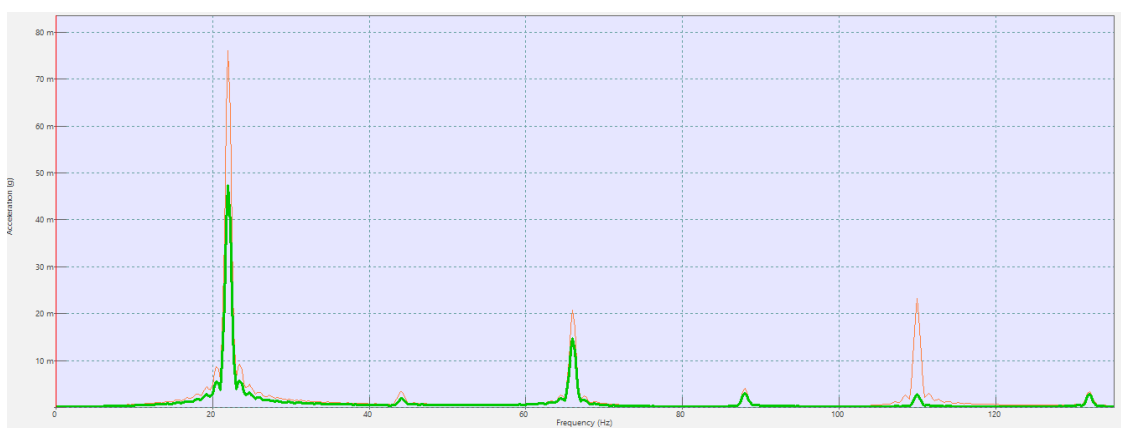


Figura 87

Coherencia del ensayo de transmisibilidad a 22Hz

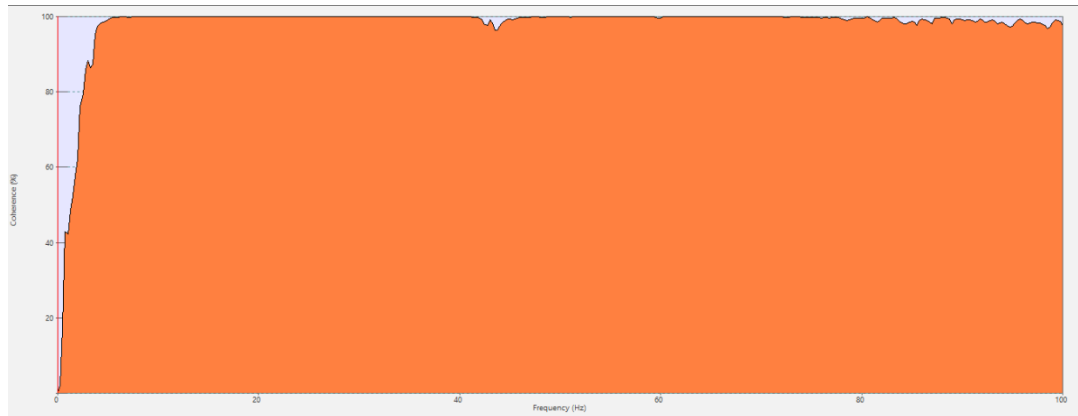


Figura 88

Aceleración de entrada vs salida a 24Hz

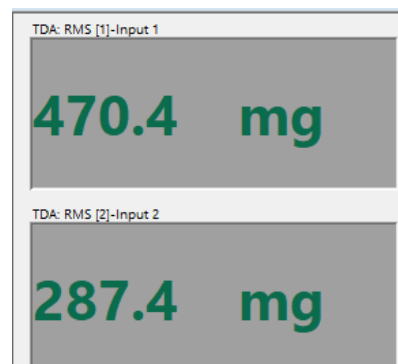


Figura 89

Análisis armónico a 24Hz

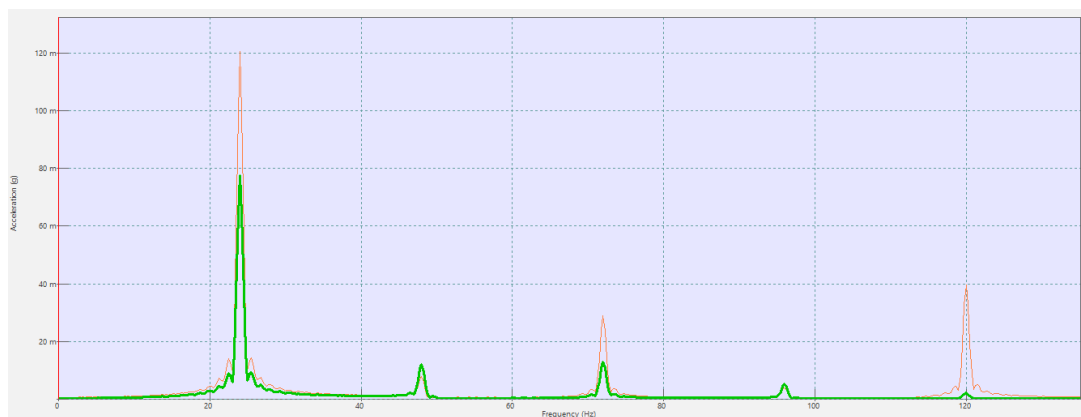


Figura 90

Coherencia del ensayo de transmisibilidad a 24Hz

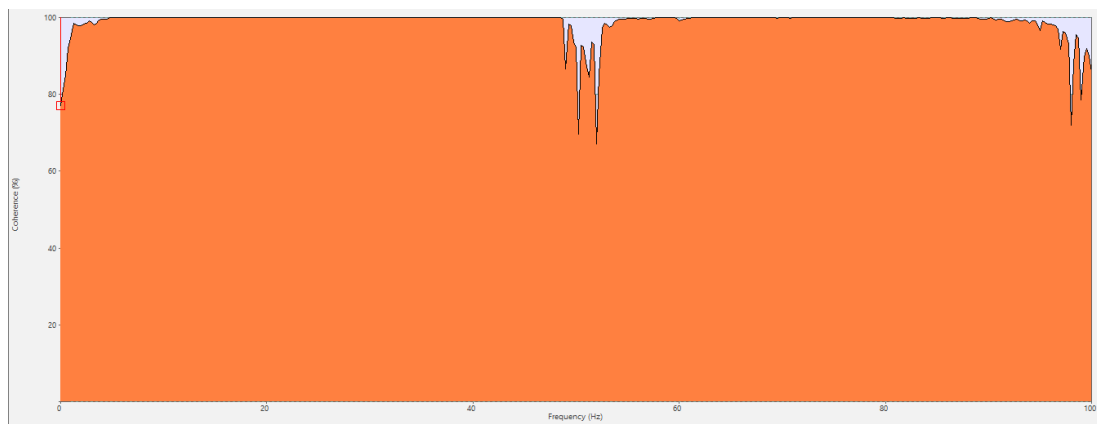


Figura 91

Aceleración de entrada vs salida a 25Hz

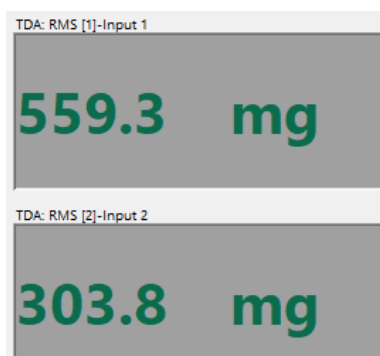


Figura 92

Análisis armónico a 25Hz

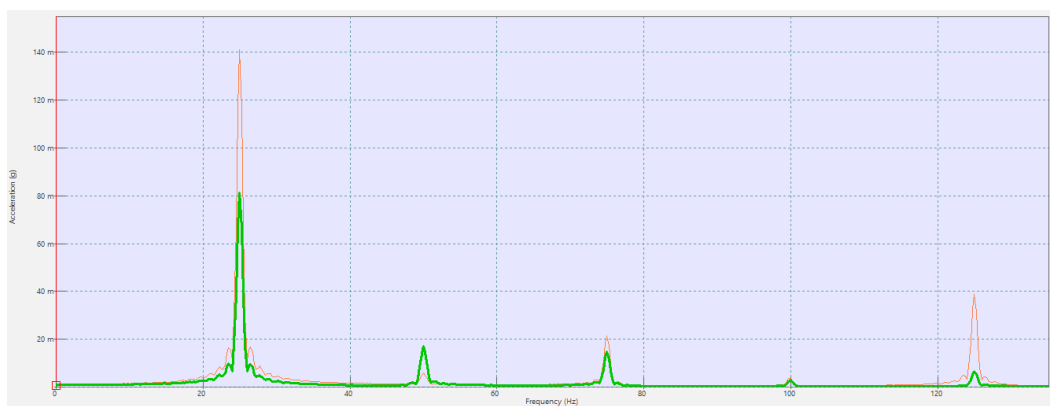


Figura 93

Coherencia del ensayo de transmisibilidad a 25Hz

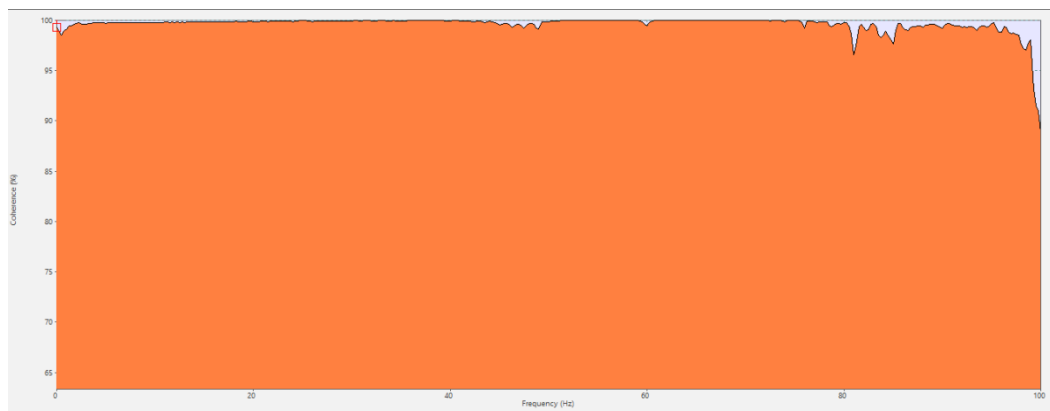


Figura 94

Aceleración de entrada vs salida a 26Hz

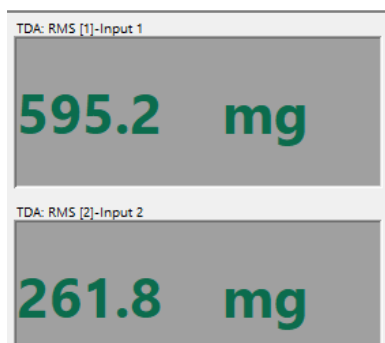


Figura 95

Análisis armónico a 26Hz

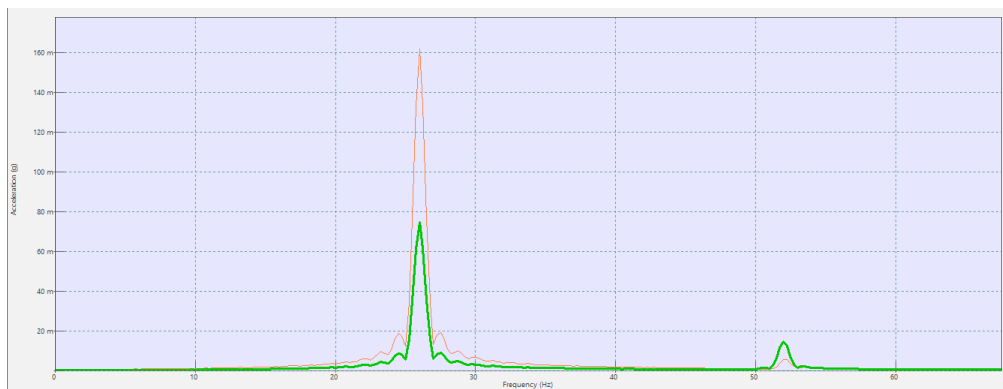


Figura 96

Coherencia del ensayo de transmisibilidad a 26Hz

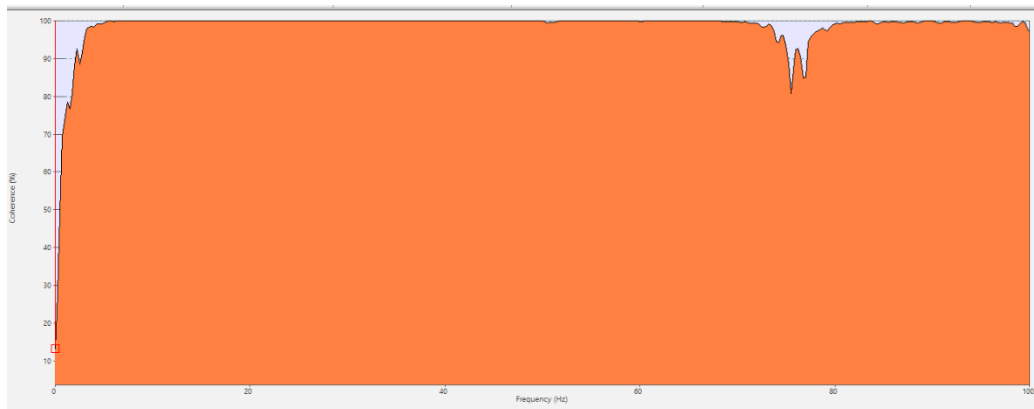


Figura 97

Aceleración de entrada vs salida a 27Hz

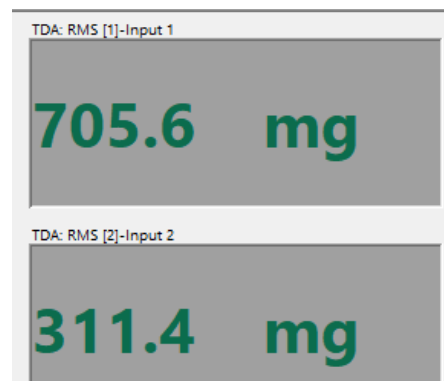


Figura 98

Análisis armónico a 27Hz

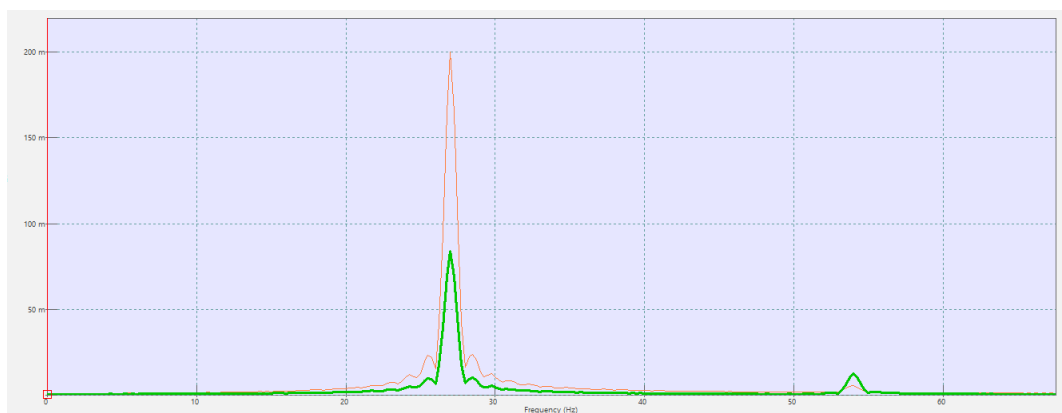


Figura 99

Coherencia del ensayo de transmisibilidad a 27Hz

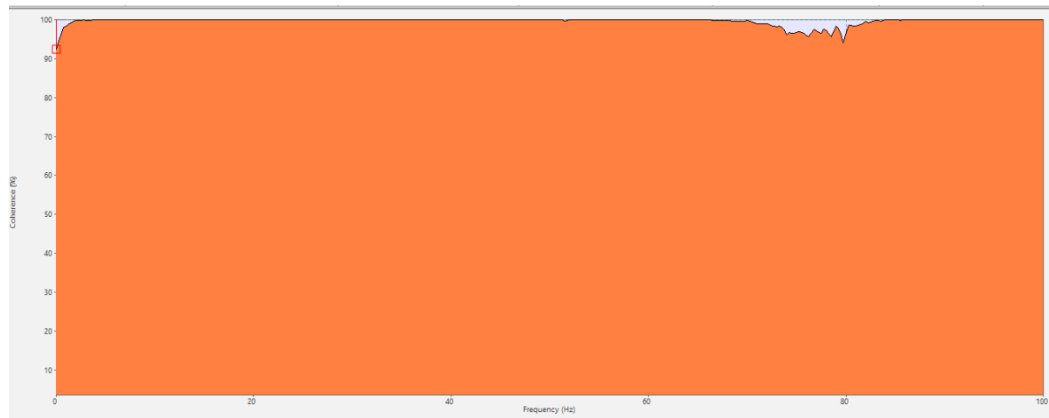


Figura 100

Aceleración de entrada vs salida a 28Hz

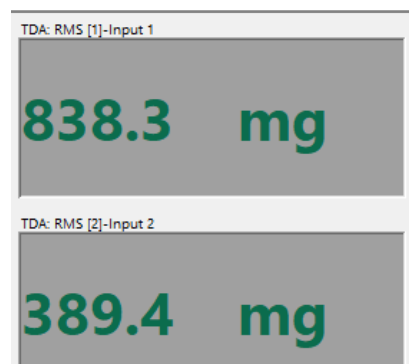


Figura 101

Análisis armónico a 28Hz

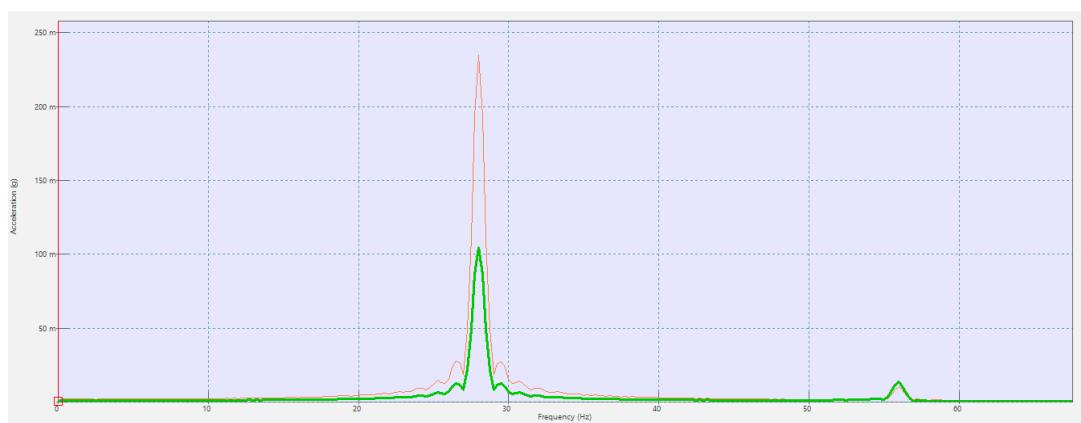


Figura 102

Coherencia del ensayo de transmisibilidad a 28Hz

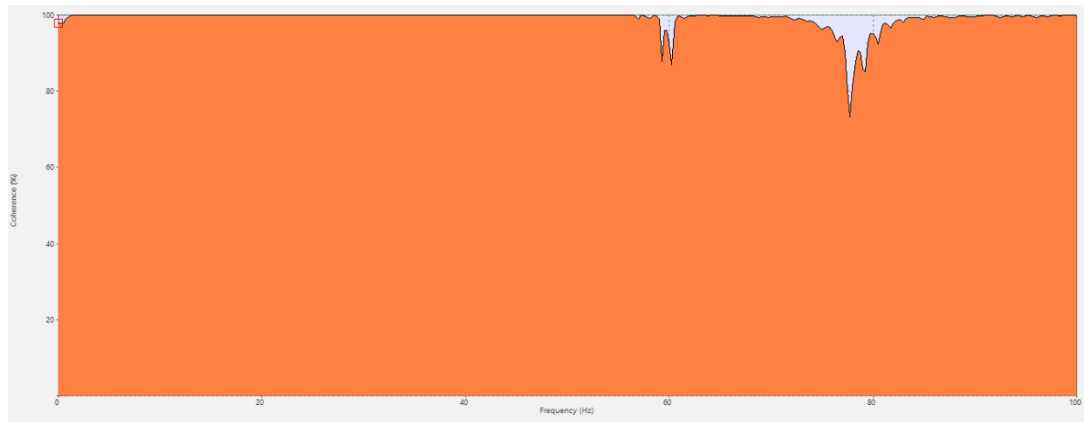


Figura 103

Aceleración de entrada vs salida a 29Hz

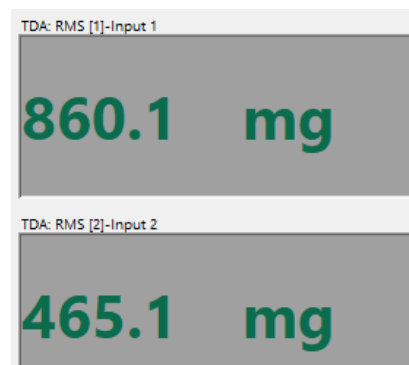


Figura 104

Análisis armónico a 29Hz

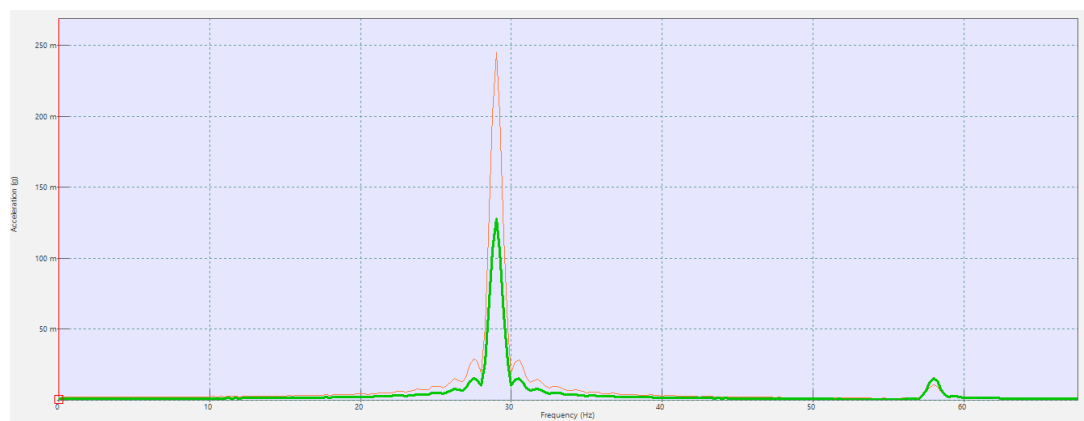


Figura 105

Coherencia del ensayo de transmisibilidad a 29Hz

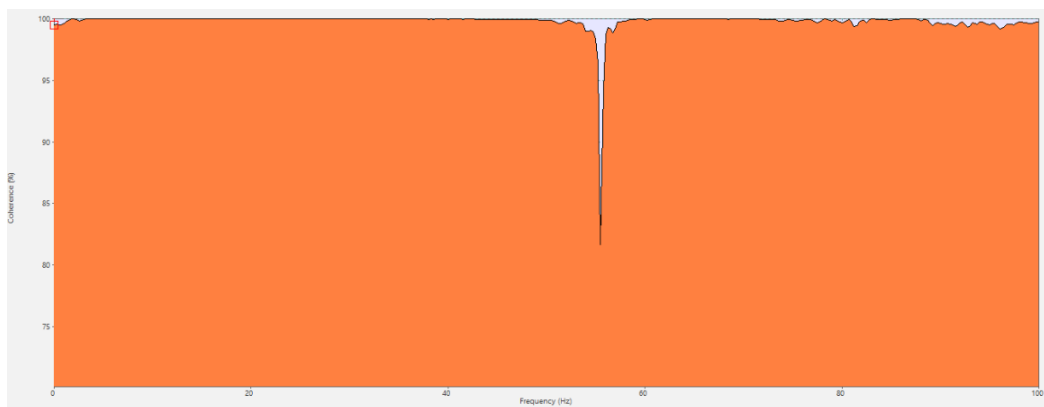


Figura 106

Aceleración de entrada vs salida a 30Hz

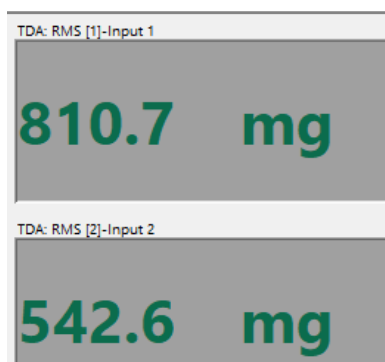


Figura 107

Análisis armónico a 30Hz

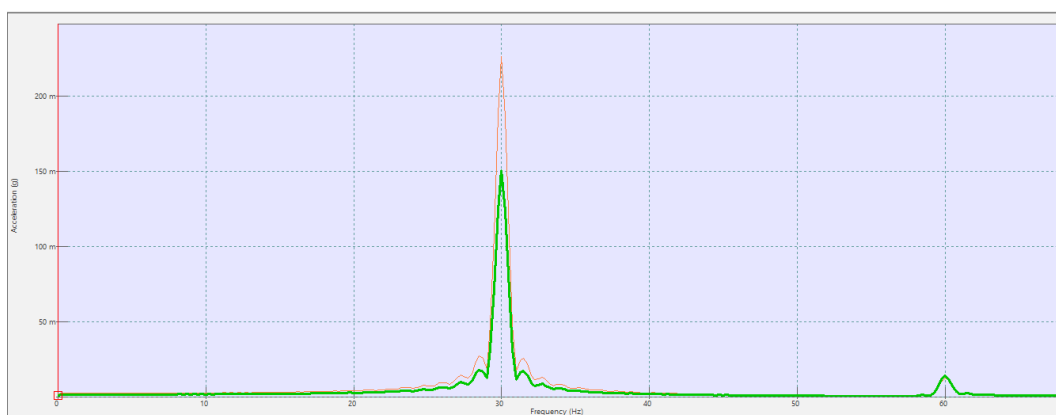


Figura 108

Coherencia del ensayo de transmisibilidad a 30Hz

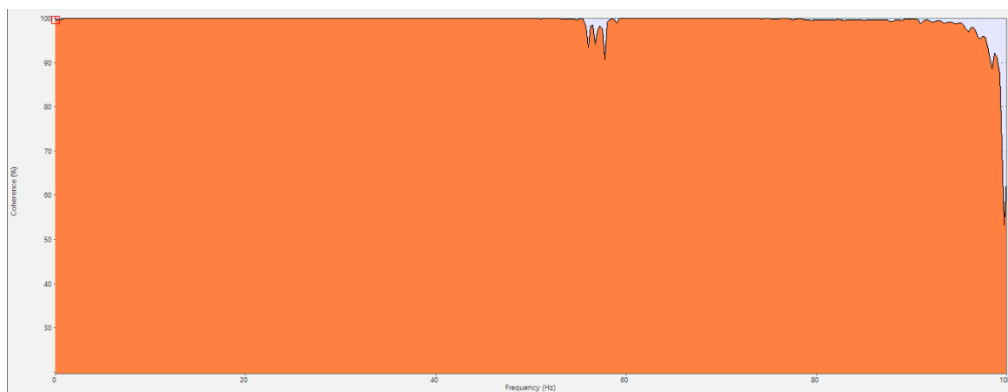


Figura 109

Aceleración de entrada vs salida a 31Hz

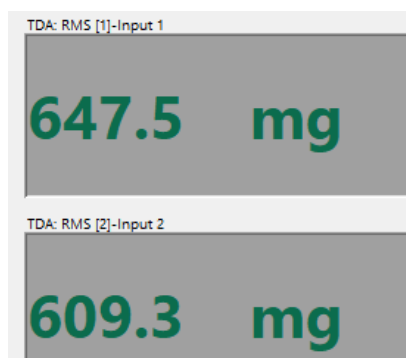


Figura 110

Análisis armónico a 31Hz

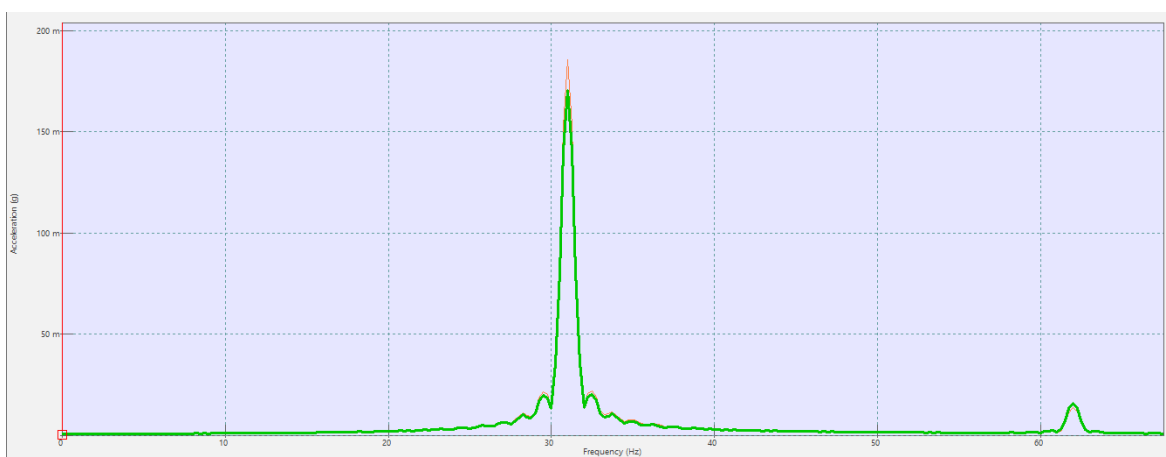


Figura 111

Coherencia del ensayo de transmisibilidad a 31Hz

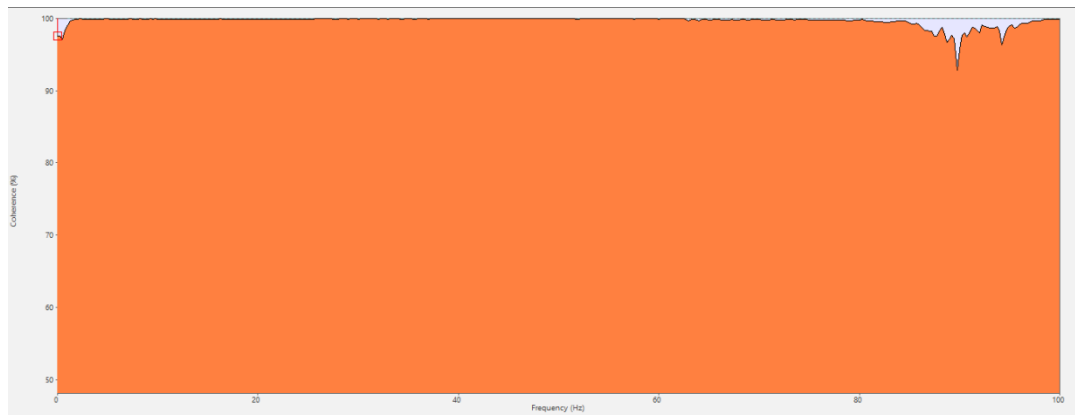


Figura 112

Aceleración de entrada vs salida a 32Hz

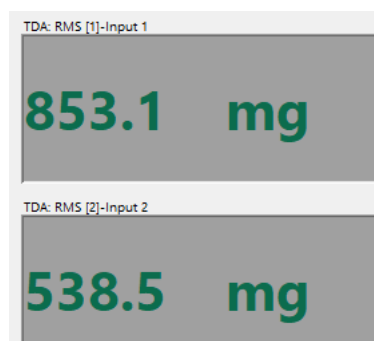


Figura 113

Análisis armónico a 32Hz

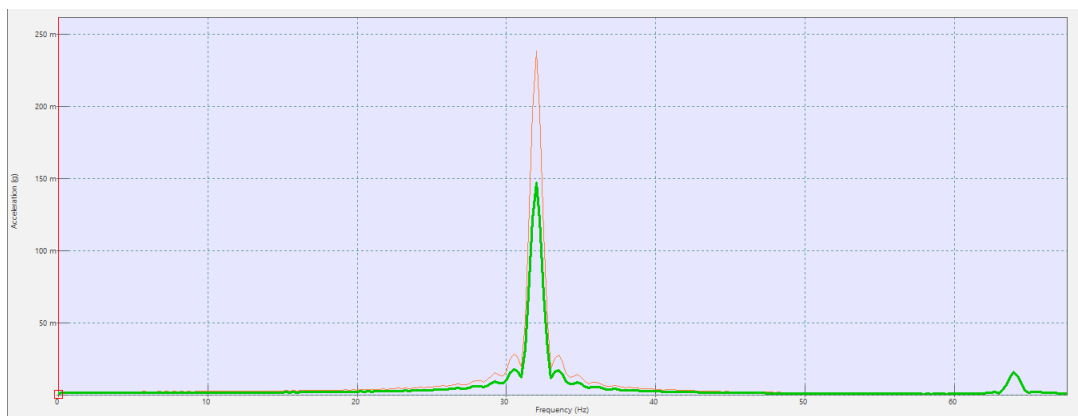


Figura 114

Coherencia del ensayo de transmisibilidad a 32Hz

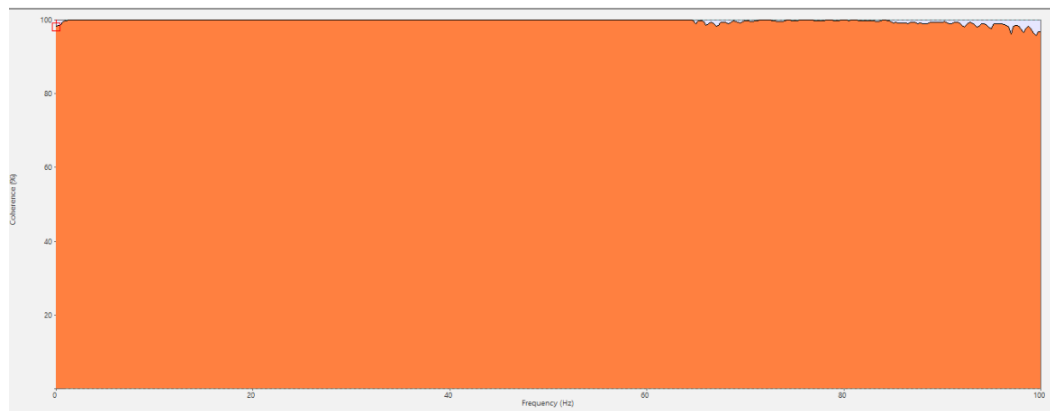


Figura 115

Aceleración de entrada vs salida a 33Hz

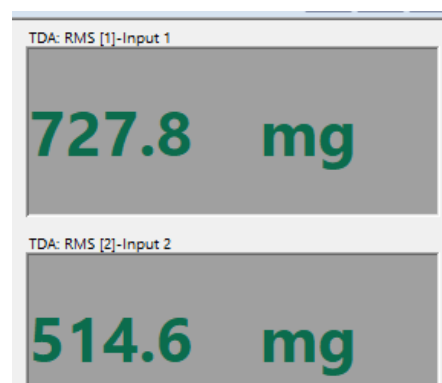


Figura 116

Análisis armónico a 33Hz

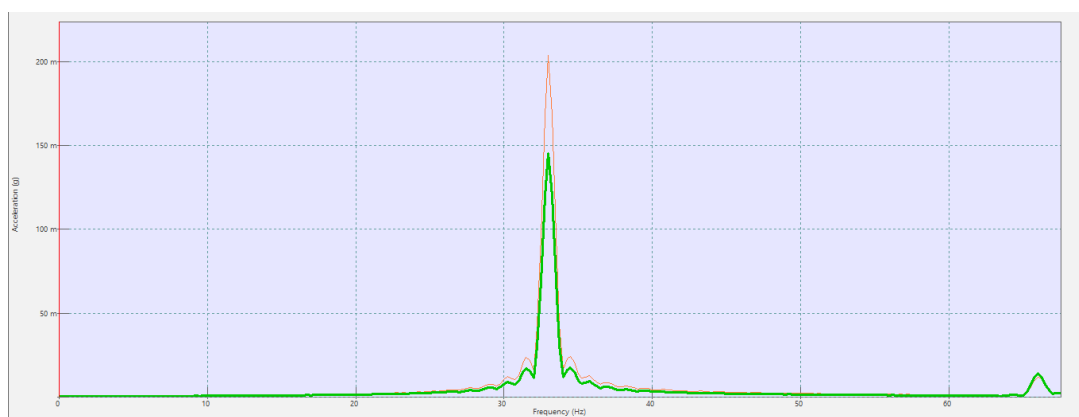


Figura 117

Coherencia del ensayo de transmisibilidad a 33Hz

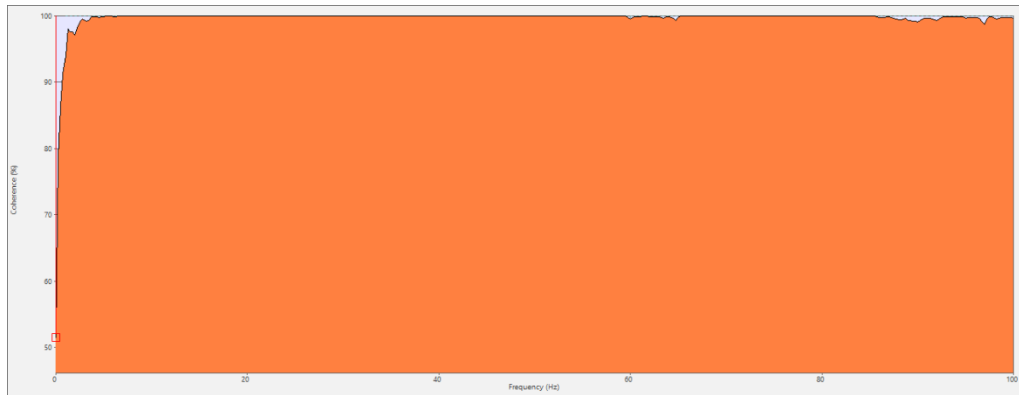


Figura 118

Aceleración de entrada vs salida a 34Hz

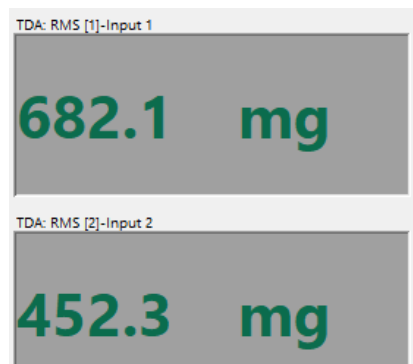


Figura 119

Análisis armónico a 34Hz

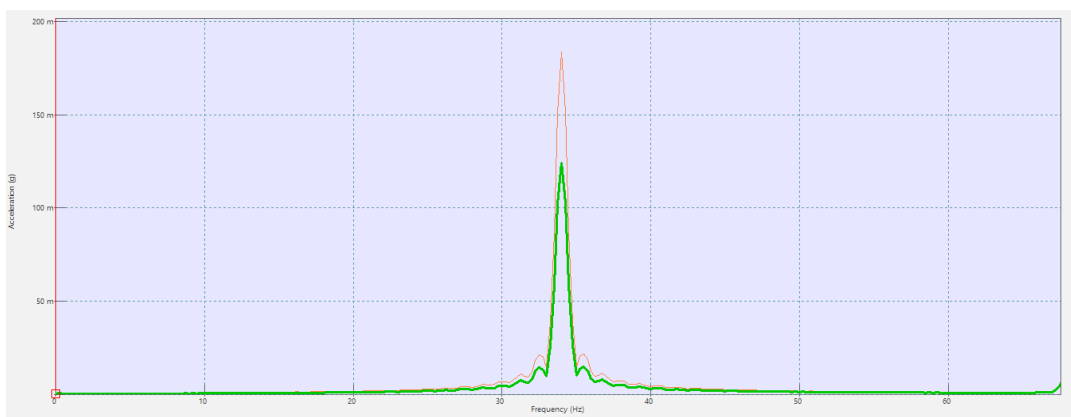


Figura 120

Coherencia del ensayo de transmisibilidad a 34Hz

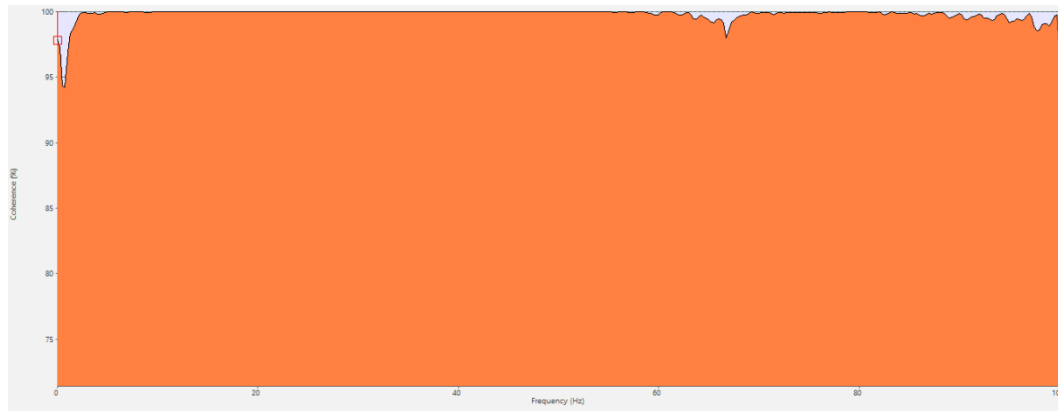


Figura 121

Aceleración de entrada vs salida a 35Hz

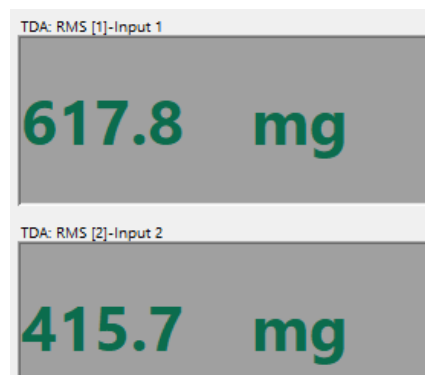


Figura 122

Análisis armónico a 35Hz

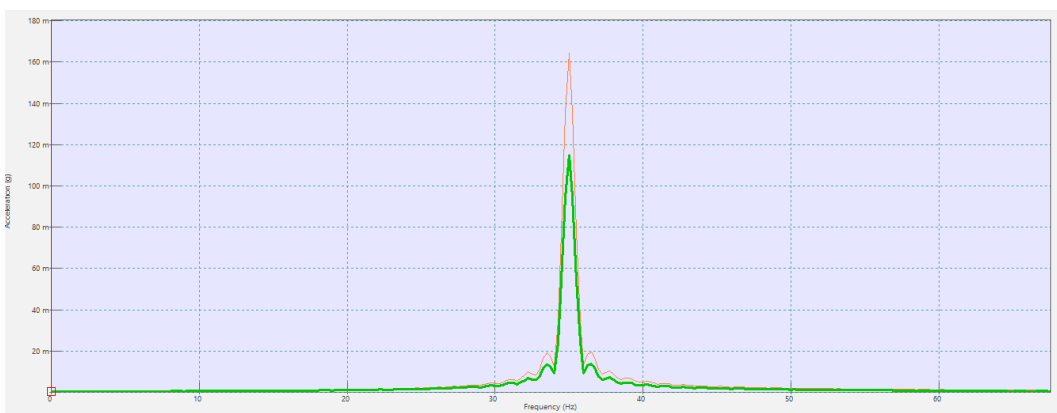


Figura 123

Coherencia del ensayo de transmisibilidad a 35Hz

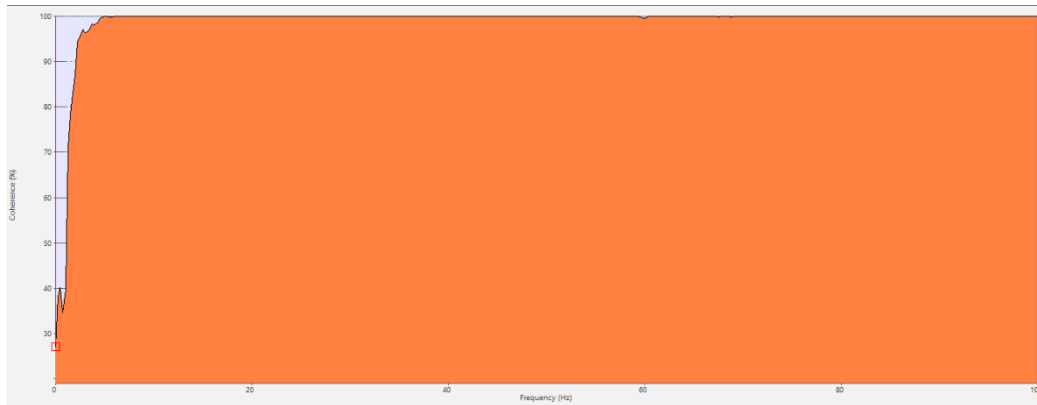


Figura 124

Aceleración de entrada vs salida a 36Hz

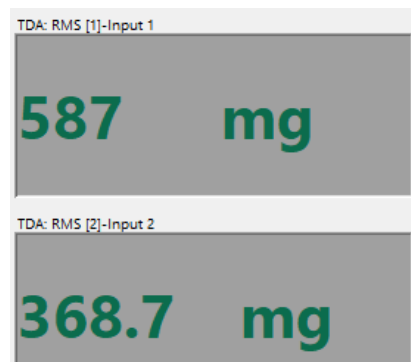


Figura 125

Análisis armónico a 36Hz

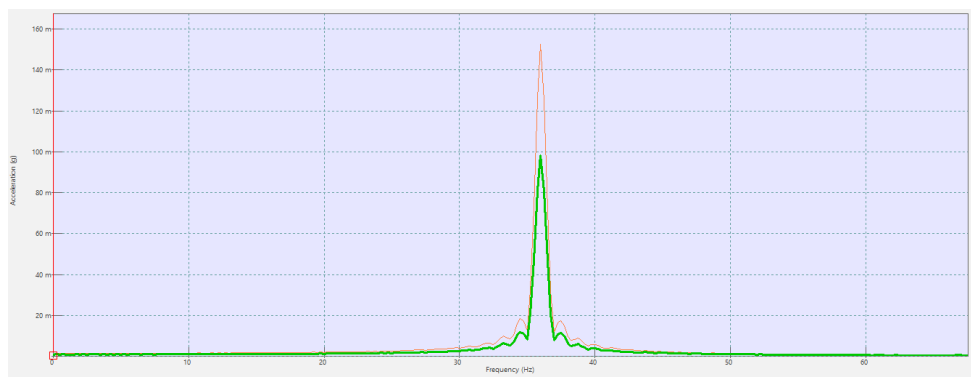


Figura 126

Coherencia del ensayo de transmisibilidad a 36Hz

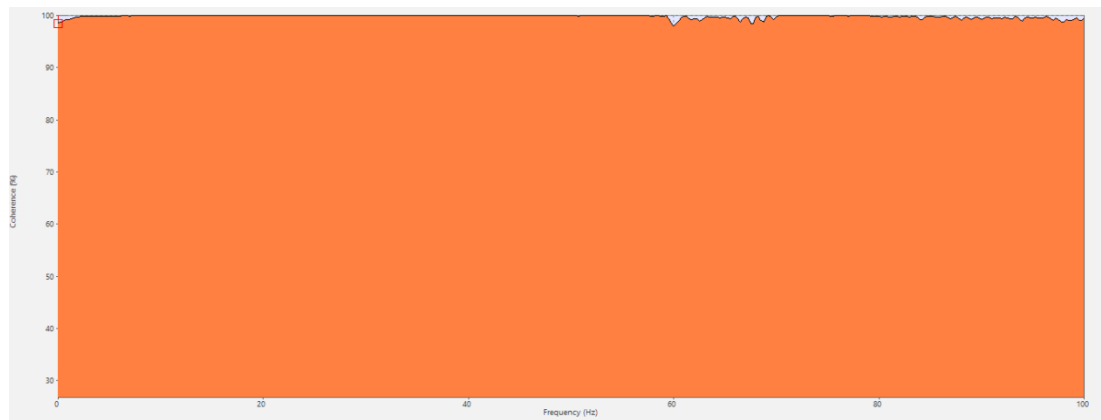


Figura 127

Aceleración de entrada vs salida a 38Hz

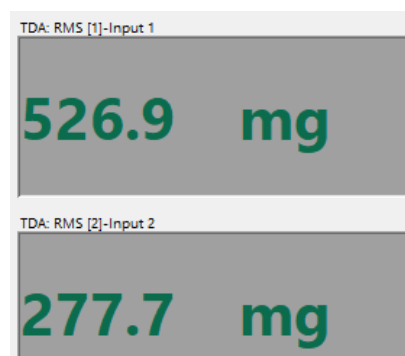


Figura 128

Análisis armónico a 38Hz

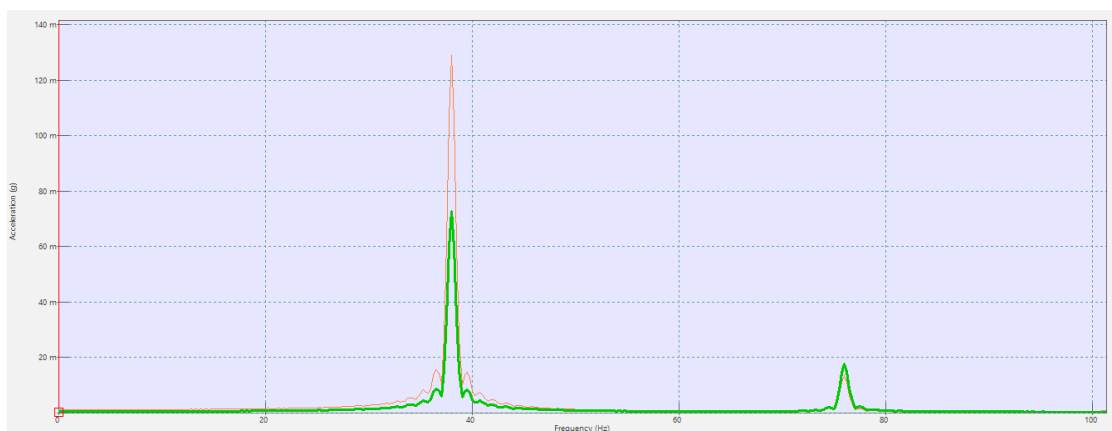


Figura 129

Coherencia del ensayo de transmisibilidad a 38Hz

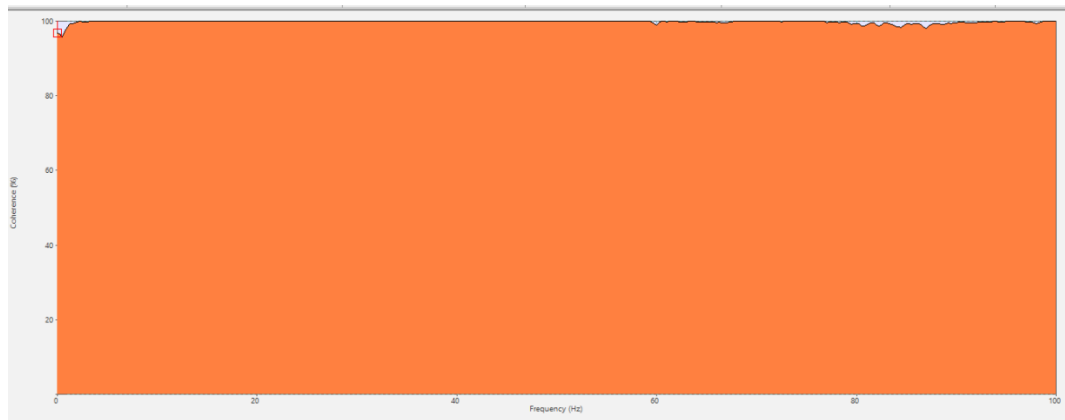


Figura 130

Aceleración de entrada vs salida a 40Hz

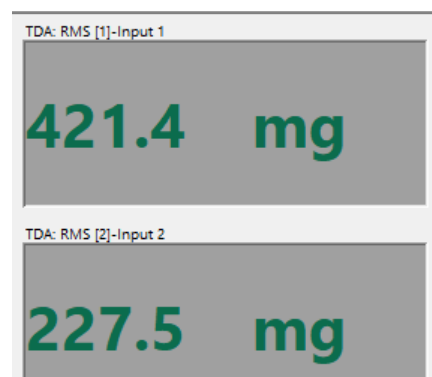


Figura 131

Análisis armónico a 40Hz

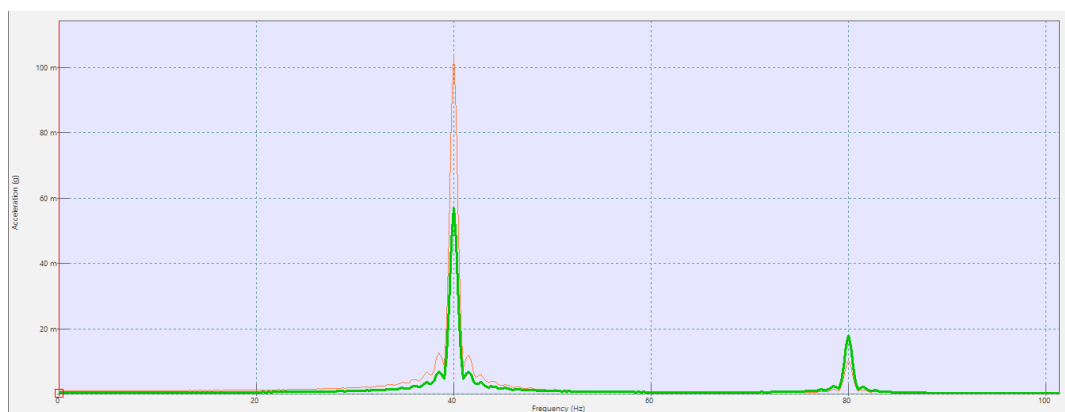
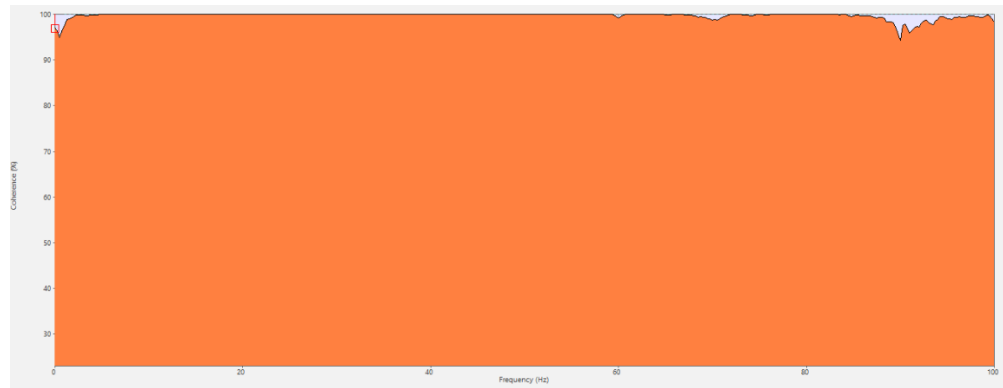


Figura 132

Coherencia del ensayo de transmisibilidad a 40Hz



Estructura circular con resonadores

Figura 133

Aceleración de entrada vs salida a 10Hz

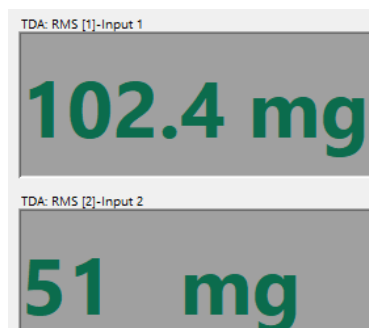


Figura 134

Análisis armónico a 10Hz

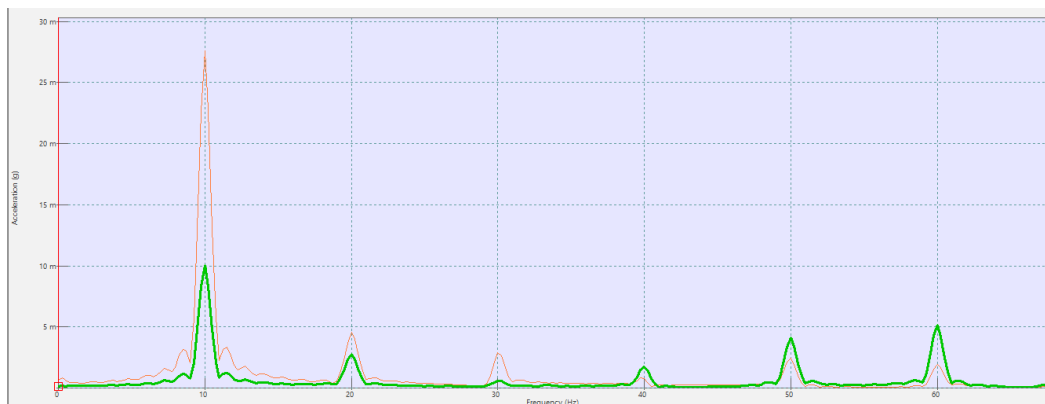


Figura 135

Coherencia del ensayo de transmisibilidad a 10Hz

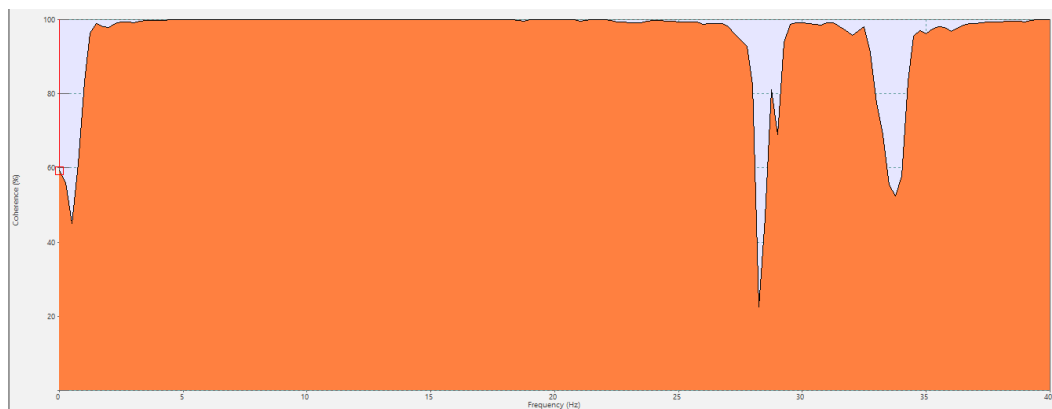


Figura 136

Aceleración de entrada vs salida a 12Hz

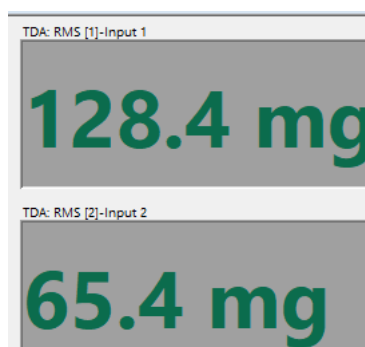


Figura 137

Análisis armónico a 12Hz

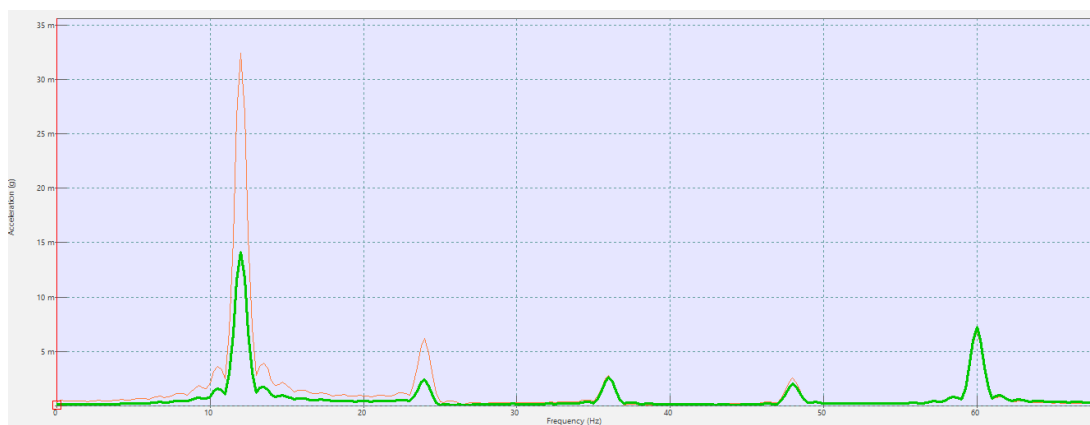


Figura 138

Coherencia del ensayo de transmisibilidad a 12Hz

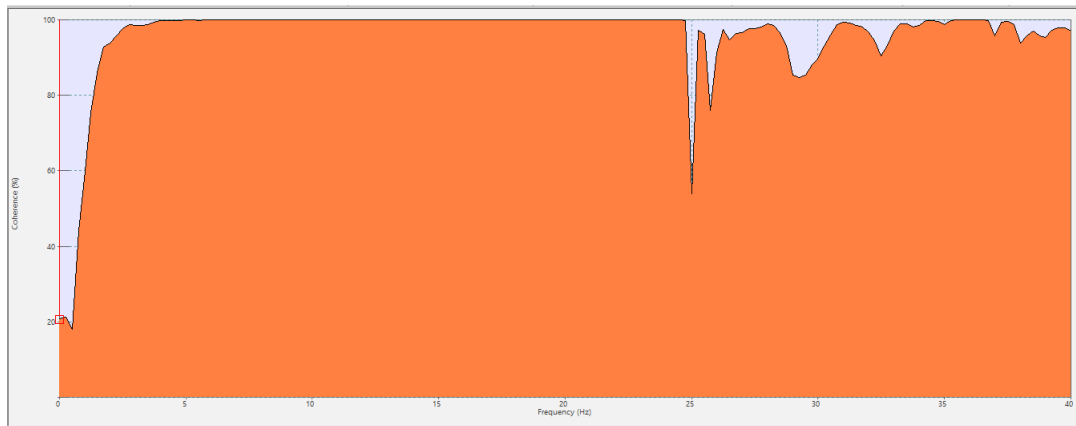


Figura 139

Aceleración de entrada vs salida a 14Hz

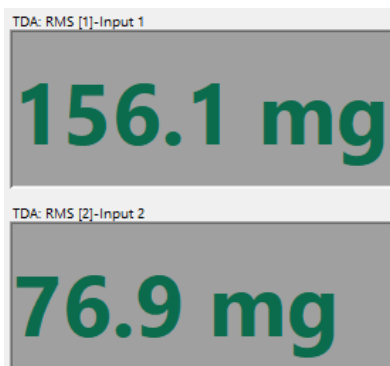


Figura 140

Análisis armónico a 14Hz

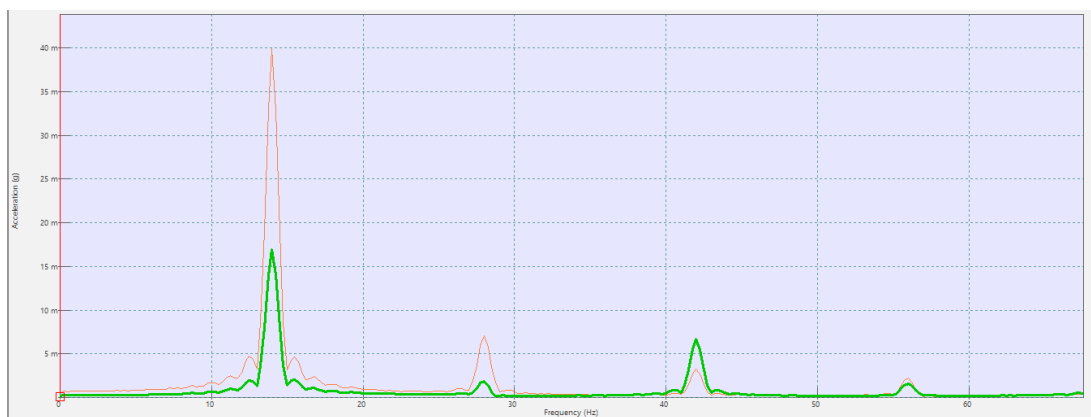


Figura 141

Coherencia del ensayo de transmisibilidad a 14Hz

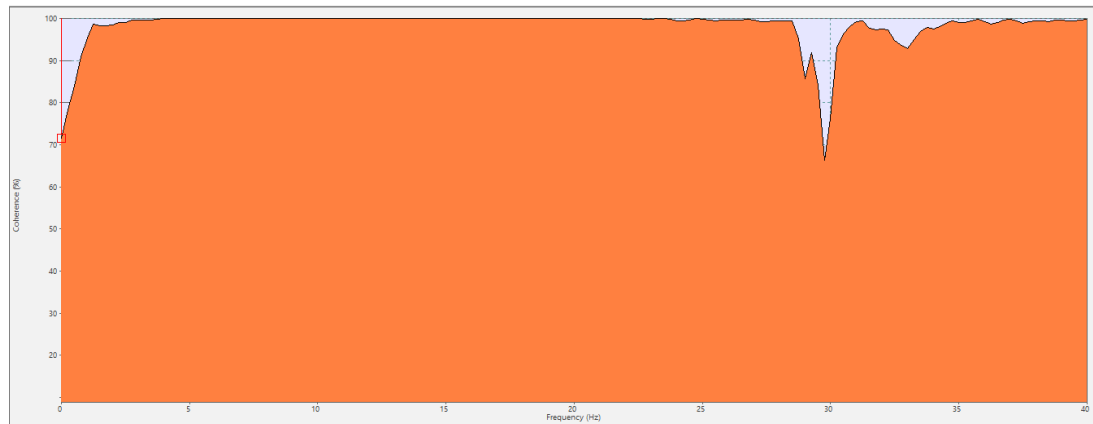


Figura 142

Aceleración de entrada vs salida a 16Hz

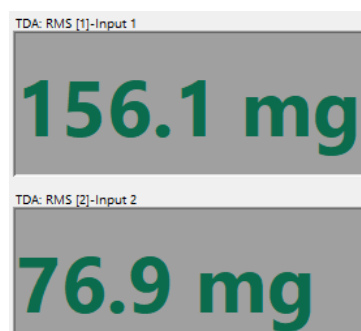


Figura 143

Análisis armónico a 16Hz

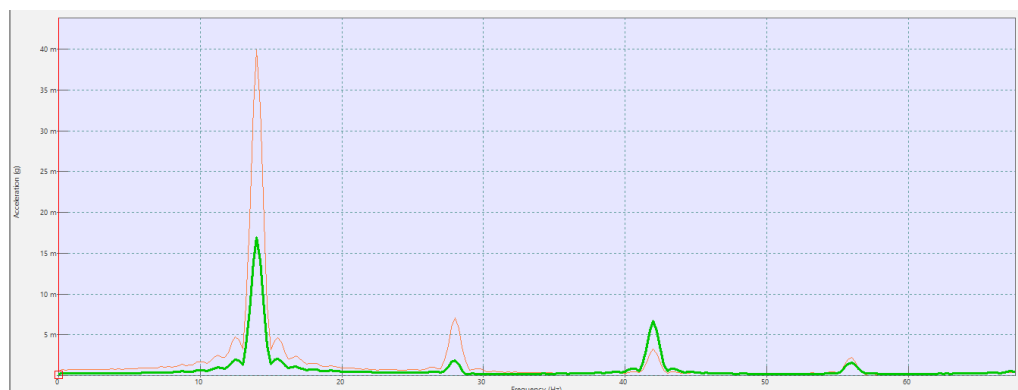


Figura 144

Coherencia del ensayo de transmisibilidad a 16Hz

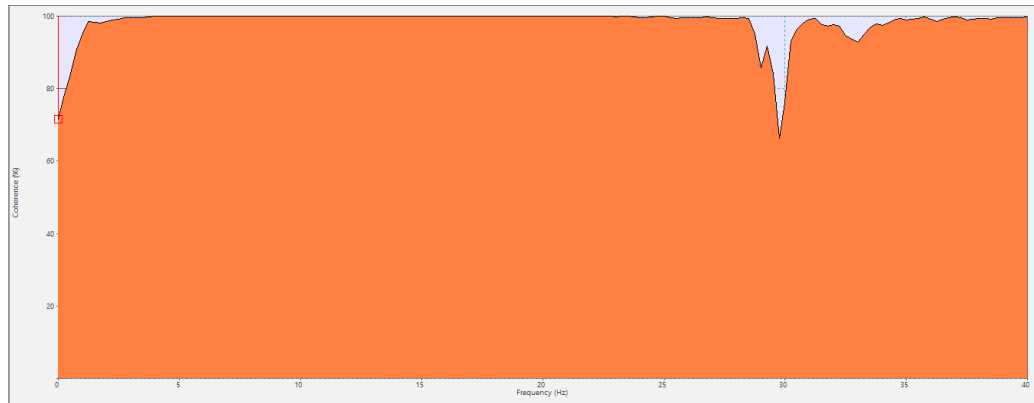


Figura 145

Aceleración de entrada vs salida a 18Hz

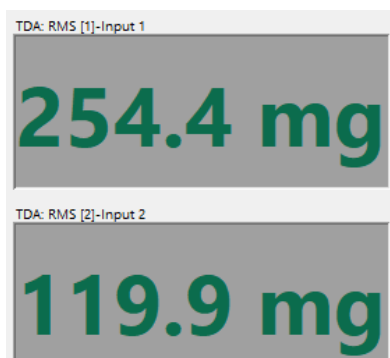


Figura 146

Análisis armónico a 18Hz

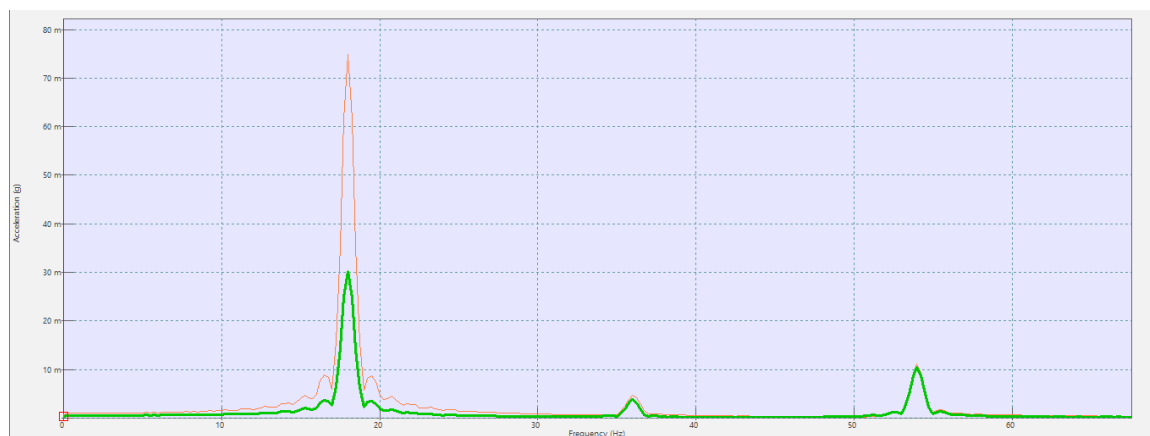


Figura 147

Coherencia del ensayo de transmisibilidad a 18Hz

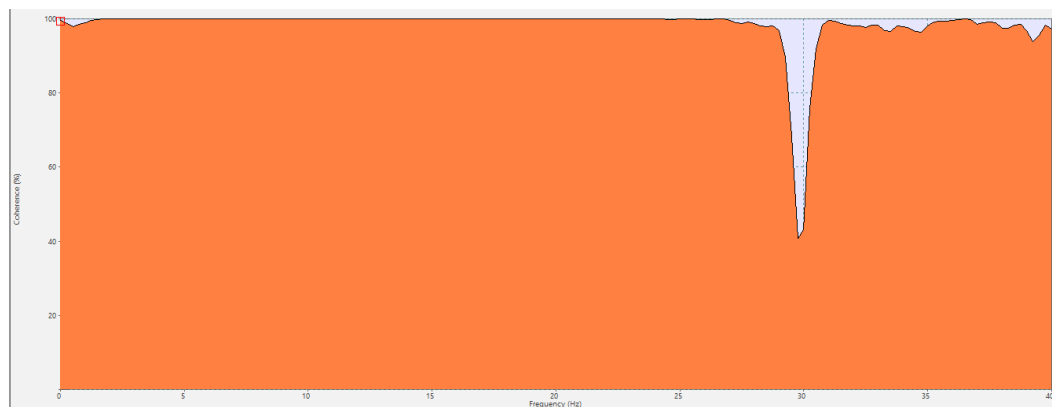


Figura 148

Aceleración de entrada vs salida a 20Hz

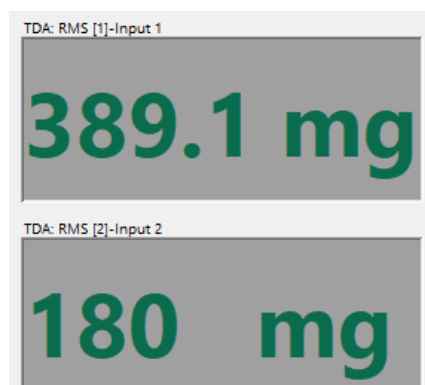


Figura 149

Análisis armónico a 20Hz

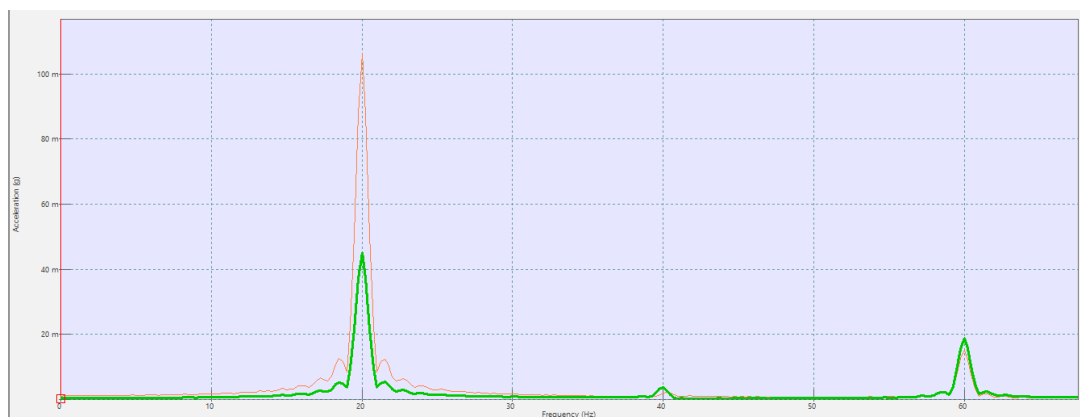


Figura 150

Coherencia del ensayo de transmisibilidad a 20Hz

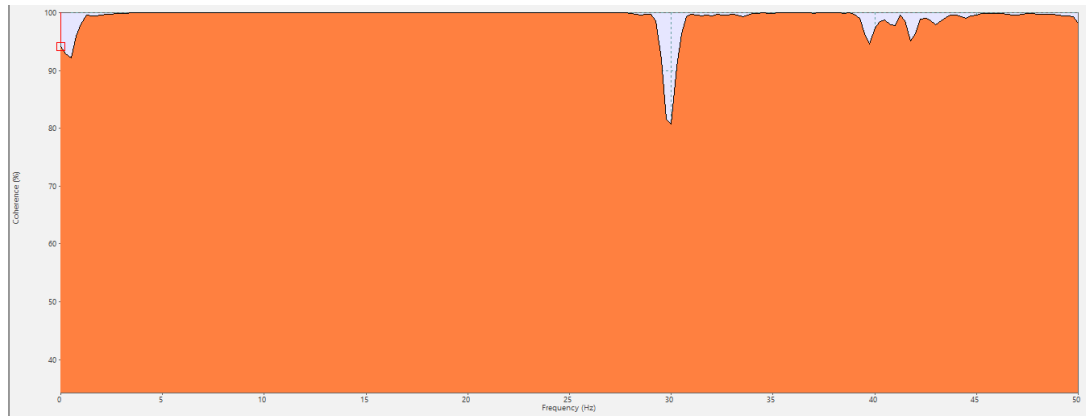


Figura 151

Aceleración de entrada vs salida a 22Hz

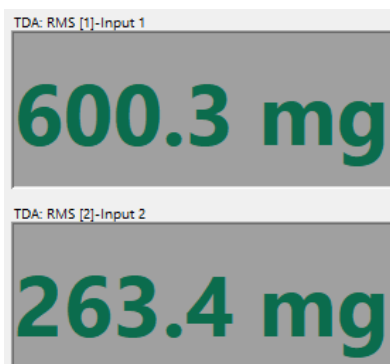


Figura 152

Análisis armónico a 22Hz

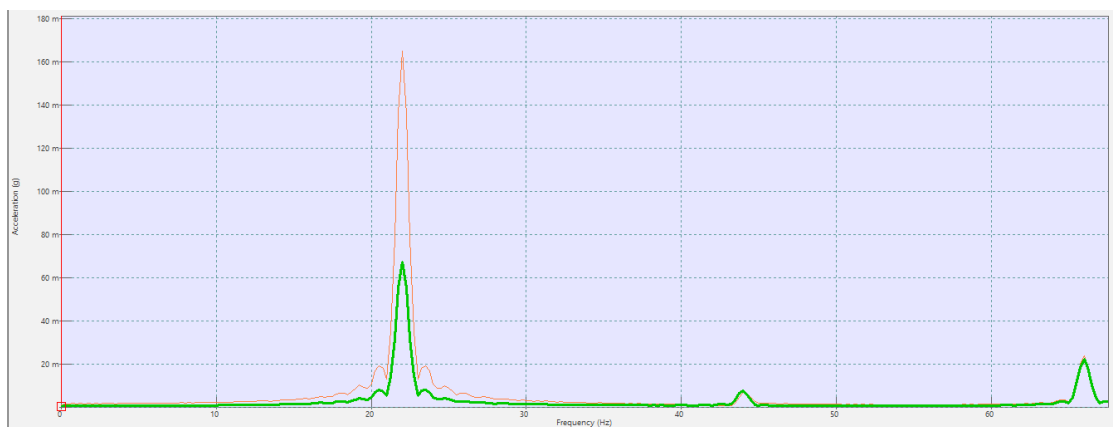


Figura 153

Coherencia del ensayo de transmisibilidad a 22Hz

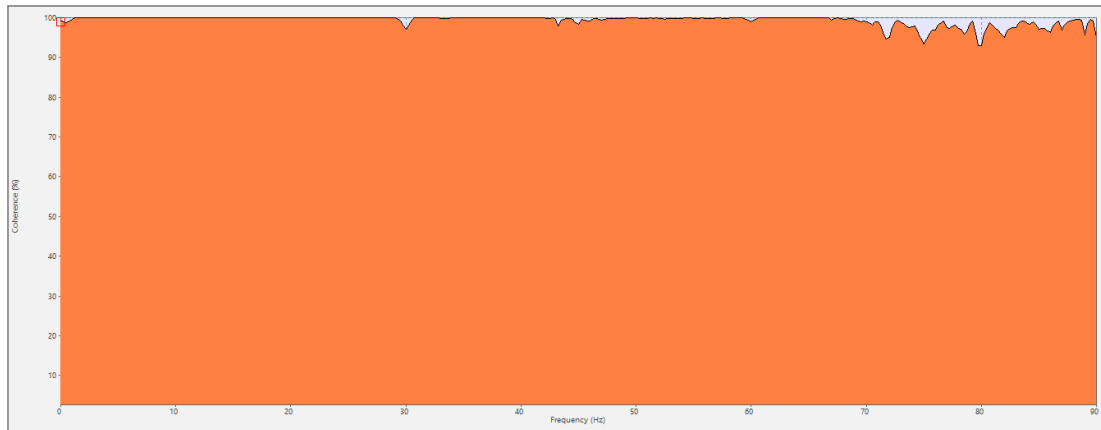


Figura 154

Aceleración de entrada vs salida a 24Hz

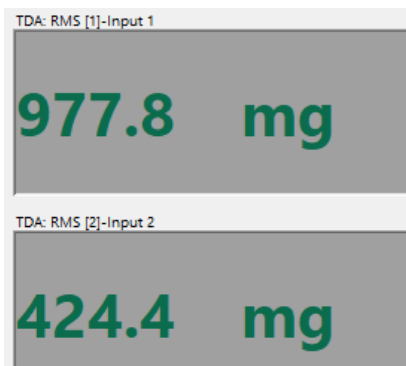


Figura 155

Análisis armónico a 24Hz

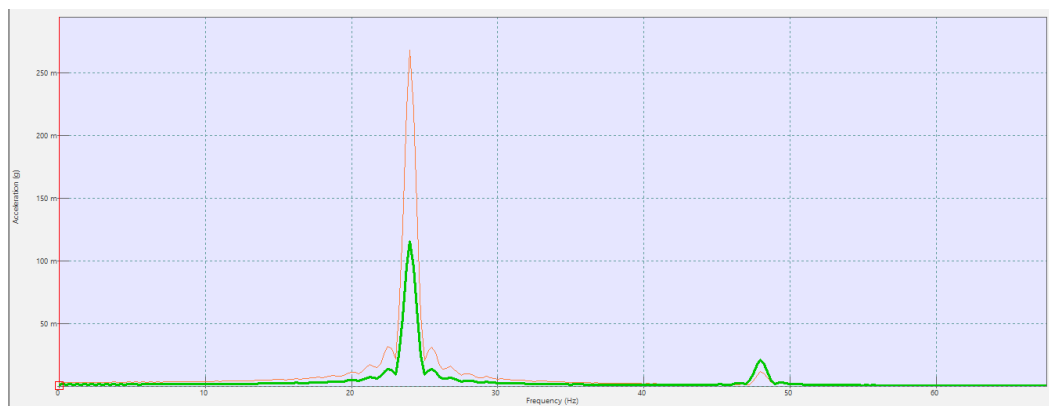


Figura 156

Coherencia del ensayo de transmisibilidad a 24Hz

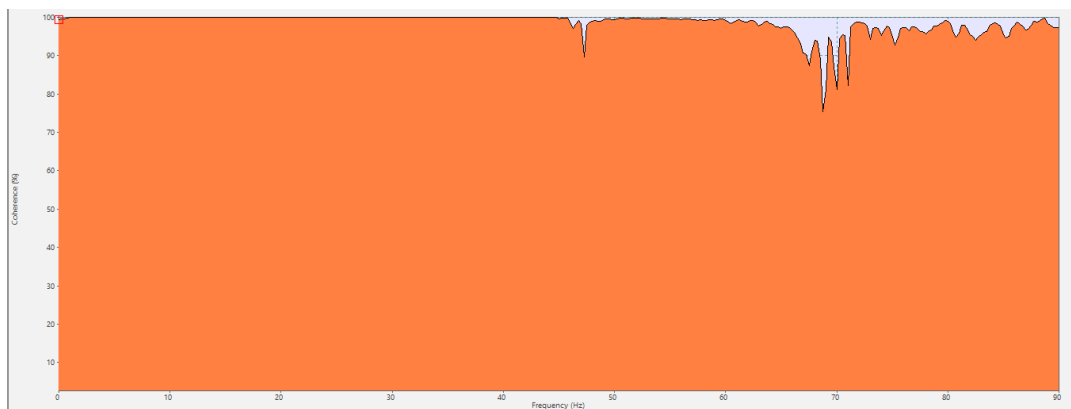


Figura 157

Aceleración de entrada vs salida a 25Hz

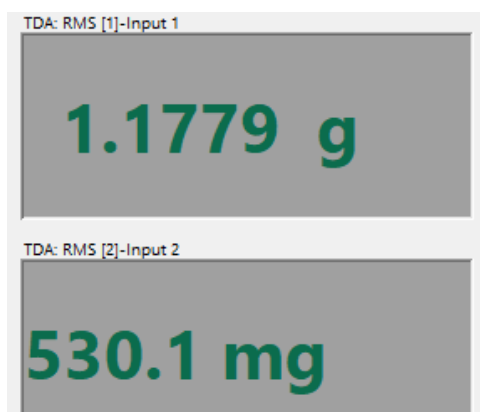


Figura 158

Análisis armónico a 25Hz

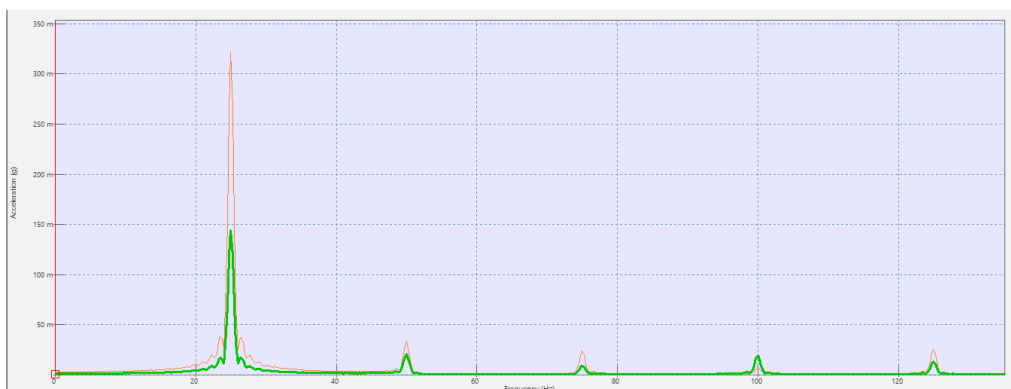


Figura 159

Coherencia del ensayo de transmisibilidad a 25Hz

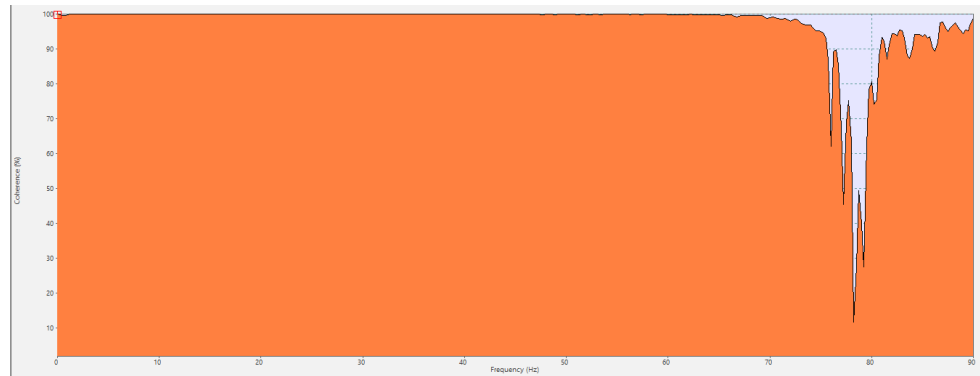


Figura 160

Aceleración de entrada vs salida a 26Hz

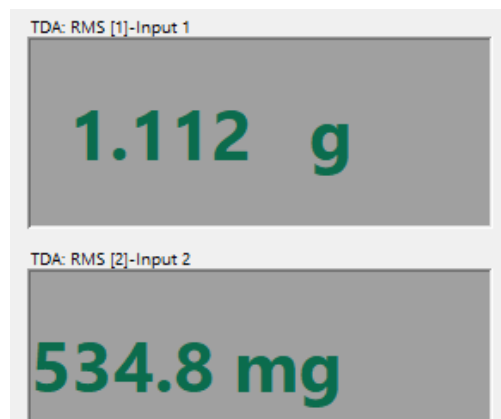


Figura 161

Análisis armónico a 26Hz

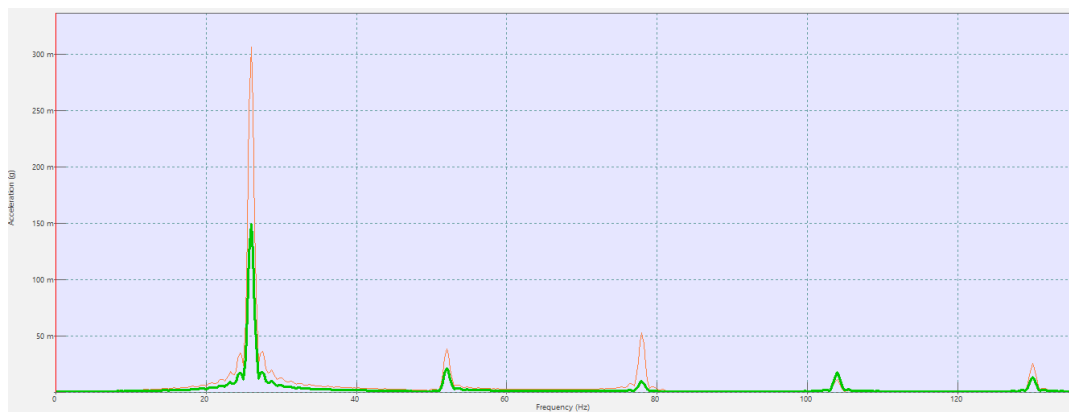


Figura 162

Coherencia del ensayo de transmisibilidad a 26Hz

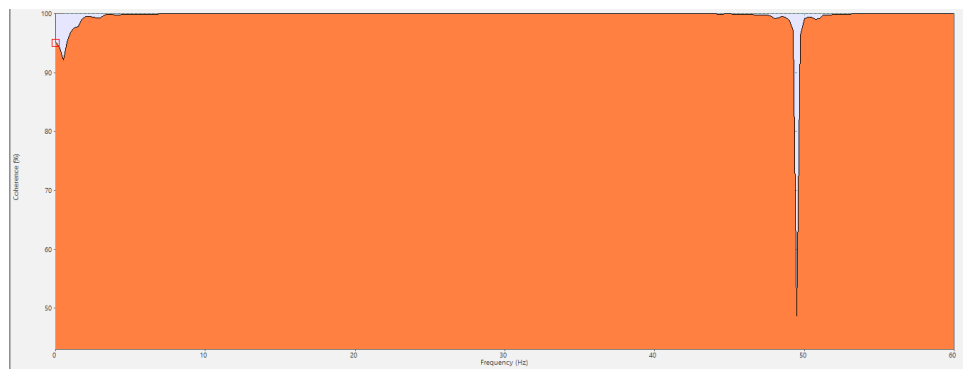


Figura 163

Aceleración de entrada vs salida a 27Hz

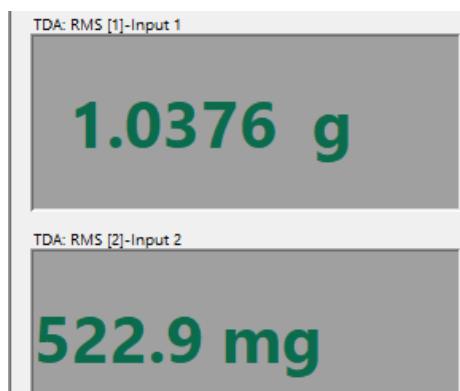


Figura 164

Análisis armónico a 27Hz

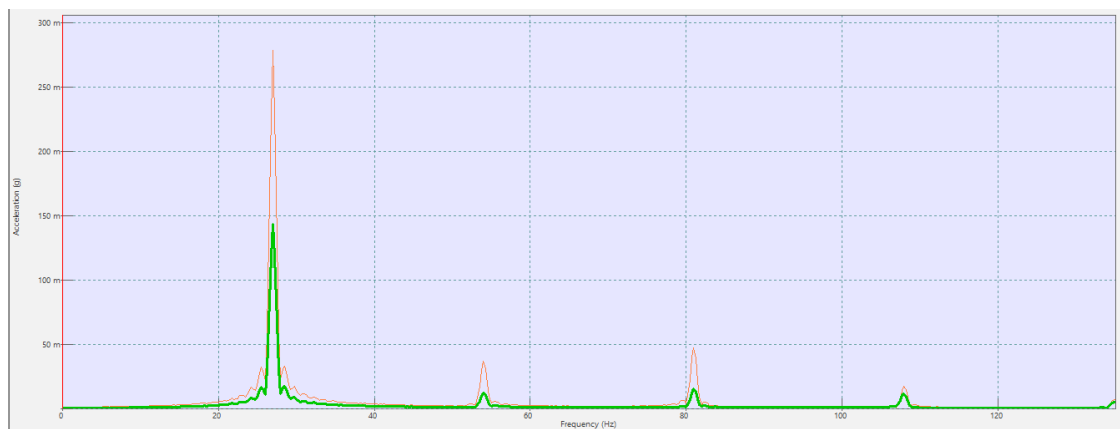


Figura 165

Coherencia del ensayo de transmisibilidad a 27Hz

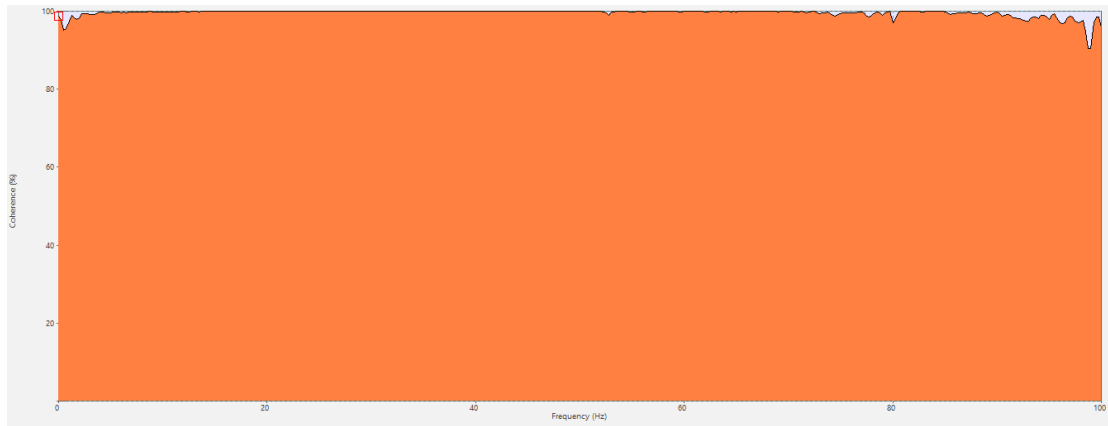


Figura 166

Aceleración de entrada vs salida a 28Hz

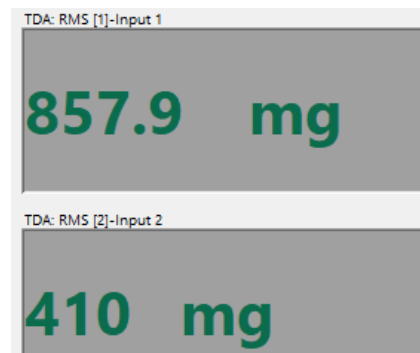


Figura 167

Análisis armónico a 28Hz

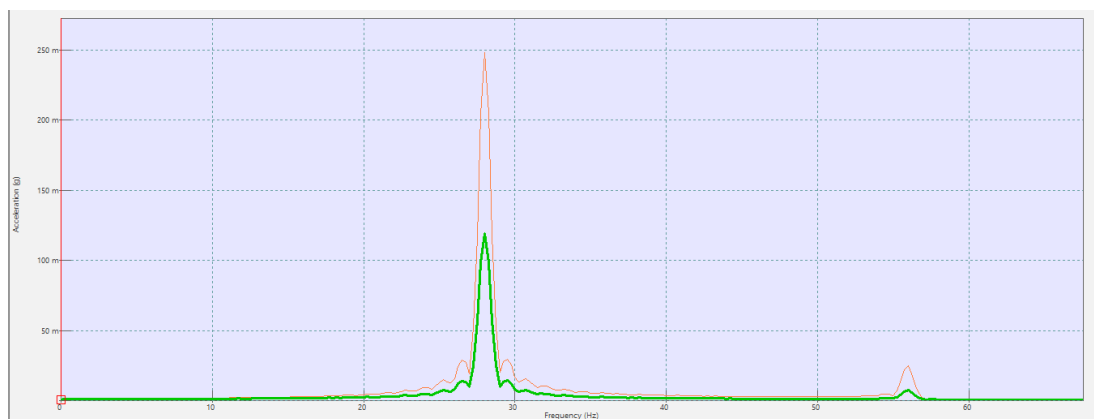


Figura 168

Coherencia del ensayo de transmisibilidad a 28Hz

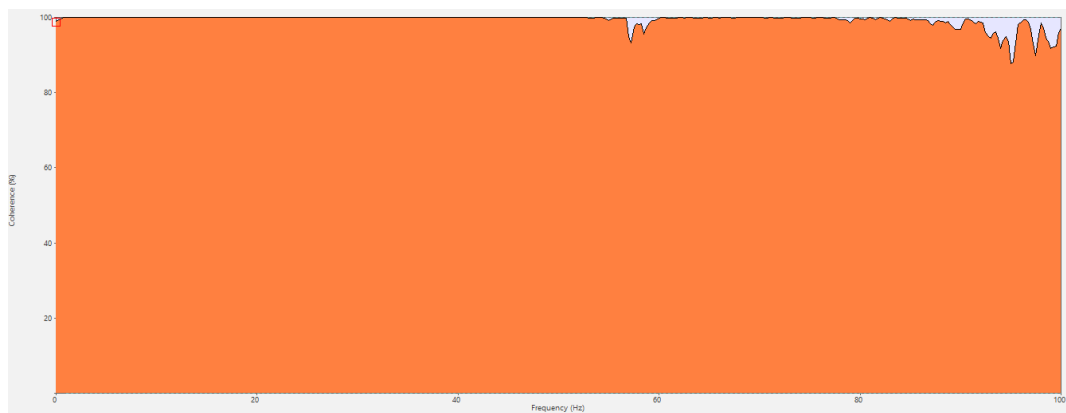


Figura 169

Aceleración de entrada vs salida a 29Hz

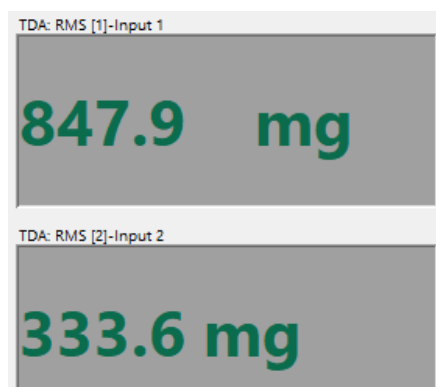


Figura 170

Análisis armónico a 29Hz

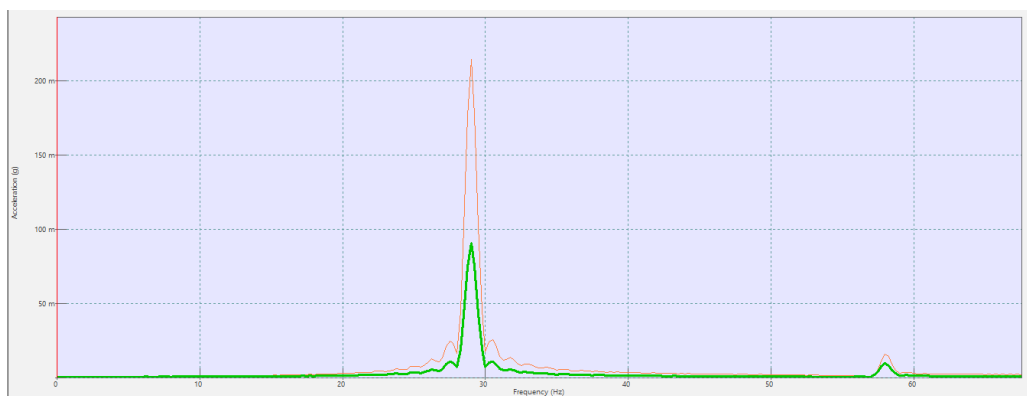


Figura 171

Coherencia del ensayo de transmisibilidad a 29Hz

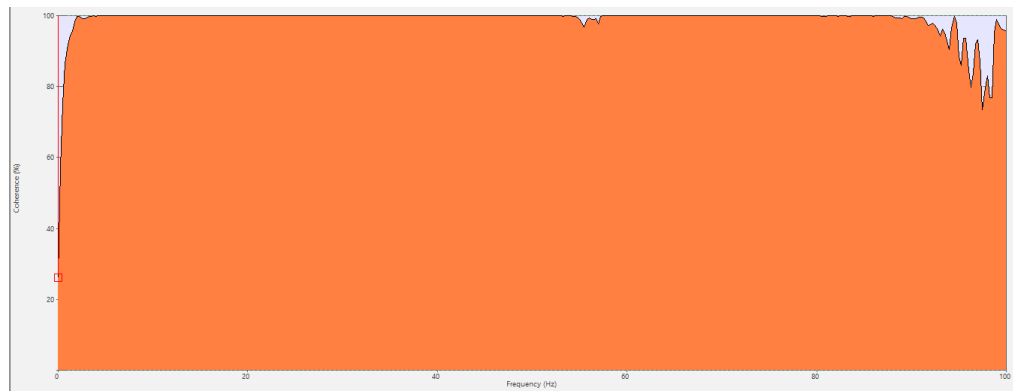


Figura 172

Aceleración de entrada vs salida a 30Hz

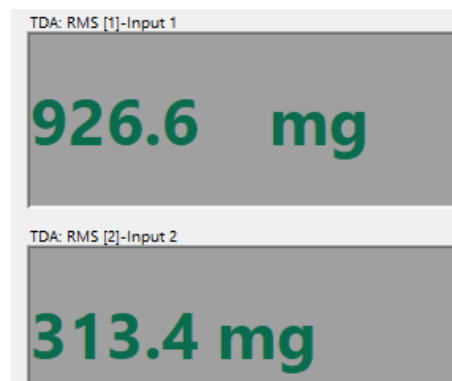


Figura 173

Análisis armónico a 30Hz

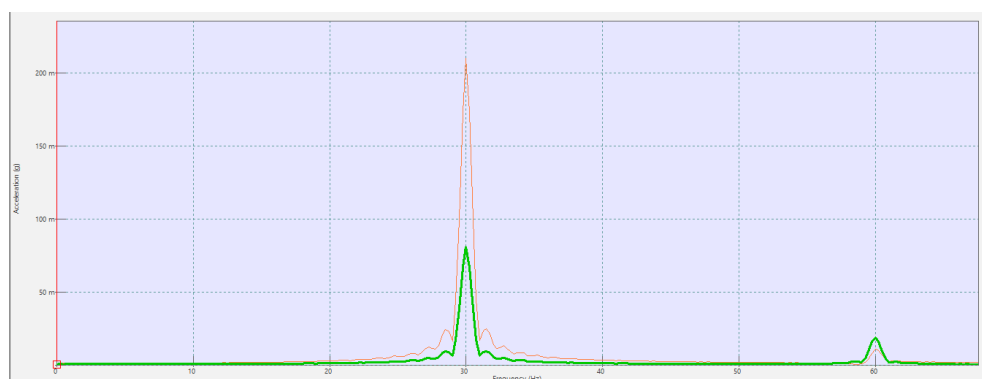


Figura 174

Coherencia del ensayo de transmisibilidad a 30Hz

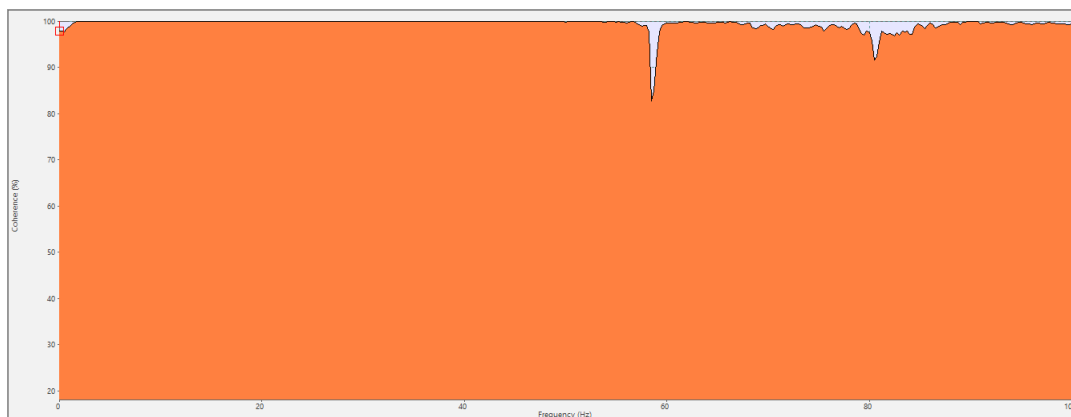


Figura 175

Aceleración de entrada vs salida a 31Hz

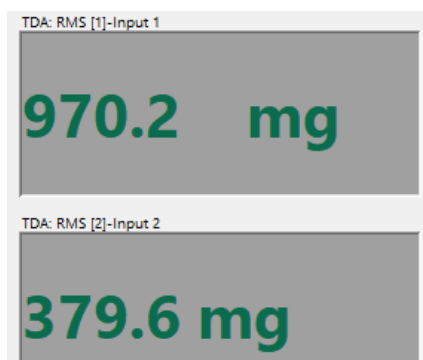


Figura 176

Análisis armónico a 31Hz

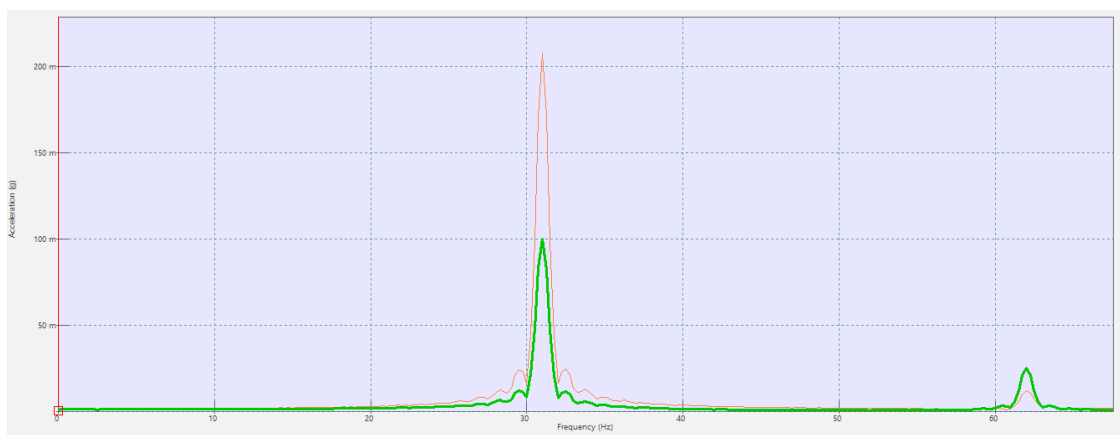


Figura 177

Coherencia del ensayo de transmisibilidad a 31Hz

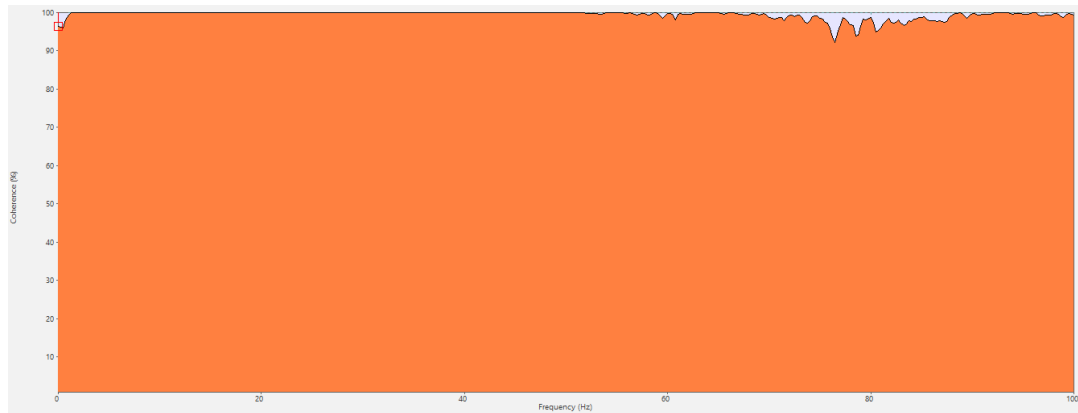


Figura 178

Aceleración de entrada vs salida a 32Hz

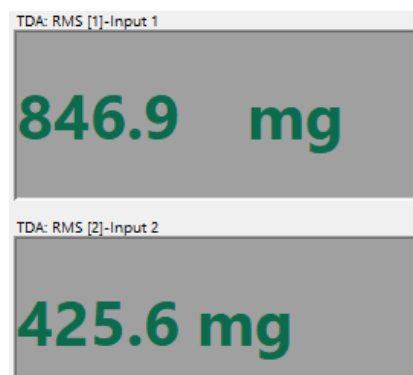


Figura 179

Análisis armónico a 32Hz

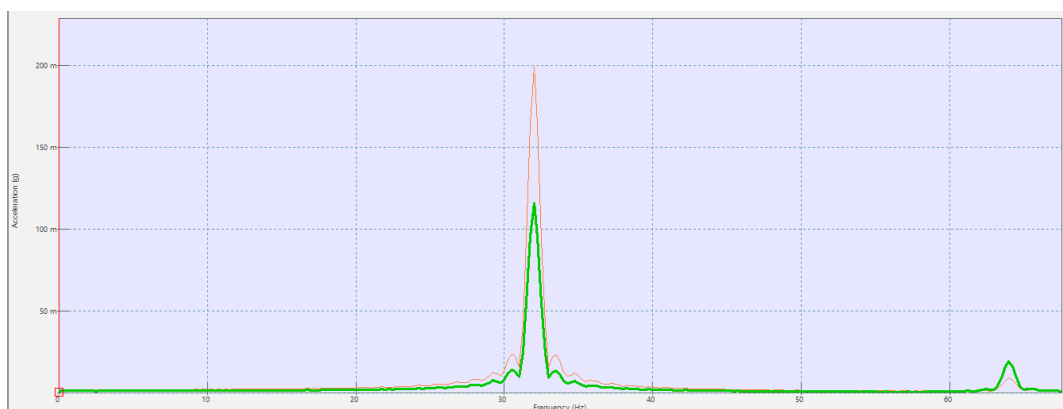


Figura 180

Coherencia del ensayo de transmisibilidad a 32Hz

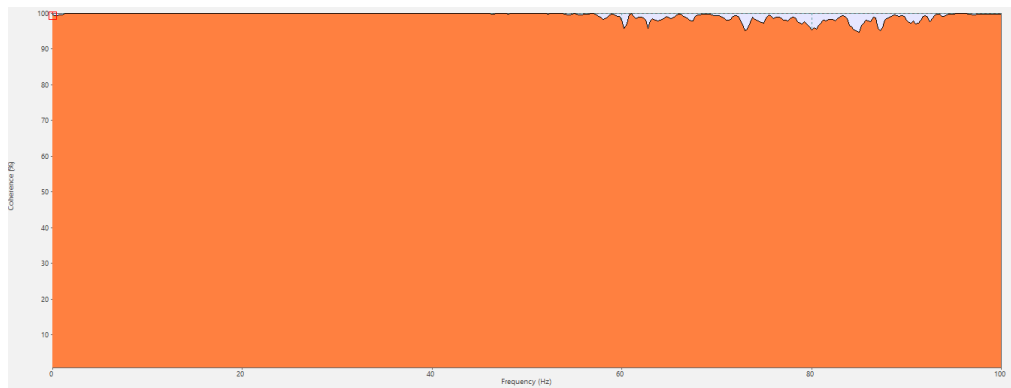


Figura 181

Aceleración de entrada vs salida a 33Hz

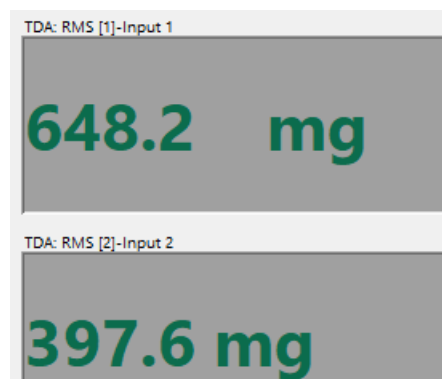


Figura 182

Análisis armónico a 33Hz

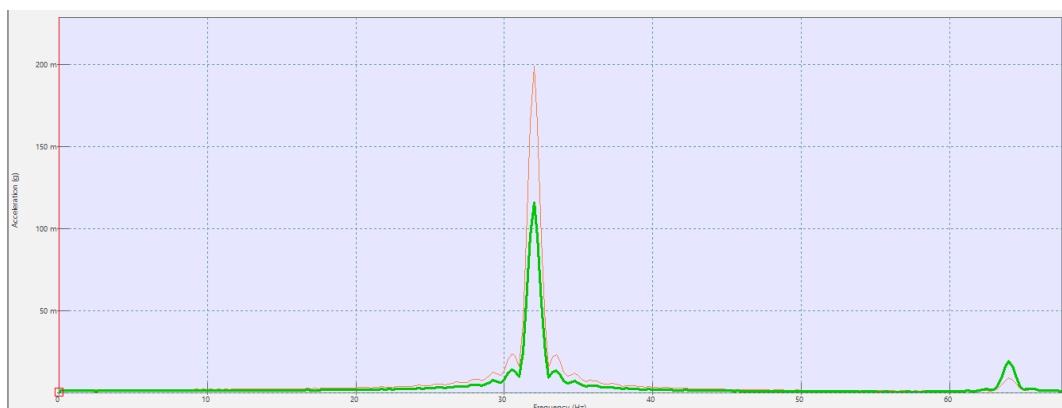


Figura 183

Coherencia del ensayo de transmisibilidad a 33Hz

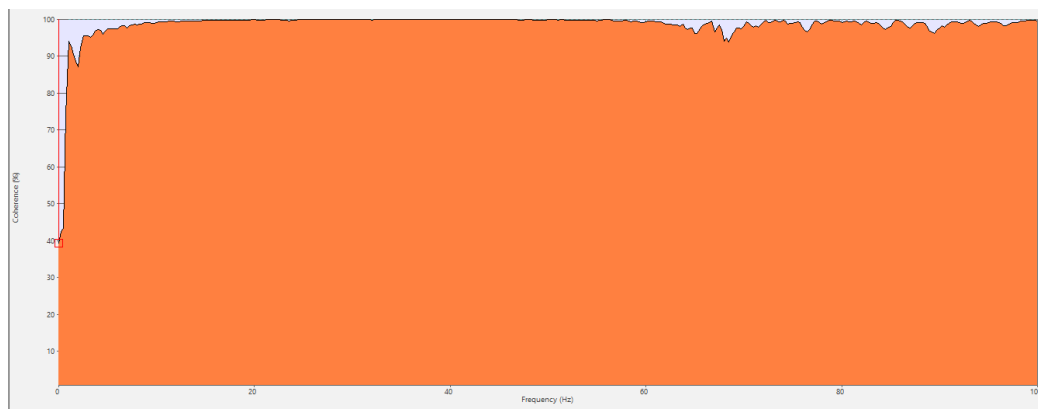


Figura 184

Aceleración de entrada vs salida a 34Hz

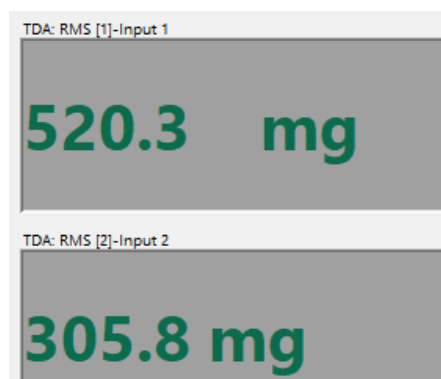


Figura 185

Análisis armónico a 34Hz

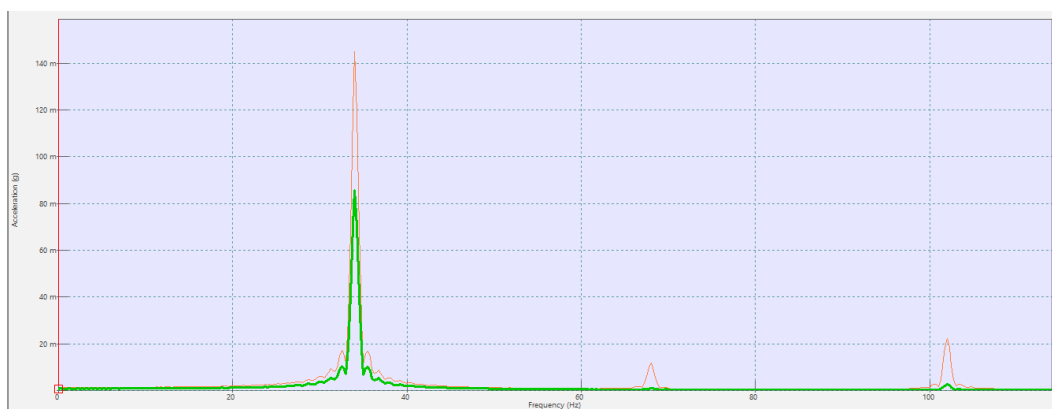


Figura 186

Coherencia del ensayo de transmisibilidad a 34Hz

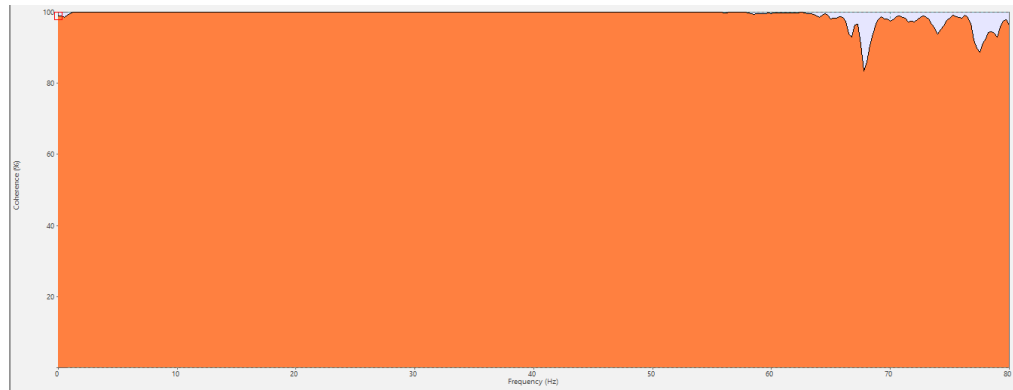


Figura 187

Aceleración de entrada vs salida a 35Hz

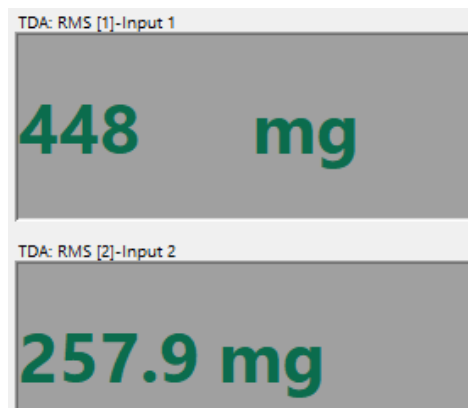


Figura 188

Análisis armónico a 35Hz

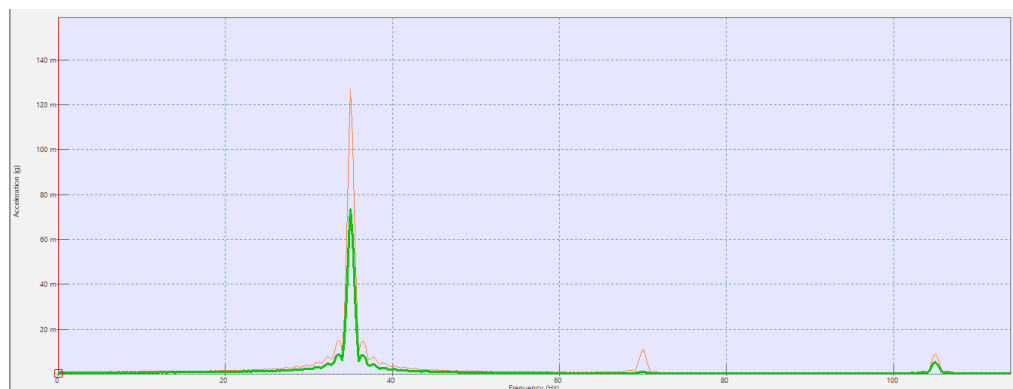


Figura 189

Coherencia del ensayo de transmisibilidad a 35Hz

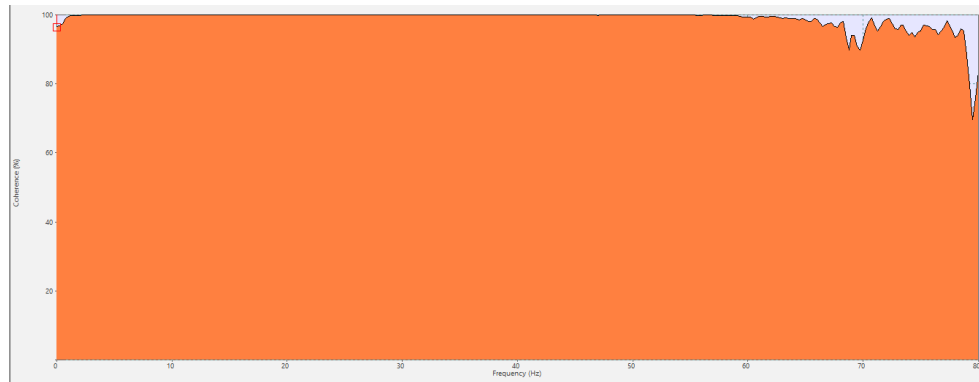


Figura 190

Aceleración de entrada vs salida a 36Hz

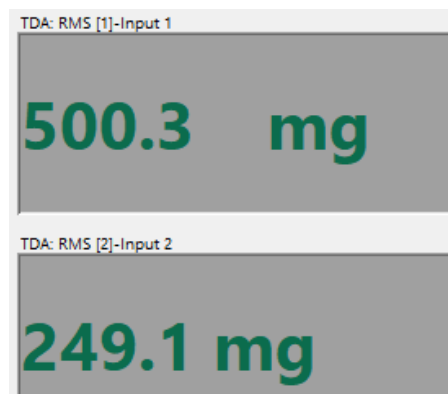


Figura 191

Análisis armónico a 36Hz

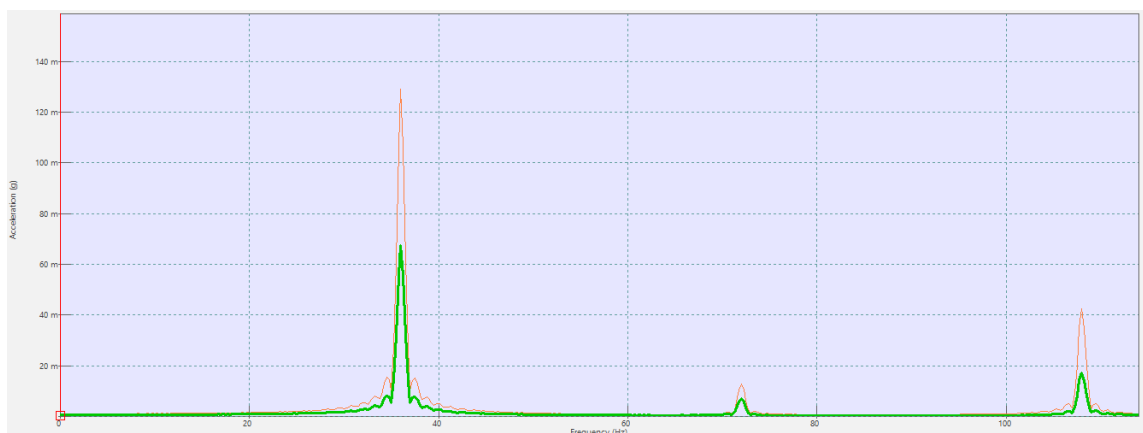


Figura 192

Coherencia del ensayo de transmisibilidad a 36Hz

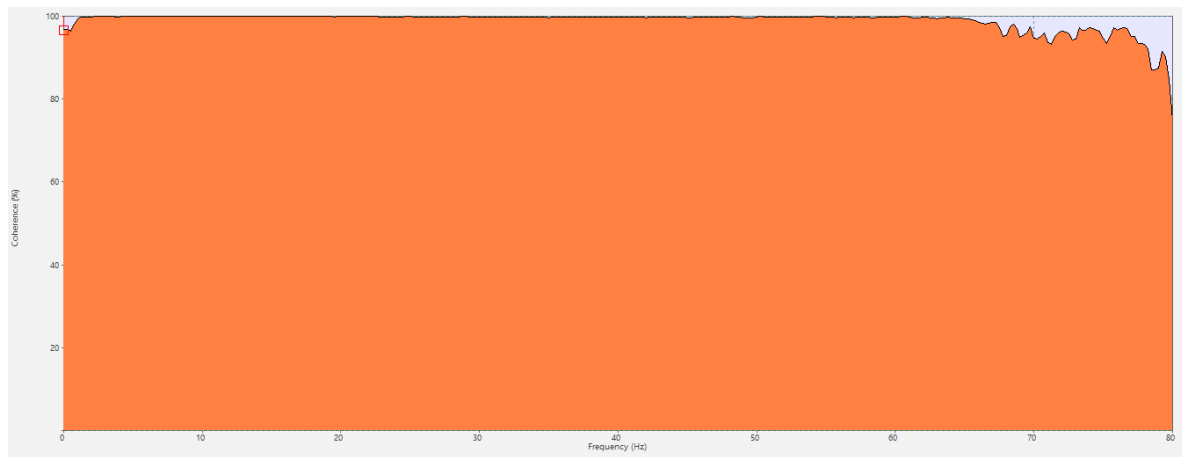


Figura 193

Aceleración de entrada vs salida a 38Hz

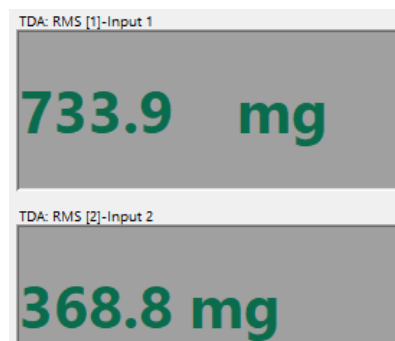


Figura 194

Análisis armónico a 38Hz

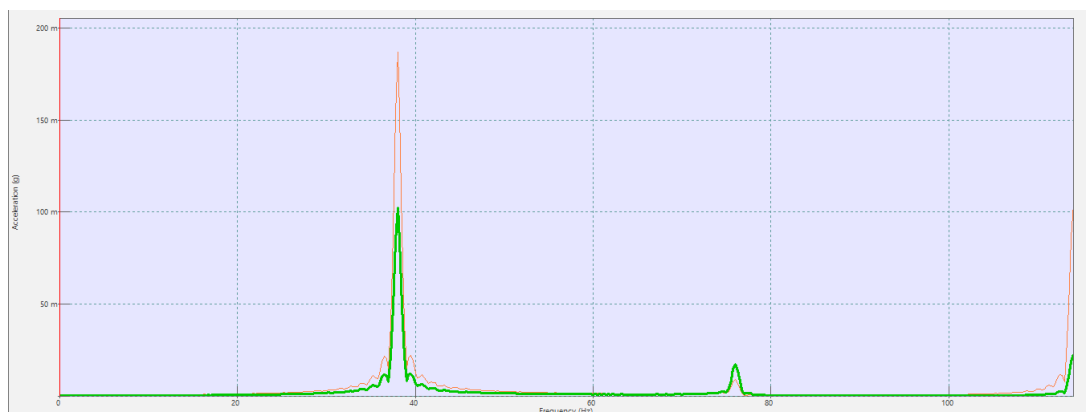


Figura 195

Coherencia del ensayo de transmisibilidad a 38Hz

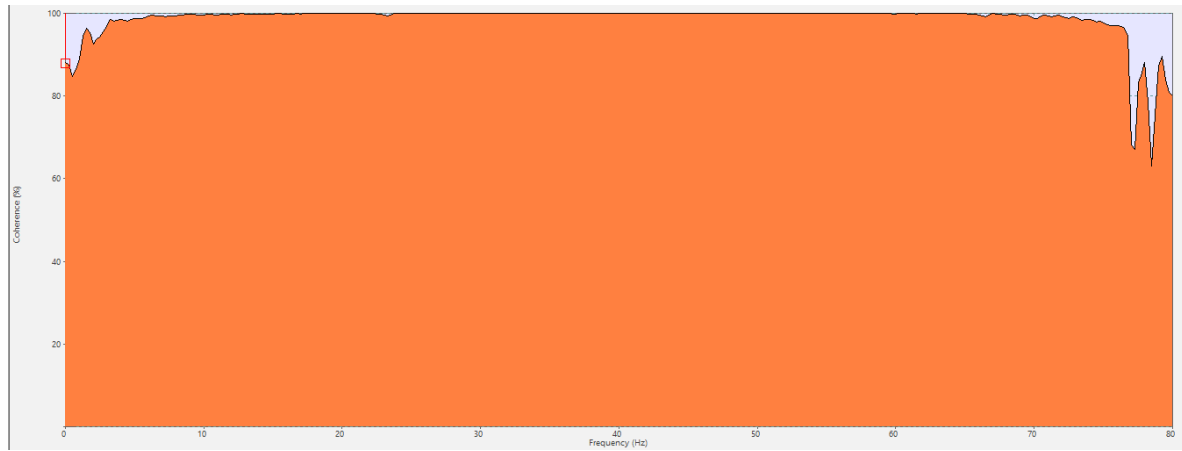


Figura 196

Aceleración de entrada vs salida a 40Hz

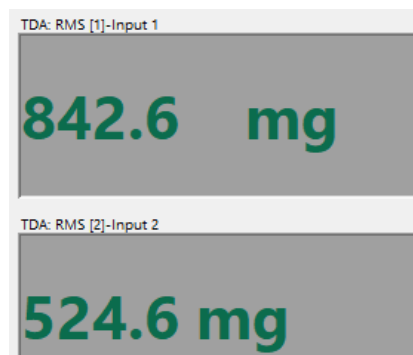


Figura 197

Análisis armónico a 40Hz

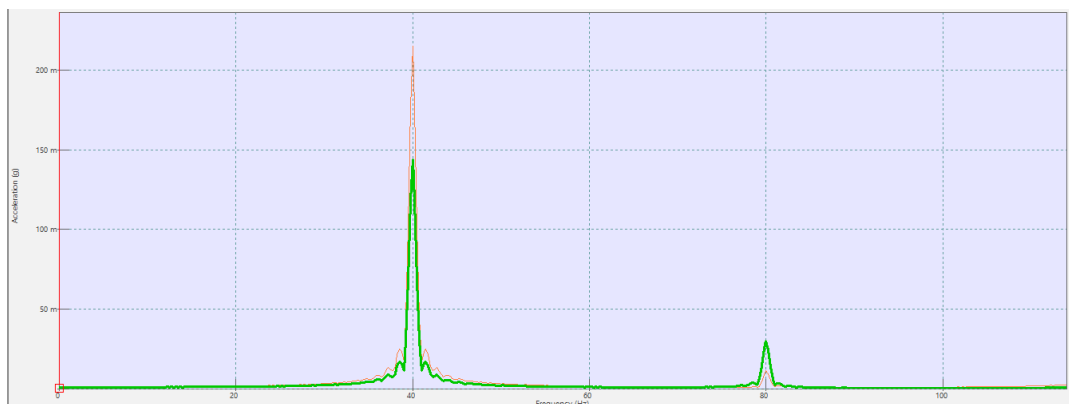
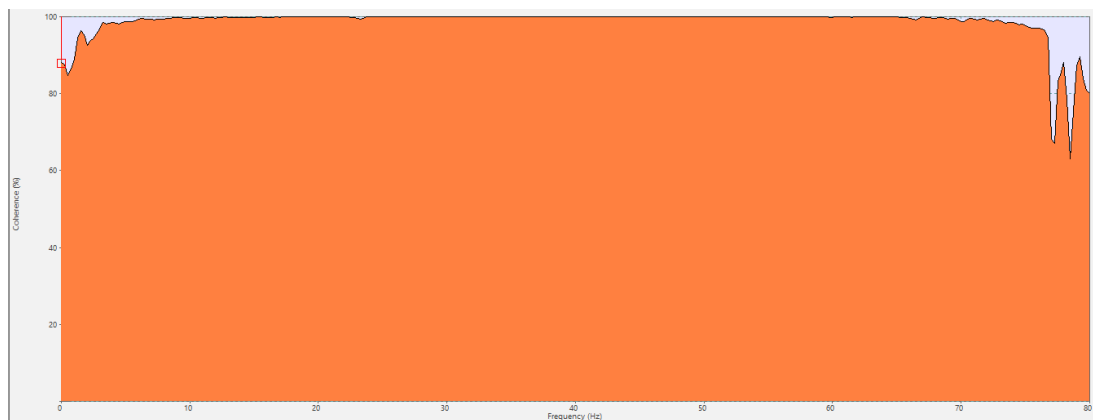


Figura 198

Coherencia del ensayo de transmisibilidad a 40Hz



Estructura octagonal con resonadores

Figura 199

Aceleración de entrada vs salida a 10Hz

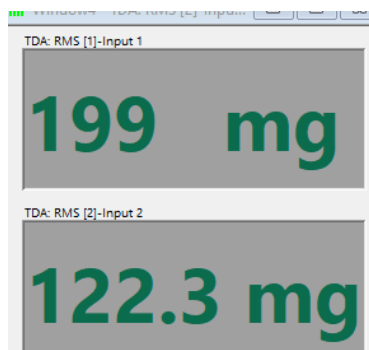


Figura 200

Análisis armónico a 10Hz

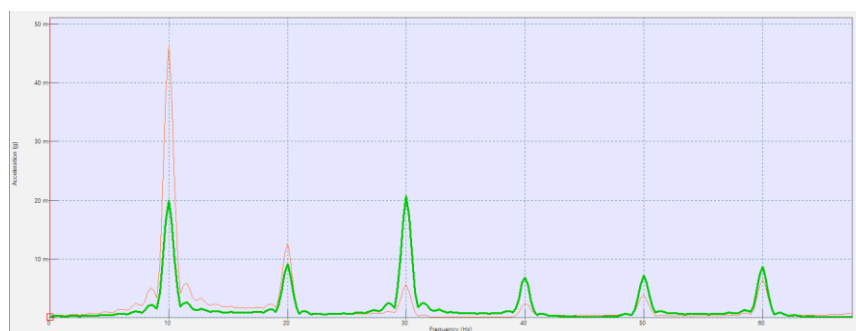


Figura 201

Coherencia del ensayo de transmisibilidad a 10Hz

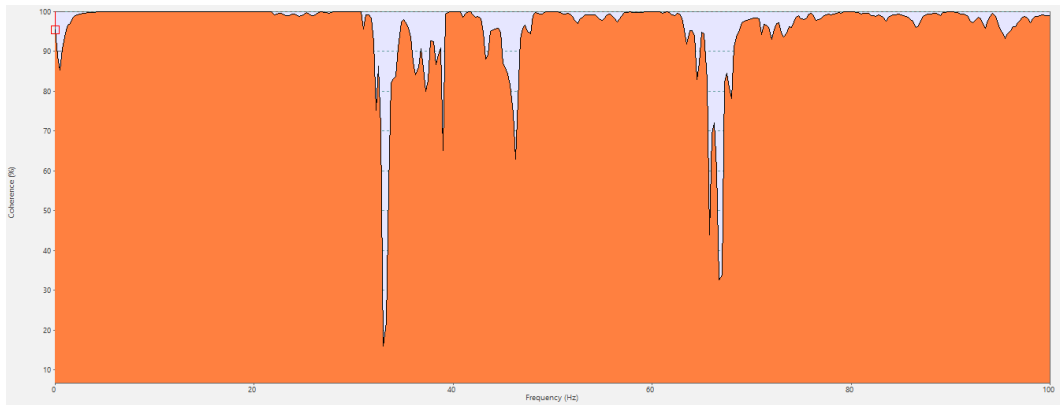


Figura 202

Aceleración de entrada vs salida a 12Hz

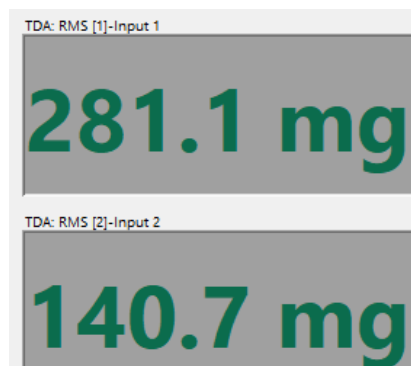


Figura 203

Análisis armónico a 12Hz

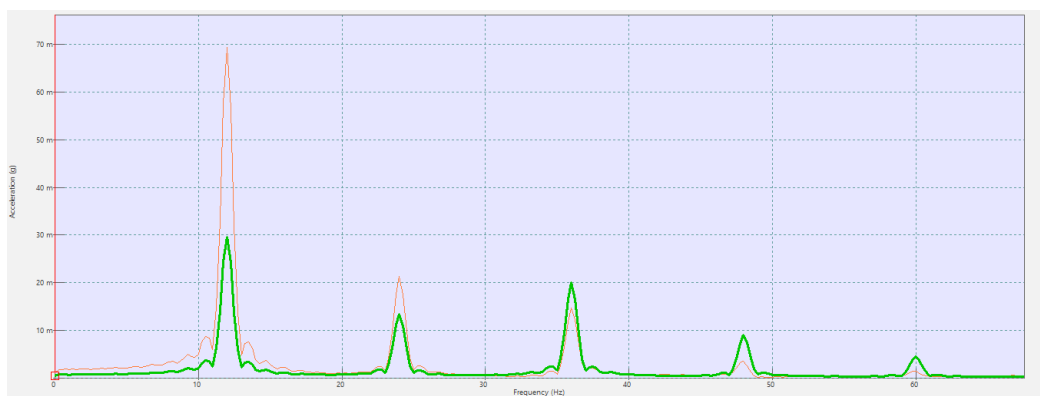


Figura 204

Coherencia del ensayo de transmisibilidad a 12Hz

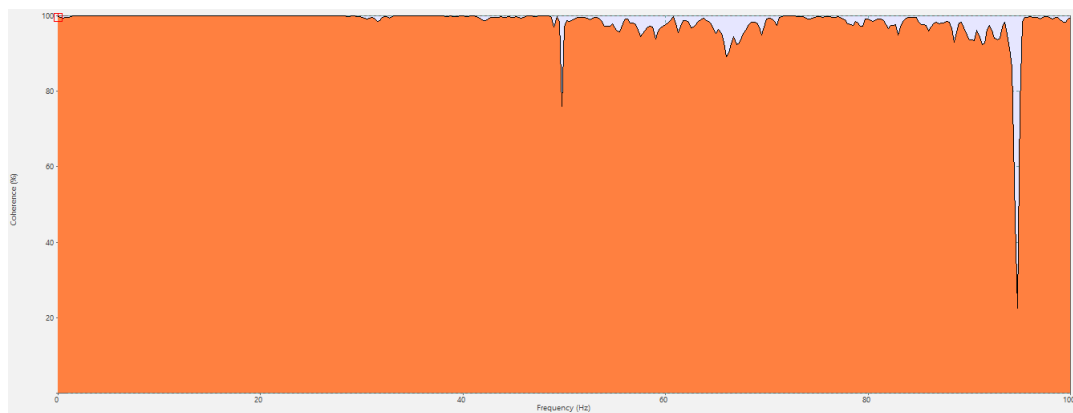


Figura 205

Aceleración de entrada vs salida a 14Hz

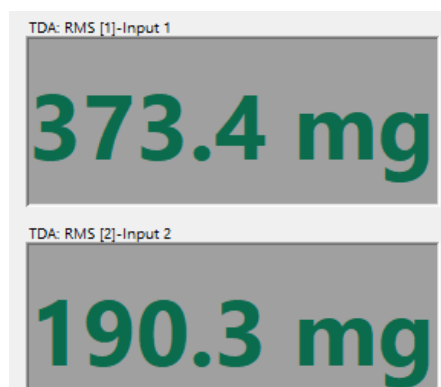


Figura 206

Análisis armónico a 14Hz

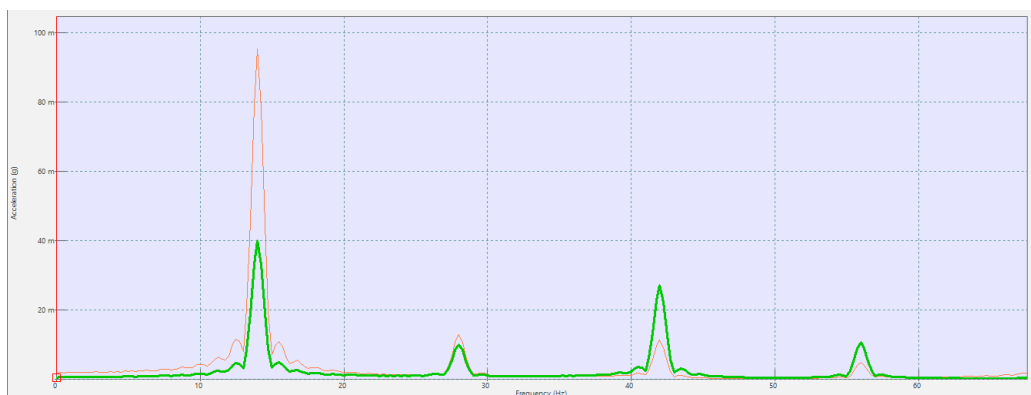


Figura 207

Coherencia del ensayo de transmisibilidad a 14Hz

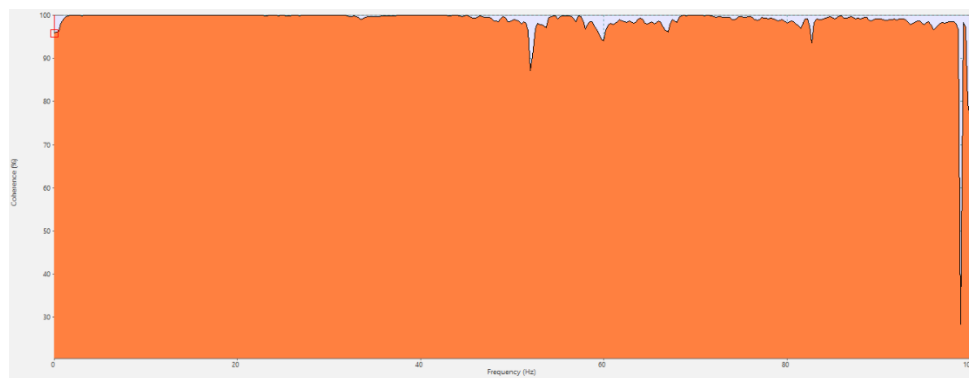


Figura 208

Aceleración de entrada vs salida a 16Hz

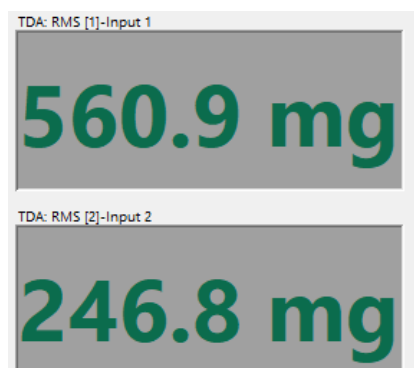


Figura 209

Análisis armónico a 16Hz

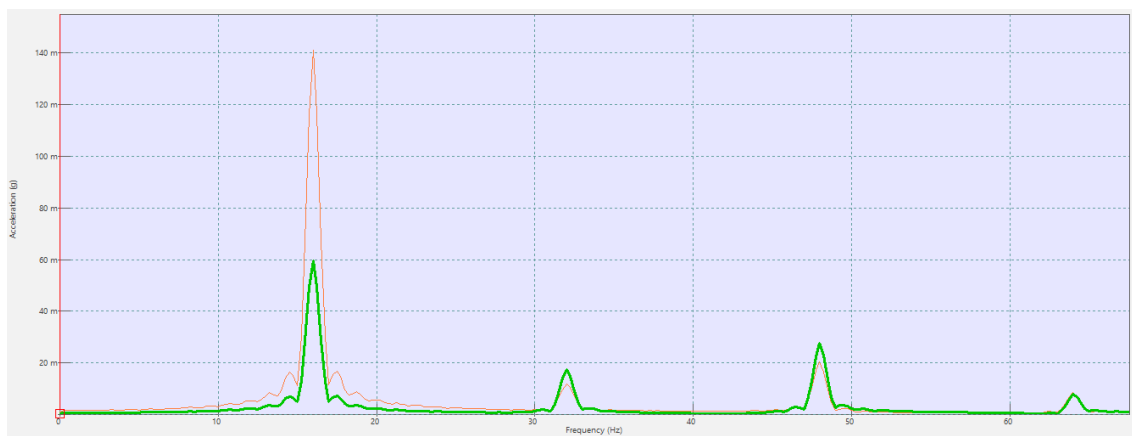


Figura 210

Coherencia del ensayo de transmisibilidad a 16Hz

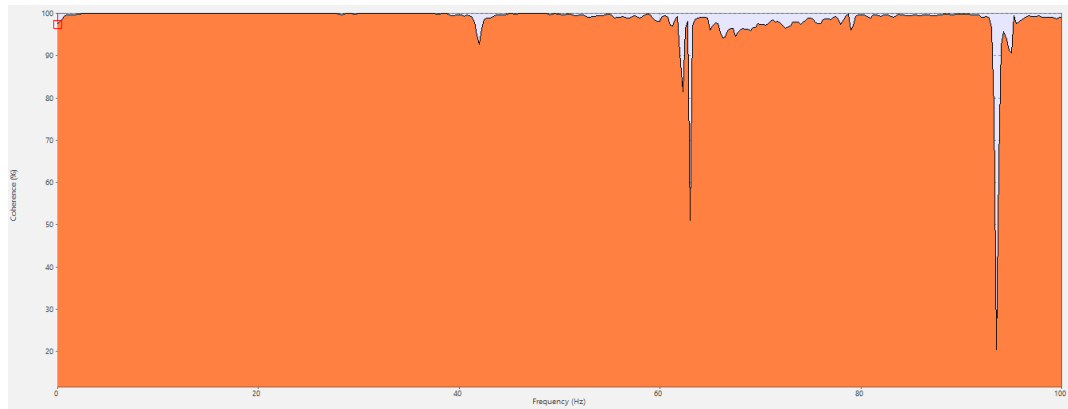


Figura 211

Aceleración de entrada vs salida a 18Hz

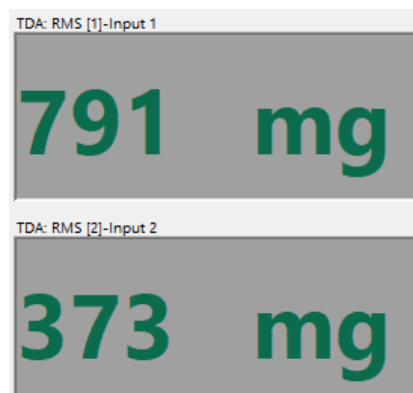


Figura 212

Análisis armónico a 18Hz

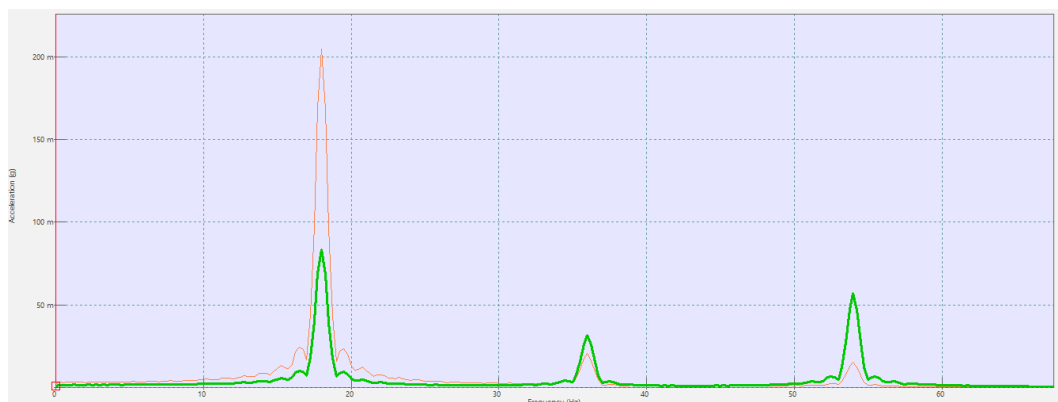


Figura 213

Coherencia del ensayo de transmisibilidad a 18Hz

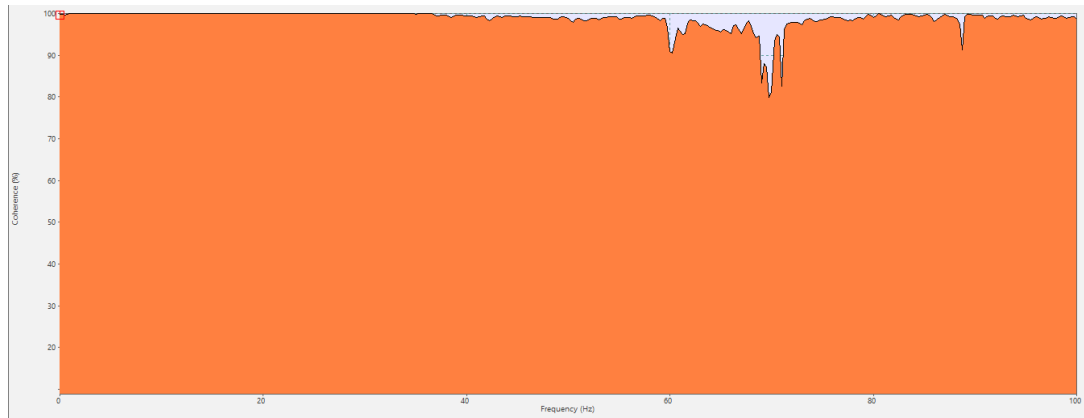


Figura 214

Aceleración de entrada vs salida a 20Hz

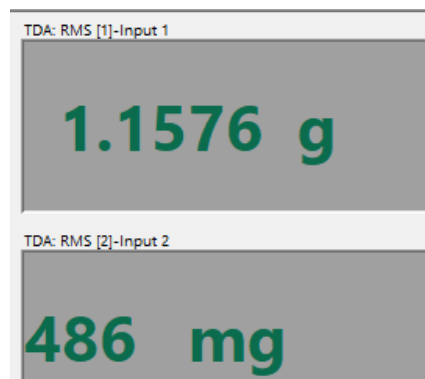


Figura 215

Análisis armónico a 20Hz

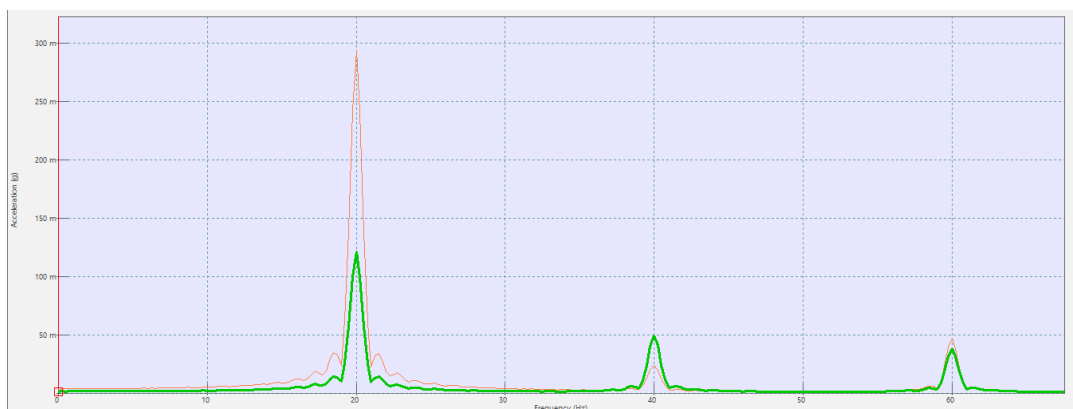


Figura 216

Coherencia del ensayo de transmisibilidad a 20Hz

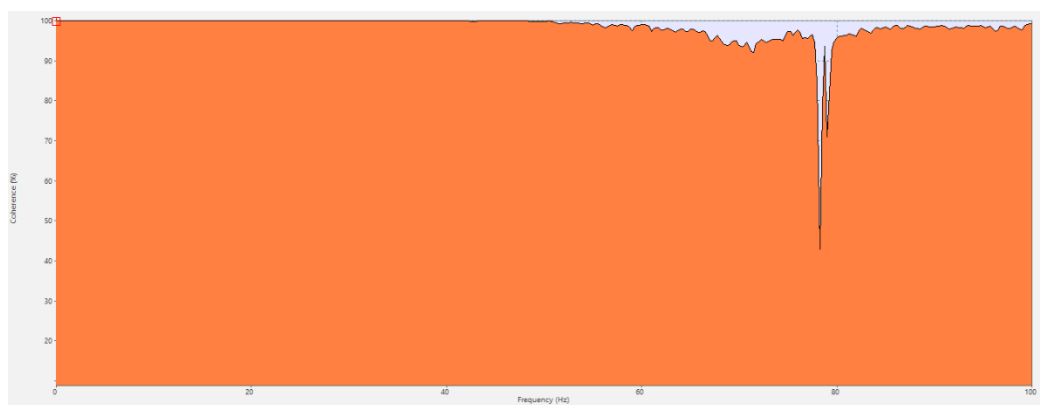


Figura 217

Aceleración de entrada vs salida a 22Hz

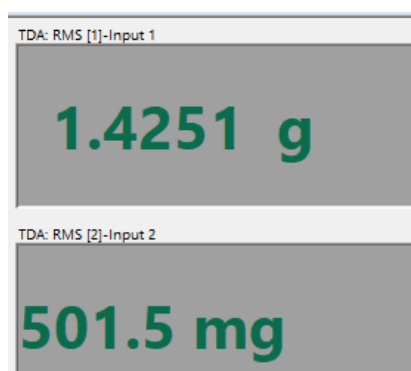


Figura 218

Análisis armónico a 22Hz

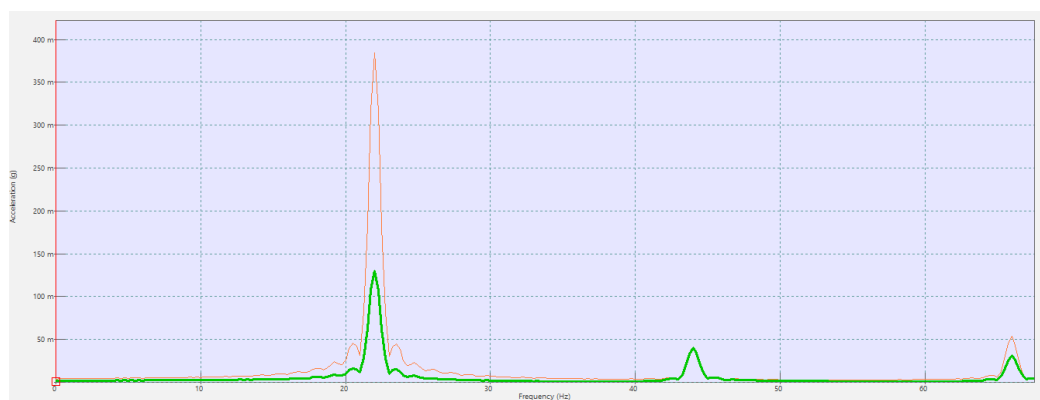


Figura 219

Coherencia del ensayo de transmisibilidad a 22Hz

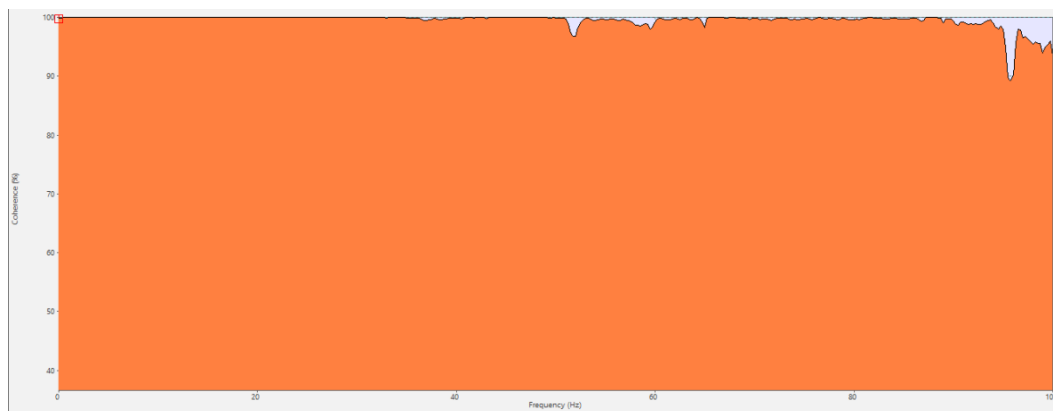


Figura 220

Aceleración de entrada vs salida a 24Hz

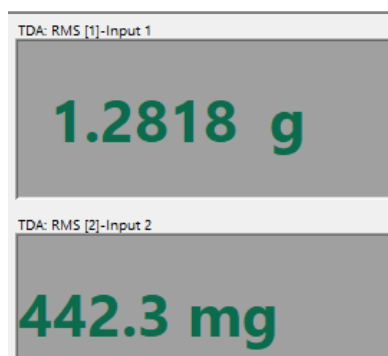


Figura 221

Análisis armónico a 24Hz

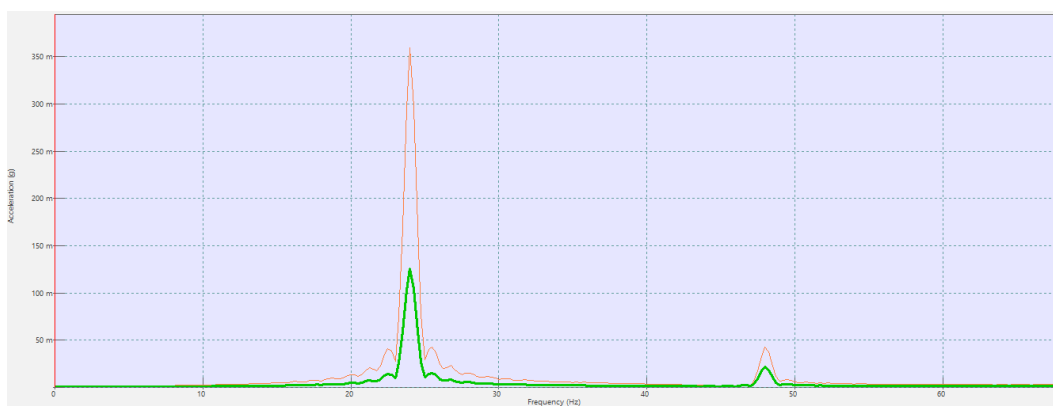


Figura 222

Coherencia del ensayo de transmisibilidad a 24Hz

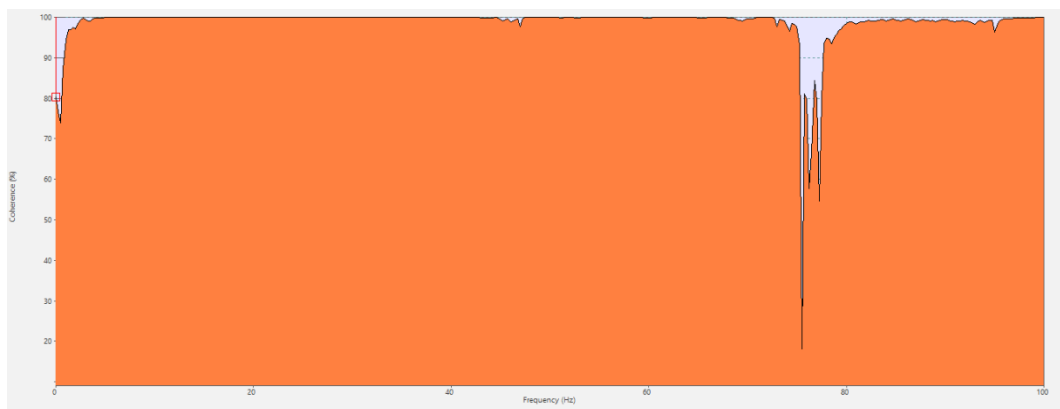


Figura 223

Aceleración de entrada vs salida a 25Hz

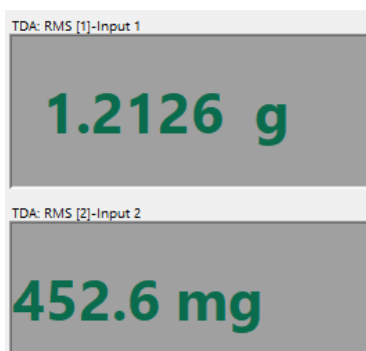


Figura 224

Análisis armónico a 25Hz

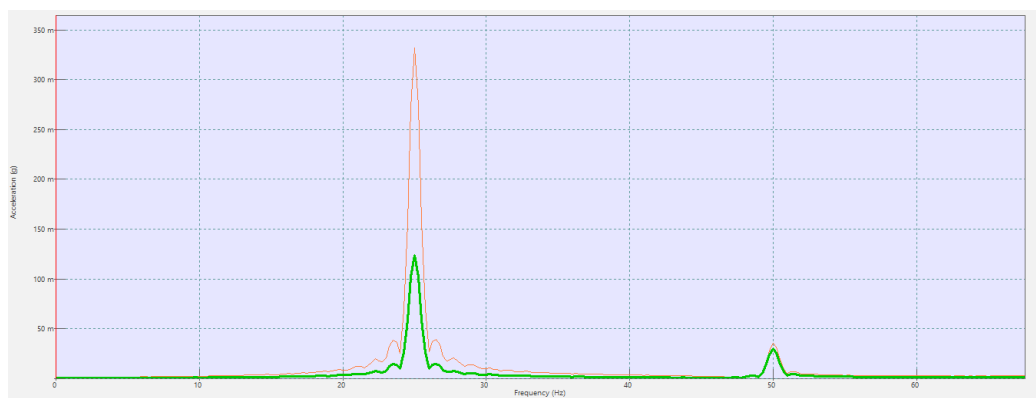


Figura 225

Coherencia del ensayo de transmisibilidad a 25Hz

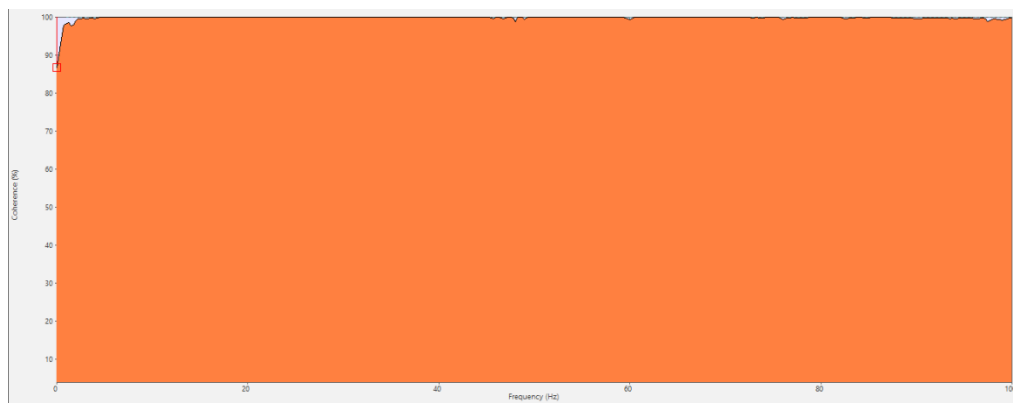


Figura 226

Aceleración de entrada vs salida a 26Hz

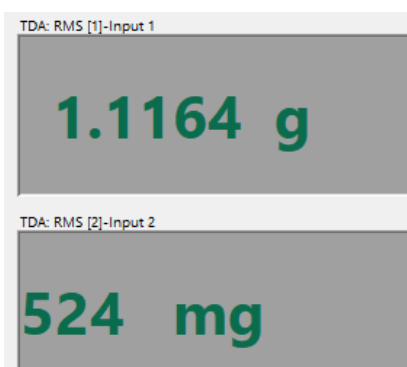


Figura 227

Análisis armónico a 26Hz

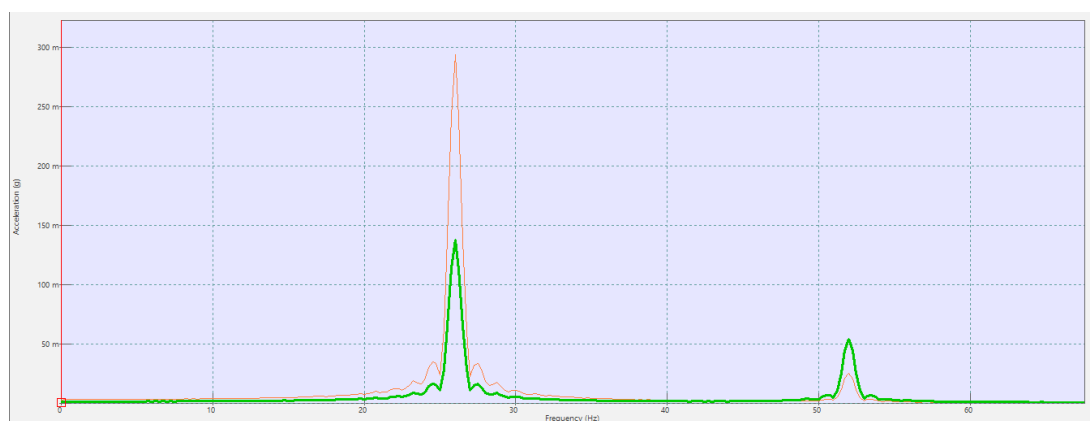


Figura 228

Coherencia del ensayo de transmisibilidad a 26Hz

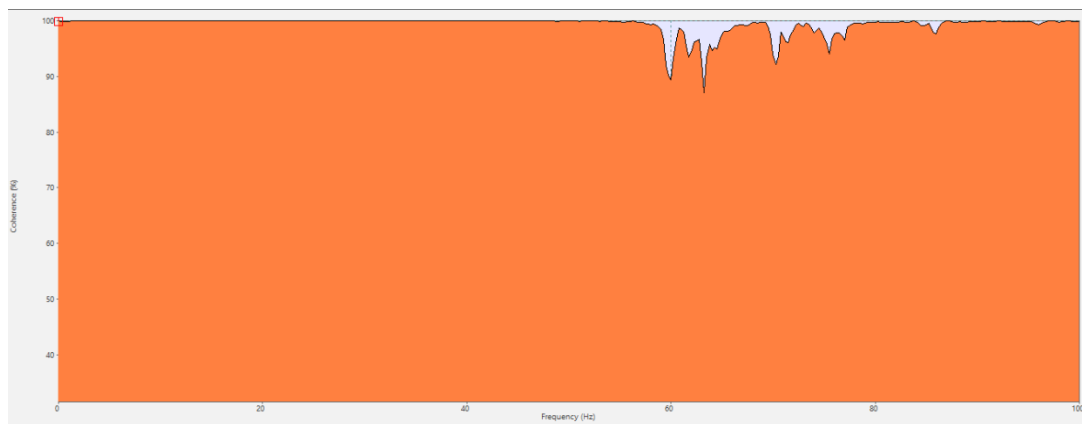


Figura 229

Aceleración de entrada vs salida a 27Hz

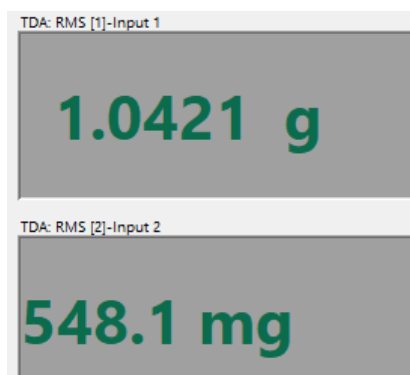


Figura 230

Análisis armónico a 27Hz

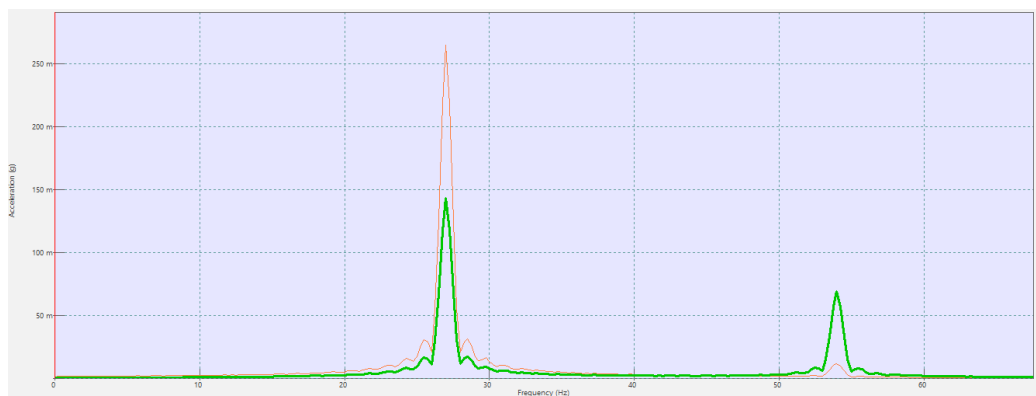


Figura 231

Coherencia del ensayo de transmisibilidad a 27Hz

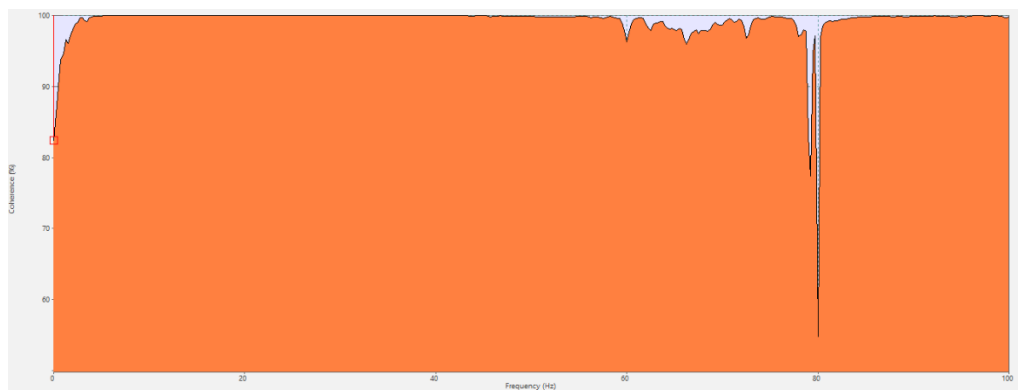


Figura 232

Aceleración de entrada vs salida a 28Hz

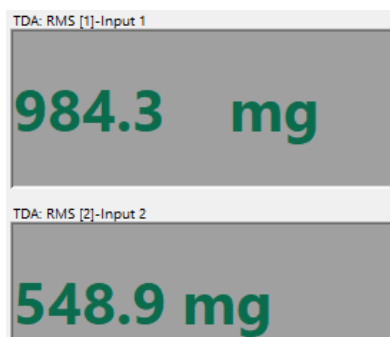


Figura 233

Análisis armónico a 28Hz

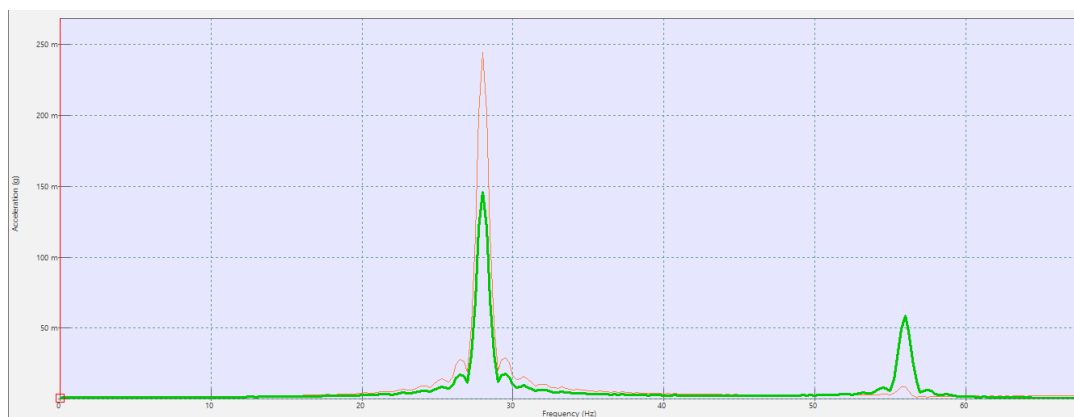


Figura 234

Coherencia del ensayo de transmisibilidad a 28Hz

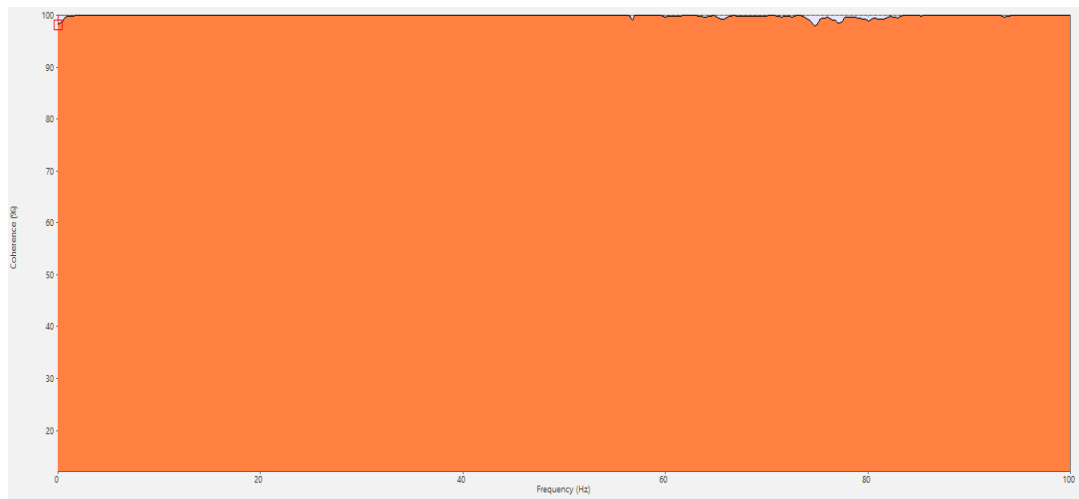


Figura 235

Aceleración de entrada vs salida a 29Hz

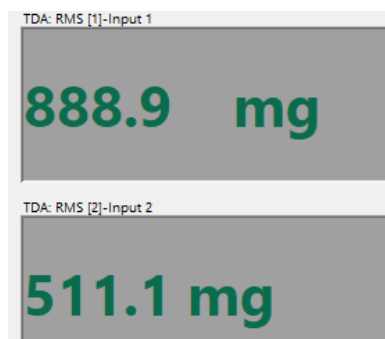


Figura 236

Análisis armónico a 29Hz

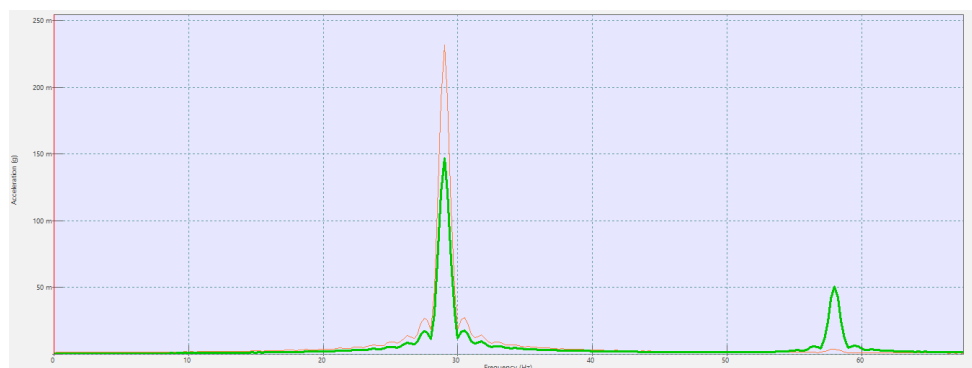


Figura 237

Coherencia del ensayo de transmisibilidad a 29Hz

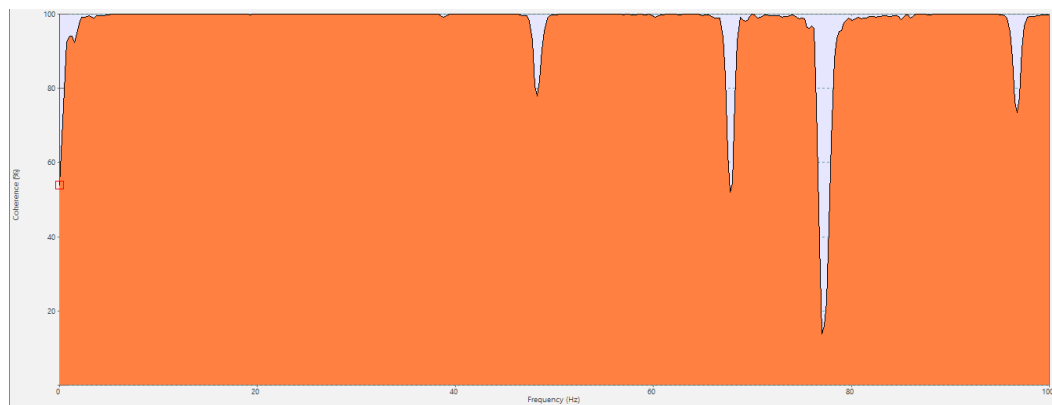


Figura 238

Aceleración de entrada vs salida a 30Hz

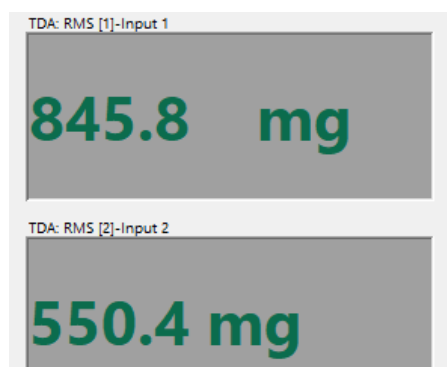


Figura 239

Análisis armónico a 30Hz

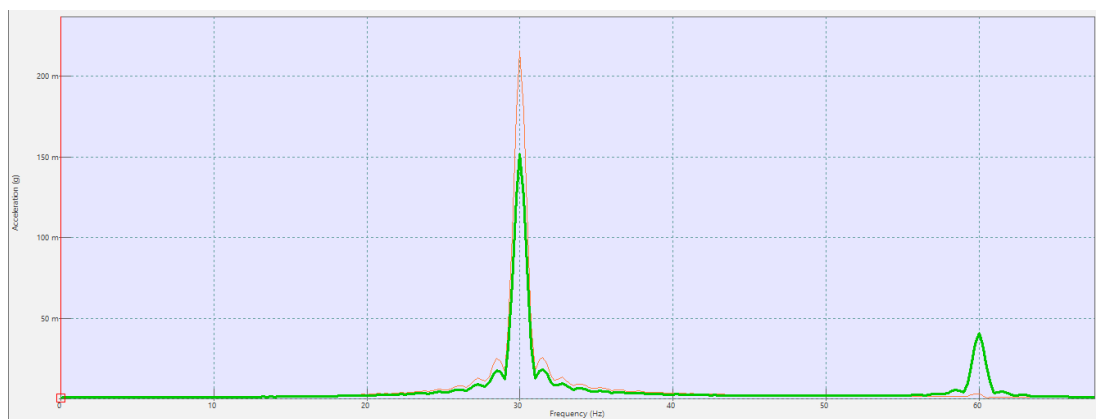


Figura 240

Coherencia del ensayo de transmisibilidad a 30Hz

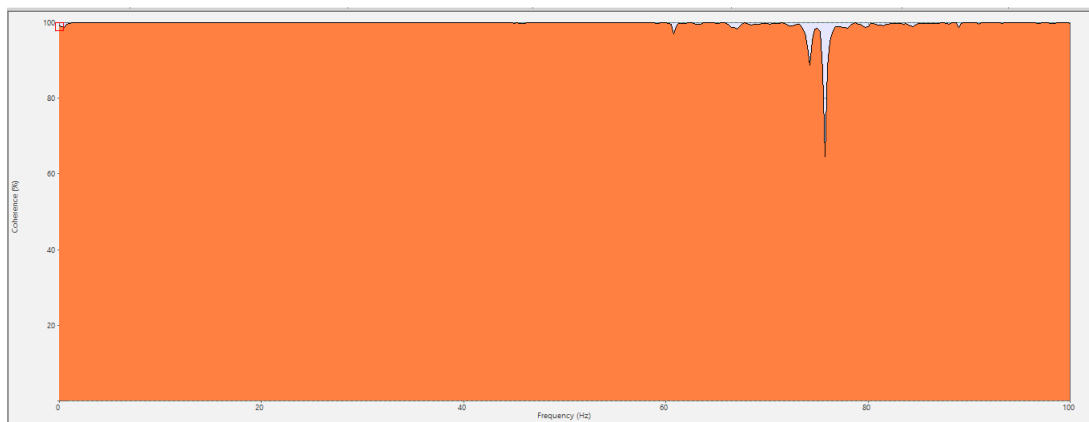


Figura 241

Aceleración de entrada vs salida a 31Hz

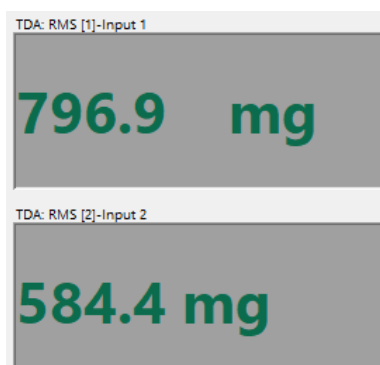


Figura 242

Análisis armónico a 31Hz

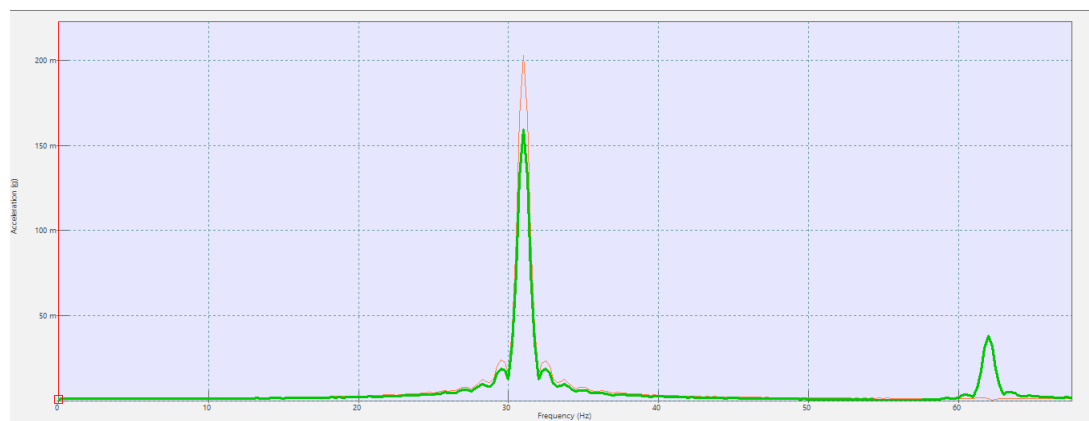


Figura 243

Coherencia del ensayo de transmisibilidad a 31Hz

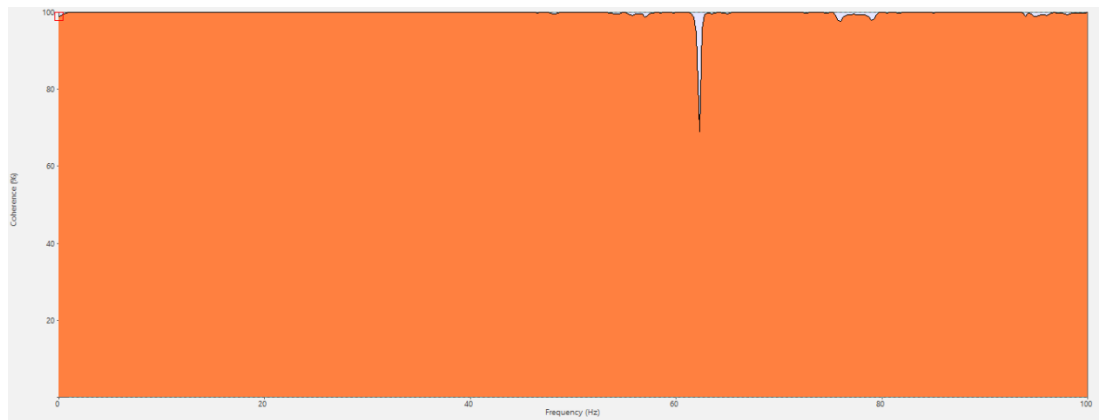


Figura 244

Aceleración de entrada vs salida a 32Hz

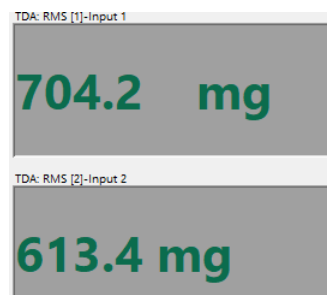


Figura 245

Análisis armónico a 32Hz

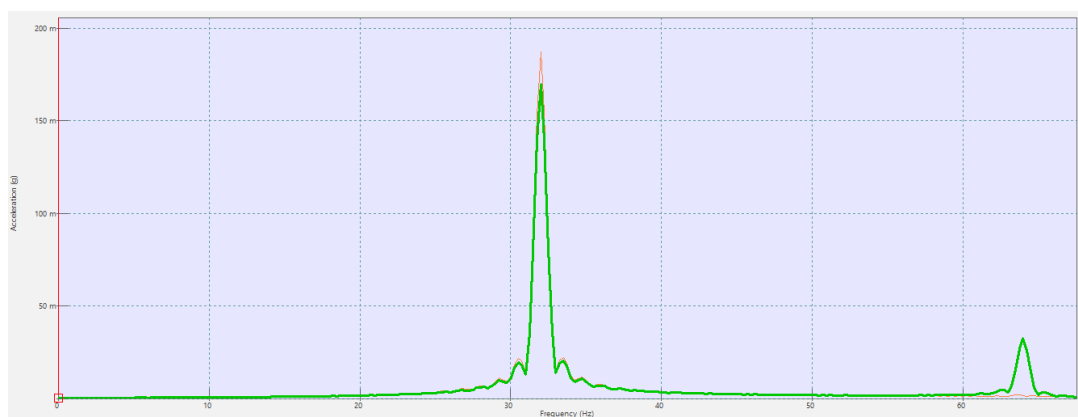


Figura 246

Coherencia del ensayo de transmisibilidad a 32Hz

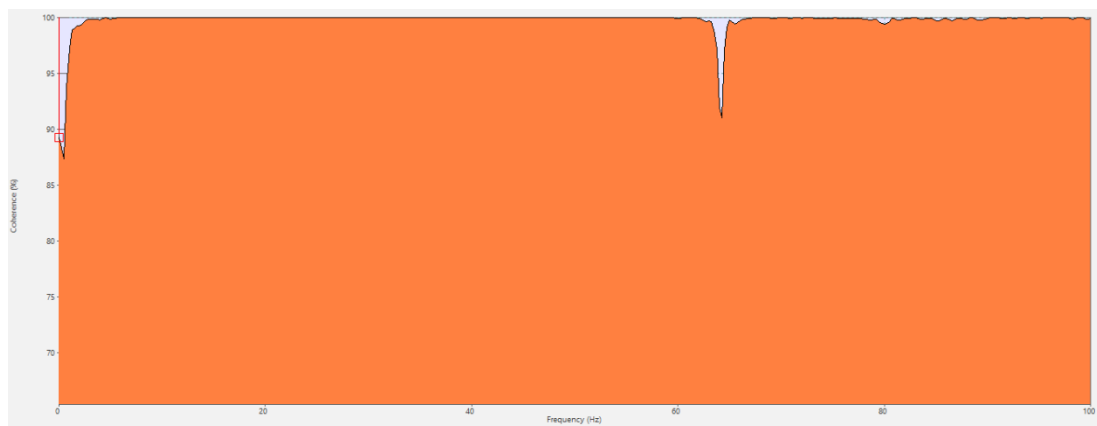


Figura 247

Aceleración de entrada vs salida a 33Hz

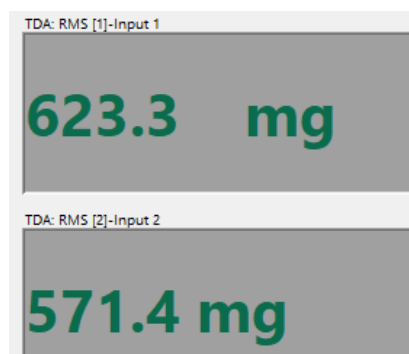


Figura 248

Análisis armónico a 33Hz

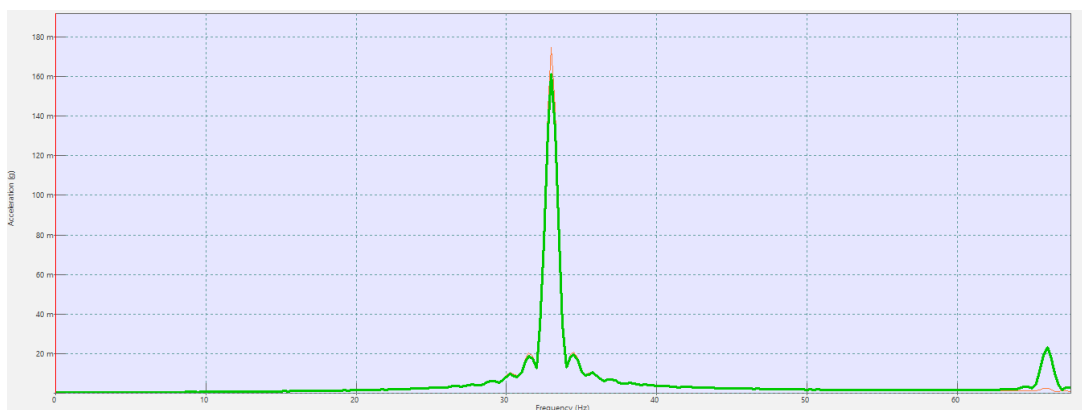


Figura 249

Coherencia del ensayo de transmisibilidad a 33Hz

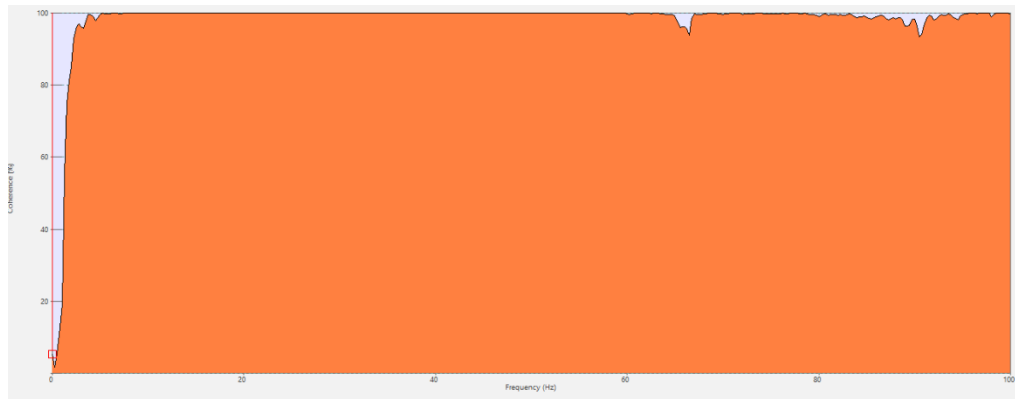


Figura 250

Aceleración de entrada vs salida a 34Hz

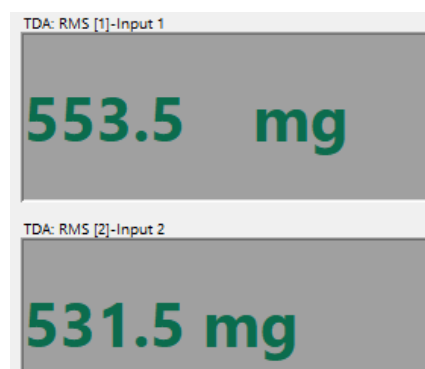


Figura 251

Análisis armónico a 34Hz

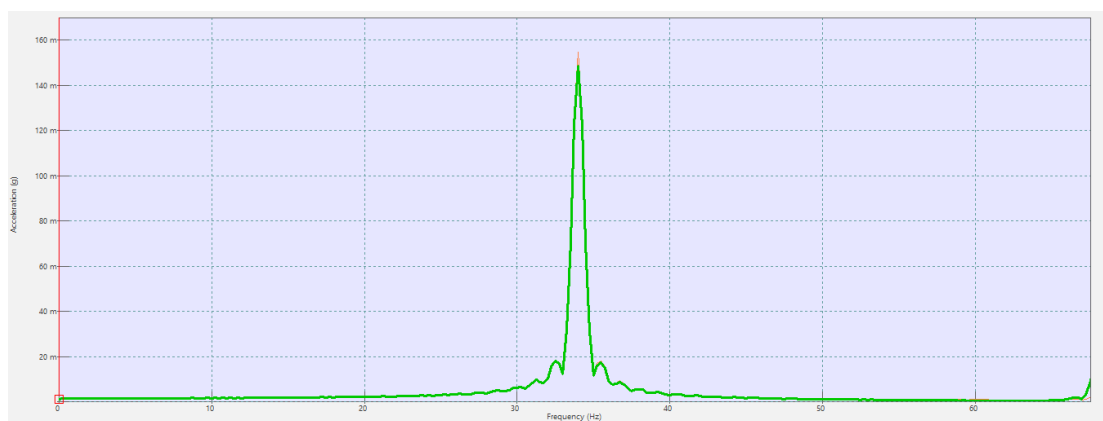


Figura 252

Coherencia del ensayo de transmisibilidad a 34Hz

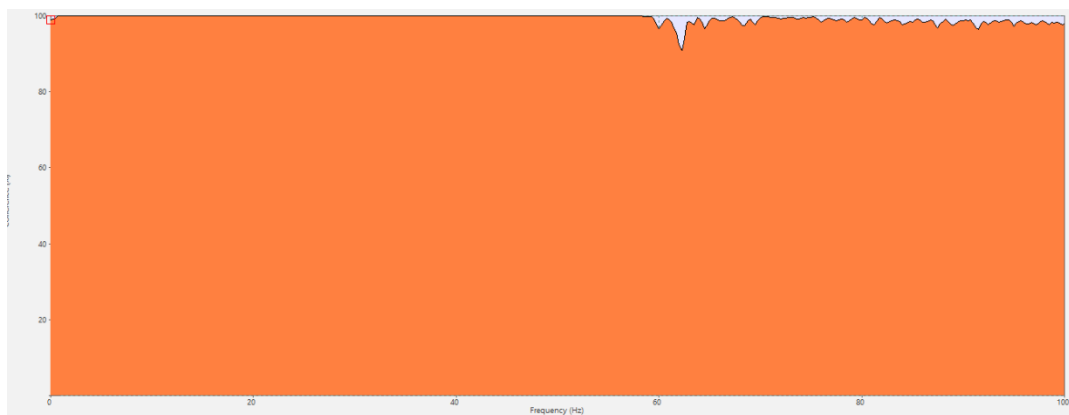


Figura 253

Aceleración de entrada vs salida a 35Hz

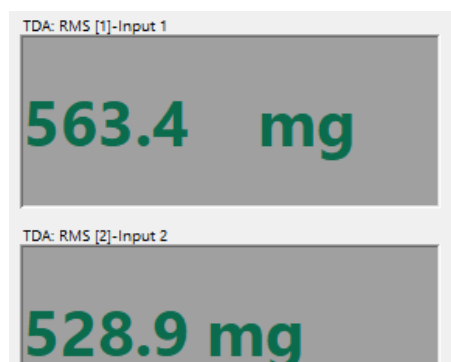


Figura 254

Análisis armónico a 35Hz

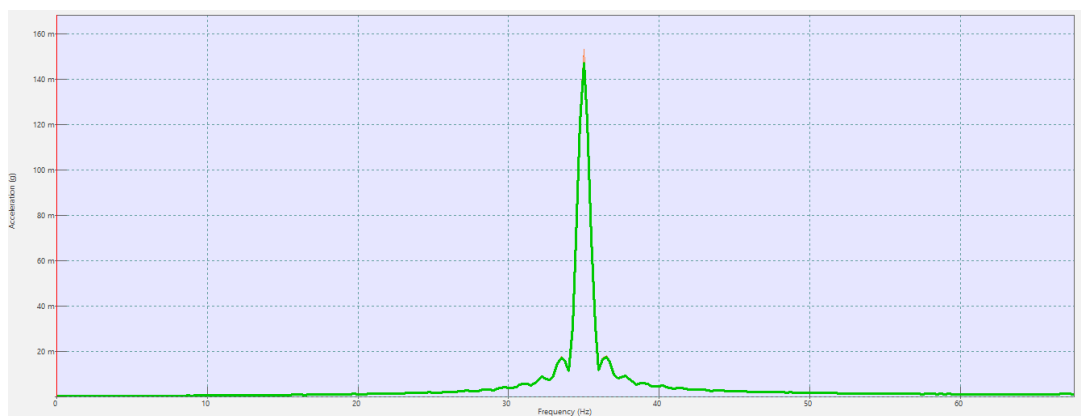


Figura 255

Coherencia del ensayo de transmisibilidad a 35Hz

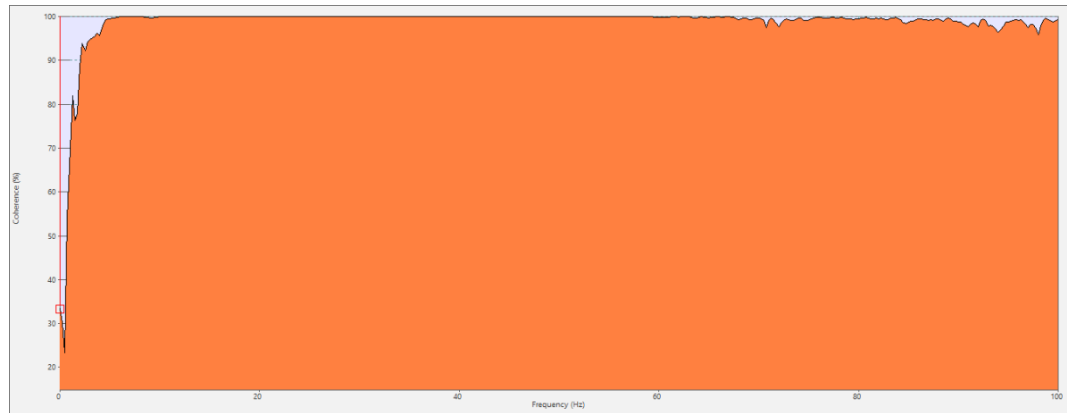


Figura 256

Aceleración de entrada vs salida a 36Hz

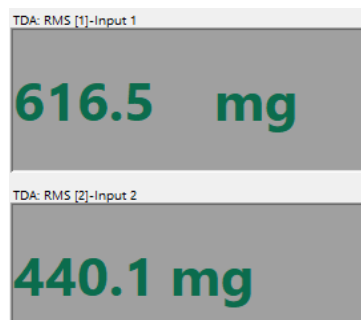


Figura 257

Análisis armónico a 36Hz

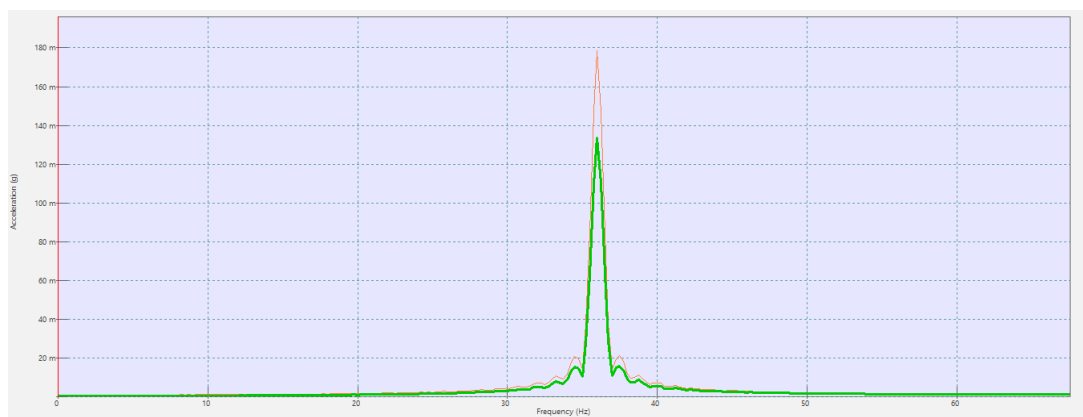


Figura 258

Coherencia del ensayo de transmisibilidad a 36Hz

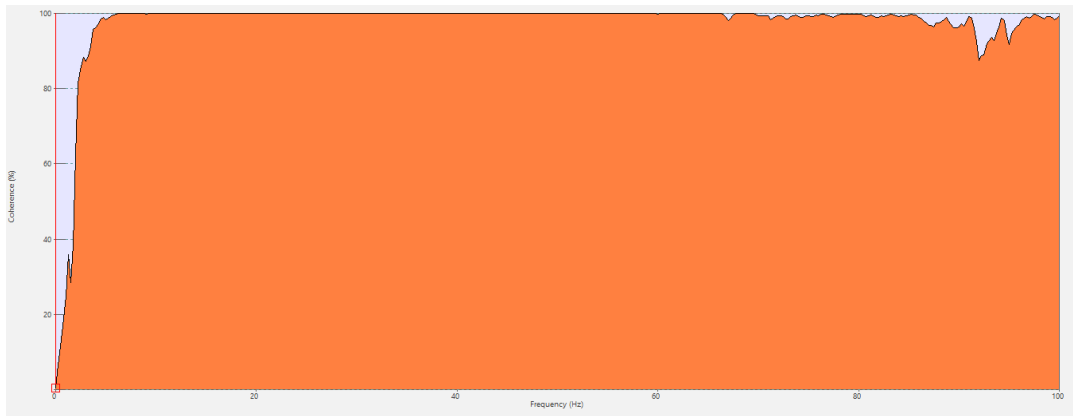


Figura 259

Aceleración de entrada vs salida a 38Hz

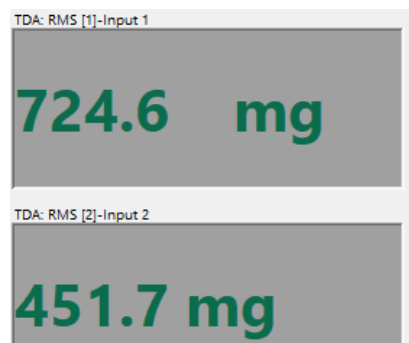


Figura 260

Análisis armónico a 38Hz

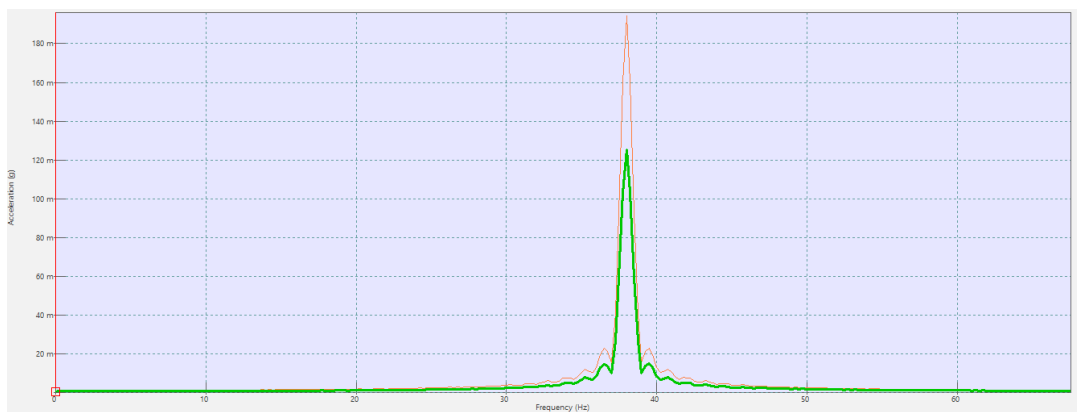


Figura 261

Coherencia del ensayo de transmisibilidad a 38Hz

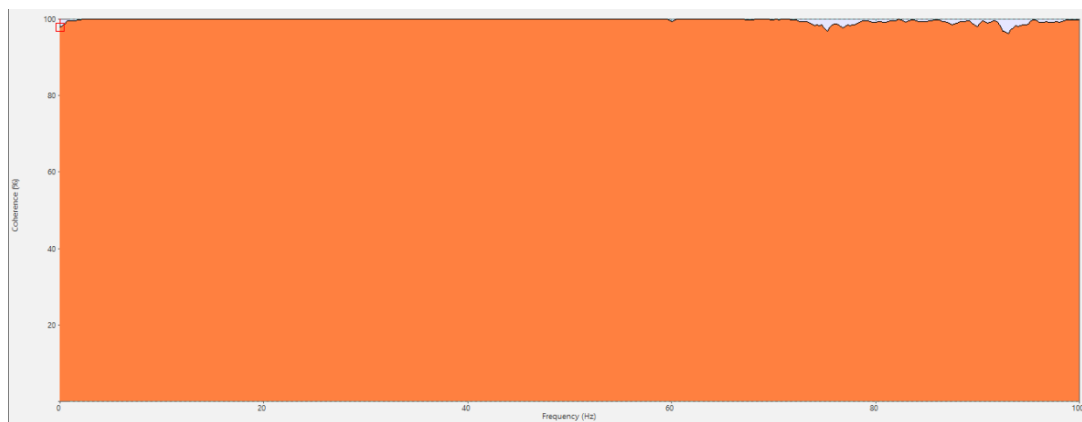


Figura 262

Aceleración de entrada vs salida a 40Hz

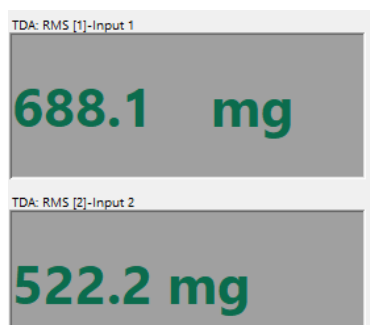


Figura 263

Análisis armónico a 40Hz

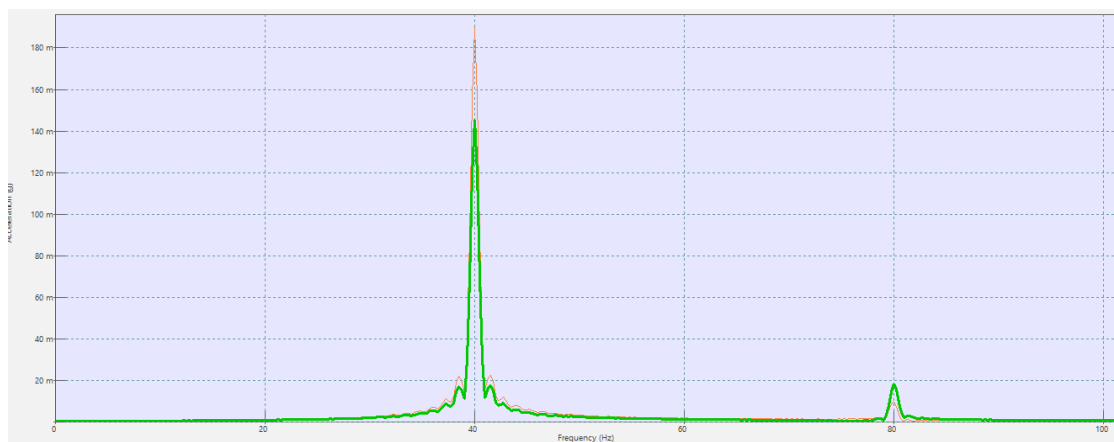


Figura 264

Coherencia del ensayo de transmisibilidad a 40Hz

